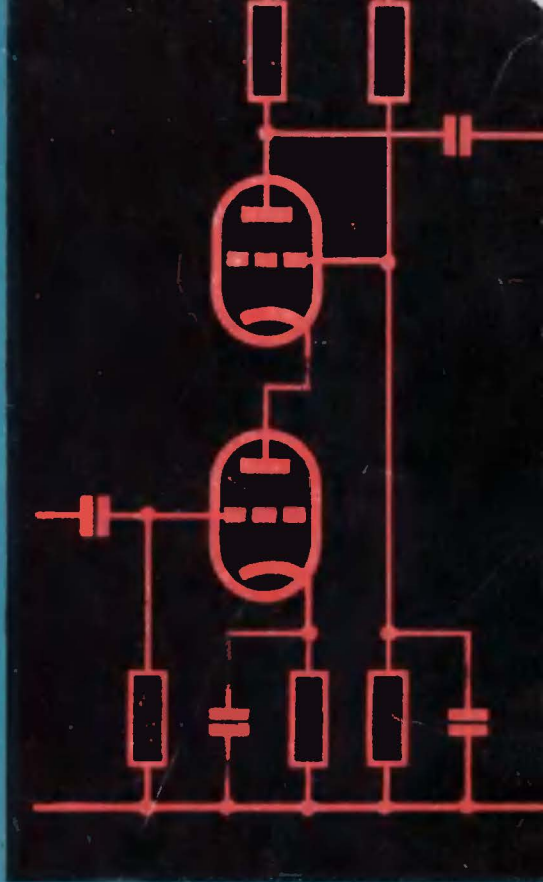


А.П. Ложников
Е.К. Сонин



Каскодные усилители



ИЗДАТЕЛЬСТВО «ЭНЕРГИЯ»

МАССОВАЯ РАДИОБИБЛИОТЕКА

Выпуск 561

А. П. ЛОЖНИКОВ и Е. К. СОНИН

КАСКОДНЫЕ УСИЛИТЕЛИ

ИЗДАНИЕ ВТОРОЕ, ДОПОЛНЕННОЕ



ИЗДАТЕЛЬСТВО «ЭНЕРГИЯ»

МОСКВА

1964

ЛЕНИНГРАД

РЕДАКЦИОННАЯ КОЛЛЕГИЯ:

Берг А. И., Бурдейный Ф. И., Бурлянд В. А., Ванеев В. И.,
Геништа Е. Н., Жеребцов И. П., Канаева А. М., Корольков В. Г.,
Кренкель Э. Т., Куликовский А. А., Смирнов А. Д., Тарасов Ф. И.,
Шамшур В. И.

УДК 621.375.132.2/5
Л71

Изложены основные сведения об усилителях каскодного типа на электронных лампах и транзисторах. Наряду с расчетными соотношениями приведена методика графического определения параметров и характеристик усилителей. Рассматриваются усилители с динамической анодной нагрузкой, дается анализ параметров каскодных катодных повторителей и обзор их разновидностей, приводятся примеры применения транзисторов в каскодных усилителях.

Книга предназначена для подготовленных радиолюбителей.

Ложников Анатолий Петрович, Сонин Евгений Константинович

Каскодные усилители. М. — Л., издательство «Энергия», 1964.

128 стр. с илл. (Массовая радиобиблиотека. Вып. 561)

Тематический план 1964 г., № 342

Редактор П. А. Попов. Техн. редактор Г. Е. Ларионов

Обложка художника А. М. Кувшинникова

Слано в пр-во 2/IX 1964 г. Подписано к печати 6/XI 1964 г.
Т-13407 Формат бумаги 84×108 $\frac{1}{32}$, 6,56 печ. л. 8,23 уч.-изд. л. Тираж 50000 экз.
Цена 33 коп. Зак. 1524

Владимирская типография Главполиграфпрома
Государственного комитета Совета Министров СССР
по печати.

Гор. Владимир, ул. Б. Ременники, д. 18-б.

ПРЕДИСЛОВИЕ

В последние годы все чаще на страницах радиотехнической литературы можно встретить термин «каскодный усилитель». В отличие от обычного усилительного каскада, образованного электронной лампой и несколькими пассивными схемными элементами, каскодный усилитель представляет собой усилительную схему, в которой две непосредственно соединенные лампы включены так, что через них протекает одна и та же переменная составляющая анодных токов. В такой схеме одна из ламп, работая усилителем, служит одновременно динамическим нагрузочным сопротивлением для другой лампы. Следствием этого являются совершенно новые свойства усилителя: увеличенное входное сопротивление, высокое устойчивое усиление при малой величине собственных шумов и др.

Каскодные усилители имеют много разновидностей. Наиболее распространен усилитель на двух триодах, в котором один из них включен по схеме с общим (заземленным) катодом, а второй по схеме с общей сеткой. Схема эта, которую мы примем за основную, характеризуется высоким усилением (близким к усилению в схеме с пентодом) и низким уровнем собственных шумов (как в обычном триодном усилителе). Малая связь выхода усилителя со входом, получающаяся благодаря заземлению сетки второго триода, определяет высокую устойчивость усилителя. Такие усилители широко применяются в качестве входных каскадов усилителей высокой, промежуточной и низкой частоты и во многих других схемах.

В схему каскодного усилителя может быть легко введена цепь частотно-зависимой обратной связи, что позволяет создать низкочастотные избирательные усилители с большой добротностью. В электронных стабилизаторах напряжения применяются каскодные узкополосные управляющие усилители с большим коэффициентом усиления.

Значительными преимуществами по сравнению с обычными катодными повторителями обладают повторители, построенные по кас-

кодной схеме. Помню более высокого входного сопротивления в большом динамическом диапазоне и близкого к единице коэффициента передачи напряжения, каскодные катодные повторители обладают еще совершенно новым для катодных повторителей свойством — одинаково хорошей передачей как положительных, так и отрицательных перепадов напряжения, что определяет их широкое применение в импульсных устройствах.

Многие свойства каскодных усилителей сохраняются и в случае применения вместо ламп транзисторов. Каскодные усилители на транзисторах обладают высокой устойчивостью по сравнению с обычными, что позволяет избежать сложных схем нейтрализации. Эмиттерные повторители, включенные по каскодной схеме, отличаются очень высокими значениями входного сопротивления, достигающими десятка мегом. Каскодные эмиттерные повторители сохраняют также свойство неискаженной передачи двухполярных сигналов при работе на емкостную нагрузку, характерное для ламповых каскодных повторителей.

В этой книге рассмотрены свойства и особенности различных каскодных усилителей, приведена методика их расчета и даны примеры практических схем. Во втором издании значительно расширен раздел, посвященный каскодным катодным повторителям, введен раздел об усилителях с динамической анодной нагрузкой, приведены примеры применения транзисторов в схемах каскодных усилителей. В книге широко использованы материалы, опубликованные как в отечественной, так и в зарубежной литературе.

Авторы

СОДЕРЖАНИЕ

	Стр.
Предисловие	3
<i>Глава первая. Анализ и расчет каскодных усилителей . . .</i>	<i>7</i>
1. Основная схема каскодного усилителя	7
2. Определение эквивалентных параметров каскодного усилителя	8
3. Коэффициент усиления каскодного усилителя	11
4. Устойчивость каскодного усилителя	12
5. Выбор ламп для каскодного усилителя	25
6. Пример расчета каскодного усилителя	28
7. Расчет каскодных усилителей по характеристикам . .	32
8. Шумовые свойства каскодного усилителя	41
9. Каскодные усилители на транзисторах	45
<i>Глава вторая. Применение каскодных усилителей</i>	<i>56</i>
10. Усилитель высокой частоты телевизионного приемника	56
11. Широкополосный усилитель высокой частоты с параллельным включением ламп по постоянному току . .	57
12. Усилитель для антенной приставки	59
13. Основные особенности каскодных усилителей низкой частоты	59
14. Микрофонный усилитель	60
15. Усилитель постоянного тока с очень большим усилением	61
16. Электронный интегратор напряжения	66
17. Самобалансирующийся каскодный фазоинвертор . .	69
18. Избирательный каскодный усилитель	70
19. Видоизмененные схемы каскодного усилителя	71
20. Усилитель с динамической анодной нагрузкой . . .	76

Глава третья. Катодные повторители каскодного типа . . .	83
21. Модификация катодного повторителя	83
22. Определение параметров каскодного катодного повторителя	88
23. Переходные характеристики каскодного катодного повторителя	97
24. Работа каскодного катодного повторителя на емкость	101
25. Полное входное сопротивление каскодного катодного повторителя	111
26. Сверхлинейный катодный повторитель	120
27. Катодный повторитель с коэффициентом передачи напряжения, равным единице	124
Литература	128

ГЛАВА ПЕРВАЯ

АНАЛИЗ И РАСЧЕТ КАСКОДНЫХ УСИЛИТЕЛЕЙ

1. ОСНОВНАЯ СХЕМА КАСКОДНОГО УСИЛИТЕЛЯ

Наиболее характерной особенностью приведенной на рис. 1 схемы каскодного усилителя является непосредственное соединение анода первого триода Λ_1 , работающего в качестве усилителя с общим (заземленным) катодом, с катодом второго триода Λ_2 , сетка которого заземлена по переменному току через конденсатор C_1 . Напряжение входного сигнала U_{c1} подается на сетку триода Λ_1 .

Анодной нагрузкой этого триода служит входное сопротивление со стороны лампы Λ_2 . В качестве анодной нагрузки лампы Λ_2 может быть использовано как активное сопротивление, так и резонансный контур или трансформатор.

Необходимое напряжение смещения на сетку лампы Λ_2 подается с делителя напряжения, образованного сопротивлениями R_1 и R_2 . За счет постоянства потенциала сетки лампы Λ_2 изменения потенциала катода этой лампы ограничены. Следовательно, лампа Λ_1 работает при почти постоянном напряжении на аноде.

Это обстоятельство и создает условия для получения очень большого усиления на триодах, входящих в каскодный усилитель, близкого по величине к усилению, получаемому на пентодах. Применение триодов позволяет избежать такого существенного недостатка пентодного усилителя, как большой уровень собственных шумов.

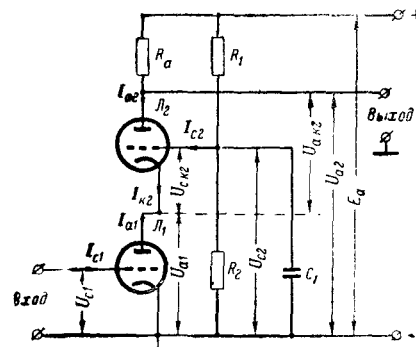


Рис. 1. Основная схема каскодного усилителя.

2. ОПРЕДЕЛЕНИЕ ЭКВИВАЛЕНТНЫХ ПАРАМЕТРОВ КАСКОДНОГО УСИЛИТЕЛЯ

Для определения эквивалентных параметров каскодного усилителя используем уравнение для переменной составляющей анодного тока триода в линейном режиме

$$I_a = S U_{c.k} + \frac{1}{R_i} U_{a.k}, \quad (1)$$

где I_a — переменная составляющая анодного тока;

$U_{c.k}$ — переменная составляющая напряжения между выводами сетки и катода триода;

$U_{a.k}$ — переменная составляющая напряжения на участке анод—катод триода;

S — крутизна;

R_i — внутреннее сопротивление триода.

В соответствии с этим уравнением переменная составляющая анодного тока лампы L_1 каскодного усилителя определяется выражением

$$I_{a1} = S_1 U_{c1} + \frac{1}{R_{i1}} U_{a1}, \quad (2)$$

а для лампы L_2

$$I_{a2} = S_2 (-U_{a1}) - \frac{1}{R_{i2}} (I_{a2} R_a + U_{a1}). \quad (3)$$

Знак минус в первом слагаемом правой части равенства (3) поставлен потому, что сигнал приложен не к управляющей сетке, а к катоду лампы L_2 ; минус во втором слагаемом равенства (3) получается потому, что выражение для напряжения $U_{a.k2}$ лампы L_2 имеет вид:

$$U_{a.k2} = E_a - I_{a2} R_a - U_{a1}.$$

Напряжение анодного питания E_a не имеет переменной составляющей, и следовательно, не оказывает влияния на переменную составляющую анодного тока триода. Это слагаемое можно опустить. Тогда выражение для $U_{a.k2}$, подставляемое во второй член уравнения (3), приобретает вид:

$$U_{a.k2} = -(I_{a2} R_a + U_{a1}).$$

Найдем из уравнения (2) значение U_{a1} . В дальнейшем расчет ведется в предположении, что при всех изменениях входного напряжения сеточные токи обеих ламп отсутствуют.

Вследствие этого $I_{a1} = I_{a2} = I_a$, и можно записать:

$$U_{a1} = I_a R_{i1} - S_1 U_{c1} R_{i1}.$$

Подставив это выражение в уравнение (3), получим:

$$I_a = S_2 (R_{i1} S_1 U_{c1} - I_a R_{i1}) - \frac{1}{R_{i2}} (I_a R_a + I_a R_{i1} - R_{i1} S_1 U_{c1}).$$

Отсюда следует, что переменная составляющая анодного тока каскодного усилителя, образованного лампами L_1 и L_2 ,

$$I_a = \frac{R_{i1} S_1 (R_{i2} S_2 + 1) U_{c1}}{R_a + R_{i1} (R_{i2} S_2 + 1) + R_{i2}}.$$

Преобразуем это выражение, используя известное соотношение между параметрами триода $\mu = SR_i$:

$$I_a = \frac{\mu_1 (\mu_2 + 1) U_{c1}}{R_a + R_{i1} (\mu_2 + 1) + R_{i2}}. \quad (4)$$

Полученное выражение по своей структуре аналогично выражению, связывающему переменную составляющую анодного тока и

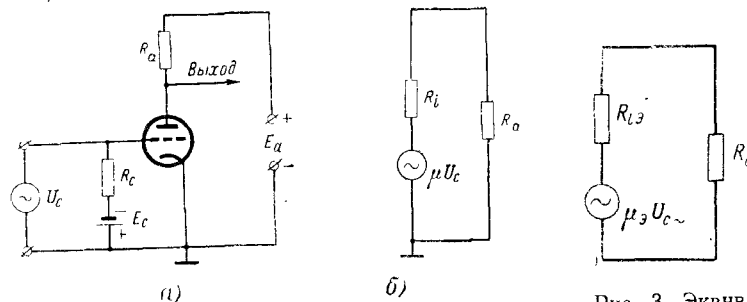


Рис. 2. Триодный усилитель с омической нагрузкой.

а — принципиальная схема; б — эквивалентная схема.

Рис. 3. Эквивалентная схема каскодного усилителя.

входное напряжение сигнала обычного триодного усилителя, принципиальная и эквивалентная схемы которого приведены на рис. 2. Для такой схемы

$$i_a = \frac{\mu U_c}{R_a + R_i}.$$

Сравнение обеих формул позволяет сделать вывод, что для каскодного усилителя верна эквивалентная схема обычного триодного усилителя, в которой вместо статических параметров триода использованы эквивалентные статические параметры каскодного усилителя. В приведенной на рис. 3 эквивалентной схеме эквивалентный коэффициент усиления

$$\mu_3 = \mu_1 (\mu_2 + 1), \quad (5)$$

а выражение для эквивалентного внутреннего сопротивления усилителя имеет вид:

$$R_{i3} = R_{i1} (\mu_2 + 1) + R_{i2}. \quad (6)$$

Из формулы, связывающей величины статических параметров, найдем эквивалентную крутизну вольт-амперной характеристики каскодного усилителя:

$$S_3 = \frac{\mu_3}{R_{i3}} = \frac{\mu_1 (\mu_2 + 1)}{R_{i1} (\mu_2 + 1) + R_{i2}}.$$

Разделив числитель и знаменатель на R_{i1} , получим:

$$S_3 = S_1 \frac{\mu_2 + 1}{\mu_2 + 1 + \frac{R_{i2}}{R_{i1}}}. \quad (7)$$

Чаще всего в каскодных усилителях применяются либо двойные триоды, либо одинаковые по своим параметрам одиночные триоды. В этом случае формулы (5), (6) и (7) для эквивалентных параметров каскодного усилителя соответственно приобретают вид:

$$\mu_3 = \mu (\mu + 1);$$

$$R_{i3} = R_i (\mu + 2);$$

$$S_3 = S \frac{\mu + 1}{\mu + 2}$$

или приближенно

$$\mu_3 \approx \mu^2;$$

$$R_{i3} \approx R_i \mu;$$

$$S_3 \approx S$$

Последние выражения наиболее наглядно показывают отличие эквивалентных статических параметров каскодного усилителя от статических параметров триода.

На основании полученных выражений для эквивалентных параметров каскодного усилителя можно произвести сравнение свойств каскодного усилителя на триодах и пентодного усилительного каскада. Величина эквивалентного статического коэффициента усиления каскодного усилителя приблизительно равна произведению статических коэффициентов усиления применяемых триодов. В случае одинаковых триодов она равна квадрату статического коэффициента усиления триода. Обычно для усилительных триодов величина μ лежит в пределах от 20 до 100. Следовательно, возможные значения μ_3 могут составлять от 400 до 10 000. Примерно в этих же пределах лежит и величина статического коэффициента усиления пентода.

Эквивалентное внутреннее сопротивление каскодного усилителя больше внутреннего сопротивления первого триода приблизительно в μ_2 раз. Так как большинство усилительных триодов имеет внутреннее сопротивление в пределах от 4 до 120 ком, то каскодный усилитель может обладать внутренним сопротивлением от 80 ком до 12 Мом. Пентоды имеют величину R_i от 10 ком до 2,5 Мом. Таким образом, и по этому параметру наблюдается соответствие каскодного усилителя пентодному, причем верхний предел величины R_i в каскодном усилителе даже выше, чем у пентода. Последнее обстоятельство позволяет использовать каскодный усилитель для получения очень большого усиления в узкополосных системах.

Величина эквивалентной крутизны характеристики каскодного усилителя примерно равна величине крутизны характеристики пер-

вого триода. Как следует из уравнения (7), даже при применении в каскодном усилителе двух различных триодов, внутренние сопротивления которых отличаются в несколько раз, эквивалентная крутизна будет незначительно отличаться от S_1 при достаточно больших величинах μ_2 . Крутизна характеристики современных усилительных триодов различна и у некоторых типов достигает 45 ма/в. Пентоды имеют крутизну до 30 ма/в. Следует отметить, что в каскодном усилителе нередко применяются пентоды в триодном включении, крутизна характеристики при этом на 20—30% выше, чем при пентодном включении. Увеличение крутизны характеристик пентода в триодном включении объясняется тем, что в этом случае ток экранирующей сетки лампы используется в цепи анодной нагрузки. Таким образом, при применении в каскодном усилителе двух пентодов в триодном включении эквивалентная крутизна характеристики усилителя может превышать крутизну пентода на 20—30%.

Из приведенного анализа видно, что статические параметры каскодного усилителя либо соответствуют статическим параметрам пентода, либо превосходят их. При этом каскодный усилитель имеет такое важное преимущество перед пентодом, как значительно меньшая величина шумов. Собственные шумы каскодного усилителя примерно равны шумам одного триода, которые в 3—5 раз меньше шумов пентода, обладающего такой же крутизной характеристики.

3. КОЭФФИЦИЕНТ УСИЛЕНИЯ КАСКОДНОГО УСИЛИТЕЛЯ

Коэффициент усиления каскодного усилителя определяется как отношение переменной составляющей напряжения на анодной нагрузке R_a триода L_2 к переменной составляющей напряжения входного сигнала U_{c1} , приложенного к сетке лампы L_1 :

$$K = \frac{U_{a2}}{U_{c1}}.$$

Подставляя вместо U_{a2} его значение

$$U_{a2} = i_a R_a,$$

с учетом равенства (4) получаем:

$$K = \frac{\mu_1 (\mu_2 + 1) R_a}{R_a + R_{i1} (\mu_2 + 1) + R_{i2}}; \quad (8)$$

$$K = \frac{\mu_3 R_a}{R_a + R_{i3}}. \quad (9)$$

Разделив числитель и знаменатель правой части равенства (9) на R_a , получим еще одно выражение для коэффициента усиления схемы

$$K = \frac{\mu_3}{1 + \frac{R_{i3}}{R_a}}. \quad (10)$$

Из этого выражения видно, что при выполнении условия $R_a \gg R_{i2}$ коэффициент усиления каскодного усилителя становится близок к величине эквивалентного статического коэффициента усиления каскодного усилителя. В реальных случаях реализовать это максимальное значение усиления бывает весьма трудно.

В усилителях низкой частоты увеличение омического сопротивления нагрузки обычно сопряжено с увеличением требуемого напряжения анодного питания E_a . Это необходимо для сохранения выбранного положения рабочей точки, а следовательно, и всех статических параметров усилителя. Положение это справедливо в равной мере и для пентодных усилителей. В узкополосных резонансных усилителях величина R_a , выполняемая в виде активного сопротивления резонансного контура, ограничивается только доступной величиной добротности контура.

Из сказанного следует, что в узкополосных системах каскодных усилителей позволяют реализовать очень большое усиление.

В широкополосных каскодных усилителях обычно выполняется условие $R_a \ll R_{i2}$. В этом случае удобнее применять расчетную формулу, получаемую делением числителя и знаменателя правой части выражения (9) на R_{i2} :

$$K = \frac{S_0 R_a}{1 + \frac{R_a}{R_{i2}}} \quad (11)$$

В случае малой величины R_a по сравнению с R_{i2} вторым слагаемым в знаменателе выражения (11) можно пренебречь. Тогда коэффициент усиления

$$K \approx S_0 R_a \quad (12)$$

Это выражение хорошо известно из теории пентодных усилителей, для которых обычно выполняется условие $R_a \ll R_{i2}$. Из выражения (7) следует, что крутизна характеристики каскодного усилителя в основном определяется крутизной первого триода. Значит, для достижения наибольшего коэффициента усиления в широкополосном каскодном усилителе следует выбирать в качестве лампы L_1 триод с возможно большей крутизной характеристики. Попутно заметим, что чем больше крутизна характеристики триода, тем меньше его собственные шумы, что нередко играет решающую роль в широкополосных усилителях.

4. УСТОЙЧИВОСТЬ КАСКОДНОГО УСИЛИТЕЛЯ

Одним из наиболее существенных качеств любого усилителя, особенно предназначенного для усиления высоких частот, является его устойчивость. Рассмотрим для примера резонансный каскодный усилитель, во входной и выходной цепях которого имеются резонансные контуры.

При анализе вопроса устойчивости решающую роль играет возможность связи выхода с входом через проходные емкости ламп. Существует много других путей паразитных обратных связей, но все они могут быть устранены при рациональном монтаже и конструкции.

Рассмотрим устойчивость усилителя с заземленной сеткой и устойчивость усилителя с заземленным катодом по отдельности, но с учетом влияния их друг на друга в каскодной схеме.

Необходимо остановиться на некоторых особенностях усилителя с заземленной сеткой. Эквивалентная схема усилителя приведена на рис. 4, а. Источник сигнала с э.д.с. E_g и эквивалентным внутренним сопротивлением R_g подключен к катоду лампы усилителя

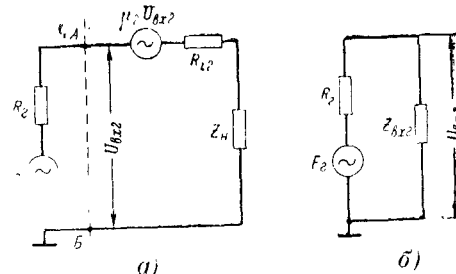


Рис. 4. Усилитель с заземленной сеткой.
а — полная эквивалентная схема; б — эквивалентная схема без входной цепи.

(точка А). Триод заменен эквивалентной схемой с источником э.д.с. $\mu_2 \dot{U}_{\text{вх}2}$ и внутренним сопротивлением R_{i2} , причем эквивалентная э.д.с. триода и напряжение $\dot{U}_{\text{вх}2}$ действуют синфазно. На рис. 4, б приведена эквивалентная схема входной цепи триода, в которой $Z_{\text{вх}2}$ — полное входное сопротивление правой части эквивалентной схемы, изображенной на рис. 4, а (правее точек АБ). Очевидно, что прикладываемое к катоду триода напряжение $\dot{U}_{\text{вх}2}$ зависит от соотношения сопротивлений R_g и $Z_{\text{вх}2}$. Из эквивалентной схемы следует, что

$$\dot{U}_{\text{вх}2} = \dot{I}_a Z_{\text{вх}2} \quad (13)$$

С другой стороны, из рис. 4, а видно, что

$$\dot{I}_a = \frac{\dot{U}_{\text{вх}2} + \mu_2 \dot{U}_{\text{вх}2}}{R_{i2} + Z_n} \quad (14)$$

Подставляя это выражение в формулу (13), получим:

$$\dot{U}_{\text{вх}2} = \frac{\dot{U}_{\text{вх}2} + \mu_2 \dot{U}_{\text{вх}2}}{R_{i2} + Z_n} Z_{\text{вх}2} \quad (15)$$

Отсюда

$$Z_{\text{вх}2} = \frac{Z_n + R_{i2}}{1 + \mu_2} \quad (15)$$

Из последнего выражения видно, что входное сопротивление усилителя с заземленной сеткой зависит от сопротивления нагрузки, т. е. в таком усилителе имеется внутренняя обратная связь.

В формуле (15) сопротивление выходного контура Z_H следующим образом зависит от расстройки контура:

$$Z_H = \frac{\rho_2}{d_{\Sigma 2} + jy}, \quad (15a)$$

где $\rho_2 = \frac{1}{\omega_0 C_2}$ — волновое сопротивление контура;
 C_2 — полная емкость контура;
 y — относительная расстройка контура,

$$y = \frac{f - f_0}{f_0},$$

где f — текущая частота;
 f_0 — резонансная частота контура.

В формуле для Z_H числитель и знаменатель можно умножить на комплексно сопряженную величину знаменателя $d_{\Sigma 2} - jy$. Тогда получим отдельно активную составляющую R_H и реактивную составляющую jX_H сопротивления

$$Z = \frac{\rho_2 (d_{\Sigma 2} - jy)}{d_{\Sigma 2}^2 + y^2};$$

$$R_H = \frac{\rho_2 d_{\Sigma 2}}{d_{\Sigma 2}^2 + y^2} \text{ и } jX_H = -j \frac{\rho_2 y}{d_{\Sigma 2}^2 + y^2}.$$

Зависимость этих величин от расстройки контура показана на рис. 5, а. При резонансе ($y=0$) сопротивление контура Z_H равно величине $R_{\Sigma, H} = \rho_2 / d_{\Sigma 2}$.

Входное сопротивление усилителя с заземленной сеткой Z_{BX2} также имеет активную и реактивную составляющие, которые можно найти, преобразовав формулу (15) следующим образом:

$$Z_{BX2} = \frac{1}{S_2} + \frac{R_H}{1 + \mu_2} + j \frac{X_H}{1 + \mu_2}.$$

Очевидно,

$$R_{BX2} = \frac{1}{S_2} + \frac{R_H}{1 + \mu_2},$$

$$jX_{BX2} = j \frac{X_H}{1 + \mu_2}.$$

Эти составляющие входного сопротивления показаны на рис. 5, б. Формулу для активной составляющей можно записать и так:

$$R_{BX2} \approx \frac{1 + \frac{R_H}{R_{i2}}}{S_2}.$$

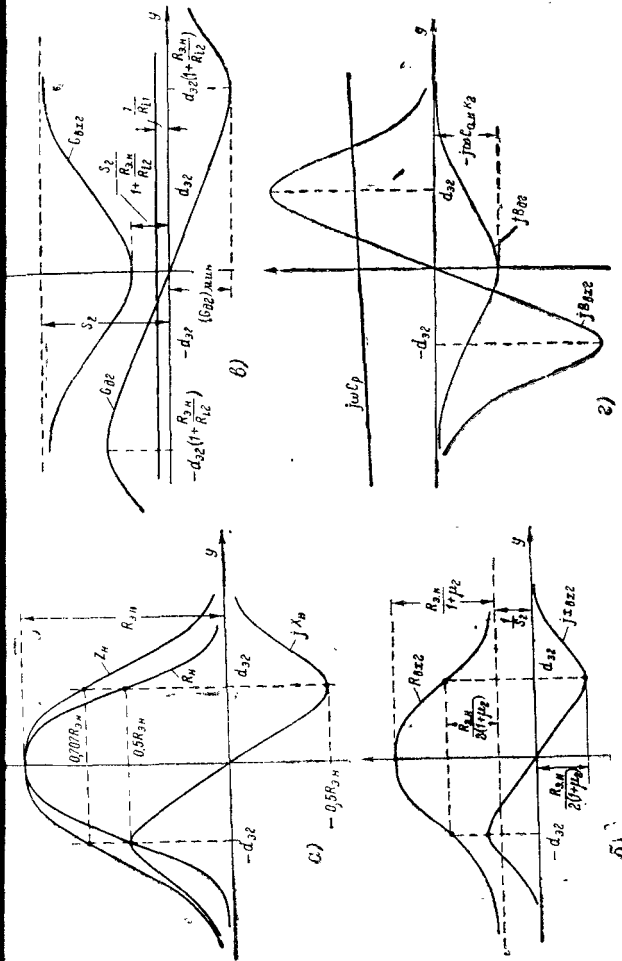


Рис. 5. Зависимость сопротивлений и проводимостей различных цепей каскадного усилителя от расстройки выходного контура.
а — активного и реактивного входного сопротивления выходного контура; б — активного и реактивного входного сопротивления лампы L_2 без учета обратной связи через емкость $C_{a, k}$; в — активной проводимости входной цепи лампы L_2 с учетом обратной связи через емкость $C_{a, k}$; г — реактивной проводимости входной цепи лампы L_2 с учетом обратной связи через емкость $C_{a, k}$.

При $R_H \ll R_{i2}$ получим $R_{вх2} \approx 1/S_2$, но обычно R_H по порядку величины близко к R_{i2} , поэтому полное представление о входном сопротивлении усилителя с заземленной сеткой дает рис. 5, б.

Вследствие низкого входного сопротивления усилителя его коэффициент усиления по мощности мал. Поэтому там, где желательно иметь малые собственные шумы, применение усилителя с заземленной сеткой имеет тот недостаток, что вследствие малого коэффициента усиления по мощности сильно сказываются шумы последующих каскадов (см. § 8). Малое входное сопротивление также ограничивает область применения усилителей с заземленной сеткой в тех случаях, когда на входе надо иметь относительно узкополосный настроенный контур. Все же на частотах УКВ диапазона усилители с заземленной сеткой находят довольно широкое применение ввиду их высокой устойчивости.

Как было показано ранее, эквивалентное внутреннее сопротивление каскадного усилителя

$$R_{i3} = R_{i2} + R_{i1}(1 + \mu_2).$$

Для усилителя с заземленной сеткой, эквивалентная схема которого приведена на рис. 4, можно вывести аналогичное выражение для выходного сопротивления

$$R_{вых} = R_{i2} + R_r(1 + \mu_2).$$

В случае использования усилителя с заземленной сеткой в каскадной схеме $R_r = R_{i1}$.

Таким образом, в усилителе с заземленной сеткой входное сопротивление зависит от сопротивления нагрузки, а выходное — от внутреннего сопротивления источника сигнала R_r . Коэффициент усиления по напряжению усилителя с заземленной сеткой

$$K_2 = \frac{\dot{U}_{вых2}}{\dot{U}_{вх2}},$$

где $\dot{U}_{вых2}$ — напряжение на выходе усилителя с заземленной сеткой.

Так как $\dot{U}_{вых} = \dot{I}_2 Z_H$, то с учетом зависимости (14) получим:

$$K_2 = \frac{(1 + \mu_2) Z_H}{R_{i2} + Z_H} \text{ или } K_2 \approx \frac{S_2 Z_H}{1 + \frac{Z_H}{R_{i2}}},$$

так как обычно $1 + \mu_2 \approx \mu_2$.

Рассмотрим вопрос устойчивости. В усилителе с заземленной сеткой проходной емкостью является емкость $C_{а.к}$. Значение этой емкости у приемно-усилительных триодов достаточно велико. Обычно оно лишь в несколько раз меньше емкости $C_{а.с}$. Только у специальных маячковых триодов, применяемых в дециметровом диапазоне частот, эта емкость значительно уменьшена. Тем не менее усилители с заземленной сеткой, построенные даже на обычных лампах, очень устойчивы. Причиной этого является также и то, что полное сопротивление цепи между катодом и заземленной точкой по переменному току очень мало, и поэтому наводимое через емкость $C_{а.к}$ напряжение на этом сопротивлении также мало.

Влияние емкости $C_{а.к}$ эквивалентно наличию некоторой комплексной проводимости между катодом и сеткой лампы. Эту проводимость называют динамической входной проводимостью. Через емкость $C_{а.к}$ течет ток

$$\dot{I}_{с2} = \dot{U}_{а.к} j \omega C_{а.к},$$

где $\dot{U}_{а.к}$ — напряжение между анодом и катодом, равное:

$$\dot{U}_{а.к} = \dot{U}_{вх2} - \dot{U}_{вых2}.$$

Выходное напряжение $\dot{U}_{вых2}$ связано с входным $\dot{U}_{вх2}$ через коэффициент усиления K_2 . Поэтому можно записать:

$$\dot{U}_{вых2} \approx \dot{U}_{вх2} \frac{S_2 Z_H}{1 + \frac{Z_H}{R_{i2}}}.$$

С учетом всего этого ток через емкость $C_{а.к}$ будет:

$$\dot{I}_{с2} = j \omega C_{а.к} \dot{U}_{вх2} \left(1 - \frac{S_2 Z_H}{1 + \frac{Z_H}{R_{i2}}} \right).$$

Току $\dot{I}_{с2}$ соответствует определенная величина проводимости:

$$\frac{\dot{I}_{с2}}{\dot{U}_{вх2}} = j \omega C_{а.к} - j \omega C_{а.к} S_2 \frac{Z_H}{1 + \frac{Z_H}{R_{i2}}}. \quad (16)$$

Первое слагаемое в правой части этого выражения представляет собой проводимость емкости $C_{а.к}$, а второе слагаемое — комплексную динамическую входную проводимость, в составе которой есть активная и реактивная составляющие

$$Y_{д2} = G_{д2} + jB_{д2},$$

где $Y_{д2}$ — комплексная динамическая входная проводимость усилителя с заземленной сеткой;

$G_{д2}$ — активная составляющая этой проводимости;

$jB_{д2}$ — ее реактивная составляющая.

Подставляя в формулу (16) значение Z_H из выражения (15а) и избавляясь от минуса в знаменателе полученного выражения, найдем формулы для активной и реактивной составляющих входной динамической проводимости:

$$\left. \begin{aligned} G_{д2} &= -\omega C_{а.к} S_2 \rho_2 \frac{y}{d_{32}^2 \left(1 + \frac{R_{э.н}}{R_{i2}} \right)^2 + y^2}; \\ jB_{д2} &= -j \omega C_{а.к} S_2 \rho_2 \frac{d_{32} \left(1 + \frac{R_{э.н}}{R_{i2}} \right)}{d_{32}^2 \left(1 + \frac{R_{э.н}}{R_{i2}} \right)^2 + y^2}. \end{aligned} \right\} \quad (17)$$

Величина активной составляющей входной динамической проводимости может принимать как положительные, так и отрицательные значения в зависимости от направления расстройки (знака y). При $y < 0$ (усиливаемая частота ниже резонансной частоты контура и сопротивление контура носит индуктивный характер) $G_{д2} > 0$, и во входную цепь лампы L_2 будет вноситься дополнительное затухание, т.е. имеет место случай отрицательной обратной связи. При $y > 0$ проводимость $G_{д2} < 0$, и потери во входной цепи лампы L_2 компенсируются за счет обратной связи через емкость $C_{а.к}$. Обратная связь при этом является положительной. Если общая проводимость входной цепи лампы L_2 при какой-либо величине расстройки y станет отрицательной, то наступит самовозбуждение.

Суммарная активная проводимость входной цепи лампы L_2 состоит из суммы активной входной проводимости лампы L_2 при отсутствии обратной связи через емкость $C_{а.к}$, выходной проводимости лампы L_1 и активной динамической входной проводимости лампы L_2 . На рис. 5, в приведены графики частотной зависимости всех перечисленных составляющих. Проводимость $G_{вх2}$ определяется значениями $R_{вх2}$ и $jX_{вх2}$ (рис. 5, б) и может быть вычислена по формуле

$$G_{вх2} = \frac{R_{вх2}}{R_{вх2}^2 + X_{вх2}^2}.$$

Показанной на рис. 5, в величиной выходной проводимости лампы L_1 обычно можно пренебречь, так как $\frac{1}{R_{i1}} \ll G_{вх2}$. Активная динамическая проводимость $G_{д2}$ принимает минимальное значение при расстройке выходного контура, равной:

$$y = d_{э2} \left(1 + \frac{R_{э.н}}{R_{i2}} \right).$$

Подставив это значение y в формулу (17), найдем, что минимальная активная составляющая динамической проводимости

$$(G_{д2})_{\min} = -\omega C_{а.к} S_2 \rho_2 \frac{1}{2d_{э2} \left(1 + \frac{R_{э.н}}{R_{i2}} \right)}.$$

Следует отметить, что при $\frac{R_{э.н}}{R_{i2}} \ll 1$ величина $G_{вх2} \approx S_2$, а минимум динамической проводимости $(G_{д2})_{\min}$ имеет место при $y = d_{э2}$.

При увеличении отношения $\frac{R_{э.н}}{R_{i2}}$ величина $G_{вх2}$ уменьшается, а положение минимума смещается вправо вдоль оси y .

Проводимость $G_{вх2}$ всегда положительна, а $(G_{д2})_{\min}$ отрицательна. Поэтому, если минимум суммарной проводимости наступает в частном случае на резонансной частоте, всегда соответствующей минимуму проводимости $G_{вх2}$, то значение суммарной проводимости в этой точке всегда положительно.

Наибольшая опасность самовозбуждения имеет место при расстройке $y = d_{э2} \left(1 + \frac{R_{э.н}}{R_{i2}} \right)$, близкой к минимуму функции $G_{д2}$.

Такому значению расстройки всегда соответствует пологий участок кривой $G_{вх2}$. Обычно $R_{э.н}$ меньше R_{i2} . В этом случае при расстройке $y = d_{э2} \left(1 + \frac{R_{э.н}}{R_{i2}} \right)$ можно принять

$$G_{вх2} = S_2.$$

Таким образом, с оговоренными выше допущениями условие отсутствия самовозбуждения можно записать как

$$S_2 + (G_{д2})_{\min} \geq 0.$$

Подставляя вместо $(G_{д2})_{\min}$ его значение, получим:

$$S_2 = \omega C_{а.к} S_2 \rho_2 \frac{1}{2d_{э2} \left(1 + \frac{R_{э.н}}{R_{i2}} \right)}.$$

Так как $\rho_2 = R_{э.н} d_{э2}$, то неравенство можно преобразовать следующим образом:

$$\omega C_{а.к} \frac{S_2 R_{э.н}}{1 + \frac{R_{э.н}}{R_{i2}}} \leq 2S_2.$$

Дробь в левой части этого неравенства есть не что иное, как коэффициент усиления K_2 при резонансной частоте (см. выше). Поэтому условие отсутствия самовозбуждения принимает вид:

$$K_2 < \frac{2S_2}{\omega C_{а.к}}.$$

Сравнивая это выражение с широко известным условием отсутствия самовозбуждения каскада с заземленным катодом, имеющего на входе и на выходе одинаковые резонансные контуры

$$K_0 \sqrt{\frac{2S}{\omega C_{а.с}}},$$

можно прийти к выводу, что при одинаковых значениях емкостей $C_{а.с} = C_{а.к}$ и одинаковых величинах крутизны $S_2 = S$ усилитель с заземленной сеткой может обеспечить большее усиление, чем усилитель с заземленным катодом.

В более широком смысле под устойчивостью усилителя с заземленной сеткой подразумевают не только отсутствие самовозбуждения, но и ограниченное влияние обратной связи через емкость $C_{а.к}$ на величину и характер входной проводимости лампы L_2 . Поэтому вводится понятие коэффициента устойчивости k_y , который характеризует, насколько далек усилитель от самовозбуждения.

Окончательная формула для проверки устойчивости усилителя с заземленной сеткой, входящего в состав каскодного усилителя, имеет вид:

$$K_2 \leq \frac{2S_2(1-k_y)}{\omega C_{a.k}}. \quad (18)$$

Обычно принимают $k_y=0,8 \div 0,9$. При таком выборе k_y входная проводимость может изменяться за счет связи через емкость $C_{a.k}$ не более чем на 10–20%.

Пример. Определим допустимый коэффициент усиления каскада с заземленной сеткой, входящего в состав каскодного усилителя, выполненного на лампе 6Н14П.

Для этой лампы $C_{a.k}=0,3$ пф и $S_1=S_2=6,8$ ма/в. Резонансную частоту контура примем равной 30 Мгц. Зададимся величиной коэффициента устойчивости $k_y=0,85$. Тогда

$$K_2 \leq \frac{2S_2(1-k_y)}{\omega C_{a.k}} = \frac{2 \cdot 6,8 \cdot 10^{-3}(1-0,85)}{2 \cdot 3,14 \cdot 30 \cdot 10^6 \cdot 0,3 \cdot 10^{-12}} = 37.$$

Это довольно высокое значение допустимого коэффициента усиления на такой частоте.

Рассмотрим теперь устойчивость усилителя с заземленным катодом, входящего в состав каскодного усилителя. На входе этого усилителя имеется резонансный контур, аналогичный резонансному контуру на выходе усилителя с заземленной сеткой. Зависимости активного и реактивного сопротивлений входного контура от расстройки имеют вид, показанный на рис. 5, а, с той лишь разницей, что при других величинах затухания входного контура $d_{\Sigma 1}$ и волнового сопротивления R_1 изменится масштаб этих кривых. При резонансе сопротивление этого контура

$$R_{\Sigma 1} = \frac{R_1}{d_{\Sigma 1}},$$

а активная проводимость

$$G_{\Sigma 1} = \frac{1}{R_{\Sigma 1}}.$$

Нагрузкой усилителя с заземленным катодом служит полное входное сопротивление Z_0 усилителя с заземленной сеткой, которое в общем случае имеет активную R_0 и реактивную jX_0 составляющие. Эти составляющие связаны с полными проводимостями следующими соотношениями:

$$R_0 = \frac{G_0}{G_0^2 + B_0^2}; \quad jX_0 = -\frac{jB_0}{G_0^2 + B_0^2},$$

где G_0 — суммарная активная проводимость входной цепи лампы L_2 (она может быть найдена как графически из рис. 5, в так и аналитически $G_0 = G_{\Sigma 2} + G_{\Sigma 1}$, если вместо $G_{\Sigma 2}$ и $G_{\Sigma 1}$ подставить их выражения, приведенные выше);

jB_0 — суммарная реактивная проводимость входной цепи лампы L_2 (эта проводимость складывается из проводимости общей рас-

пределенной емкости C_p , куда входят емкость сетка — катод $C_{c.k.}$ лампы L_2 , емкость анод — катод $C_{a.k.}$ лампы L_2 , емкость катод — накал $C_{k.n.}$ лампы L_2 , выходная емкость $C_{\Sigma \text{вых}}$ лампы L_1 и емкость монтажа C_m).

Проводимость емкости C_p равна $j\omega C_p$. Величина реактивной динамической входной проводимости усилителя с заземленной сеткой $jB_{\Sigma 2}$ определяется формулой (17). Эта проводимость имеет индуктивный характер. Реактивная входная проводимость, которая имеет место благодаря отрицательной обратной связи через лампу в усилителе с заземленной сеткой, может быть найдена через известные уже зависимости входных активного $R_{\Sigma 2}$ и реактивного $X_{\Sigma 2}$ сопротивлений (см. рис. 5, б) по формуле

$$jB_{\Sigma 2} = -j \frac{X_{\Sigma 2}}{R_{\Sigma 2}^2 + X_{\Sigma 2}^2}.$$

Таким образом, суммарную реактивную проводимость можно представить в виде суммы

$$jB_0 = j\omega C_p + jB_{\Sigma 2} + jB_{\Sigma 2}.$$

Все составляющие этой проводимости показаны на рис. 5, г.

Полное входное сопротивление Z_0 усилителя с заземленной сеткой может иметь как индуктивный, так и емкостный характер. Но по своей абсолютной величине сопротивление Z_0 , как правило, значительно меньше внутреннего сопротивления $R_{\Sigma 1}$ первого триода. Поэтому с достаточной степенью точности коэффициент усиления каскада с заземленным катодом может быть выражен формулой

$$K_1 \approx S_1 Z_0.$$

Ток через проходную емкость $C_{a.c}$ первой лампы

$$i_{c1} = \dot{U}_{a.c} j\omega C_{a.c},$$

где $\dot{U}_{a.c}$ — напряжение между анодом и сеткой, $\dot{U}_{a.c} = \dot{U}_{\Sigma 1} - \dot{U}_{\Sigma 2}$.

С учетом того, что знак напряжения на выходе усилителя с заземленным катодом изменяется на обратный, можно записать:

$$\dot{U}_{\Sigma 2} = -\dot{U}_{\Sigma 1} K_1 = -\dot{U}_{\Sigma 1} S_1 Z_0.$$

Тогда

$$i_{c1} = j\omega C_{a.c} \dot{U}_{\Sigma 1} (1 + S_1 Z_0).$$

Току i_{c1} соответствует величина проводимости

$$\frac{i_{c1}}{\dot{U}_{\Sigma 1}} = j\omega C_{a.c} + j\omega C_{a.c} S_1 Z_0.$$

Первое слагаемое в правой части этого равенства является проводимостью постоянной емкости $C_{a.c}$, которая добавляется к емкости входного контура. Второе слагаемое представляет собой комплексную динамическую входную проводимость $Y_{\Sigma 1}$, которая имеет активную $G_{\Sigma 1}$ и реактивную $jB_{\Sigma 1}$ составляющие:

$$Y_{\Sigma 1} = G_{\Sigma 1} + jB_{\Sigma 1}.$$

Представив сопротивление Z_0 в виде $Z_0 = R_0 + jX_0$, можно записать по отдельности выражения для активной и реактивной составляющих входной динамической проводимости

$$G_{д1} = -\omega C_{a.c} S_1 X_0; \quad jB_{д1} = j\omega C_{a.c} S_1 R_0.$$

Реактивная проводимость $jB_{д1}$ всегда имеет емкостный характер, т. е. к емкости входного контура за счет связи через емкость $C_{a.c}$ добавляется еще некоторая динамическая входная емкость, равная $C_{a.c} S_1 R_0$.

Так как

$$jX_0 = -j \frac{B_0}{G_0^2 + B_0^2},$$

то активную динамическую входную проводимость можно выразить через проводимости входной цепи лампы L_2

$$G_{д1} = \omega C_{a.c} S_1 \frac{B_0}{G_0^2 + B_0^2}.$$

Условие отсутствия самовозбуждения можно записать так:

$$G_{вх1} + G_{д1} \geq 0,$$

т. е. результирующая активная составляющая проводимости контура должна быть положительной.

Наиболее опасным является случай, когда входной контур настроен как раз на ту частоту, на которой активная составляющая входной динамической проводимости имеет минимальную величину. С учетом этого условие отсутствия самовозбуждения имеет вид:

$$\frac{1}{R_{э1}} + (G_{д1})_{\min} \geq 0.$$

Остается выяснить, при каких расстройках и какой величины имеет место минимум составляющей $G_{д1}$, и найти его величину. Для того чтобы величина $G_{д1}$ была отрицательной, величина B_0 также должна быть отрицательной, что соответствует индуктивному характеру проводимости входной цепи лампы L_2 . Из графиков на рис. 5, е видно, что минимум $G_{д1}$ может иметь место только при отрицательной расстройке ($y \leq 0$). Основное значение здесь имеет величина связи через емкость $C_{a.c}$ второй лампы и величина сопротивления нагрузки второй лампы $R_{э.н}$. Оценим порядок величин отдельных составляющих реактивной проводимости jB_0 . Реальное значение емкости $C_{a.c}$ составляет в среднем около $0,5 \text{ нф}$. Тогда даже при максимально допустимом с точки зрения устойчивости значении коэффициента усиления, который в приведенном выше примере был равен $k_2 = 37$, минимальное значение входной динамической реактивной проводимости за счет емкости будет $-j\omega \cdot 0,5 \cdot 10^{-12} \cdot 37$.

Проводимость за счет емкости C_p будет не меньшей величины, так как C_p обычно превышает 20 нф . Поэтому практически можно считать, что за счет входной динамической проводимости лампы L_2 минимум проводимости $G_{д1}$ не приобретет отрицательного значения. Основное же влияние на проводимость $G_{д1}$ оказывает величина

реактивной входной динамической проводимости за счет отрицательной обратной связи через лампу L_2 . Тогда с некоторым приближением полное сопротивление входной цепи лампы L_2 (см. рис. 5, з) выражается формулой

$$Z_0 \approx \frac{1}{S_2} + \frac{\rho_2}{(1 + \mu_2)(d_{э2} + jy)}.$$

Подставим это значение в формулу для комплексной входной динамической проводимости лампы L_1

$$Y_{д1} = j\omega C_{a.c} S_1 \left[\frac{1}{S_2} + \frac{\rho_2}{(1 + \mu_2)(d_{э2} + jy)} \right].$$

Умножив числитель и знаменатель второй дроби на сопряженную величину $d_{э2} - jy$, можно получить по отдельности выражения для активной и реактивной составляющих входной динамической проводимости:

$$\left. \begin{aligned} G_{д1} &= \omega C_{a.c} S_1 \frac{\rho_2 y}{(1 + \mu_2)(d_{э2}^2 + y^2)}; \\ jB_{д1} &= j\omega C_{a.c} \left[\frac{S_1}{S_2} + \frac{S_1 \rho_2 d_{э2}}{(1 + \mu_2)(d_{э2}^2 + y^2)} \right]. \end{aligned} \right\} \quad (19)$$

Нас интересует минимальное значение активной составляющей динамической проводимости $(G_{д1})_{\min}$. Этот минимум имеет место при расстройке $y = -d_{э2}$. Величина его равна:

$$(G_{д1})_{\min} = -\omega C_{a.c} S_1 \frac{\rho_2}{2(1 - \mu_2) d_{э2}}.$$

Условие отсутствия самовозбуждения можно переписать так:

$$\frac{1}{R_{э1}} - \omega C_{a.c} S_1 \frac{\rho_2}{2(1 - \mu_2) d_{э2}} \geq 0$$

или, подставляя $\rho_2/d_{э2} = R_{э.н}$, получим:

$$\omega C_{a.c} R_{э1} S_1 R_{э.н} < 2(1 + \mu_2).$$

В этой формуле произведение $S_1 R_{э.н}$ можно рассматривать как коэффициент усиления каскодного усилителя в целом, потому что обычно имеет место неравенство $R_{э.н} \ll R_{из}$, где $R_{из}$ — эквивалентное внутреннее сопротивление каскодного усилителя.

Тогда условие отсутствия самовозбуждения

$$k \leq \frac{2(1 + \mu_2)}{\omega C_{a.c} R_{э1}}.$$

В случае, если на входе и выходе каскодного усилителя имеются одинаковые контуры, $R_{э1}=R_{э.н}=R_{э}$. Поэтому, умножив числитель и знаменатель правой части неравенства на S_1 , получим:

$$K \leq \frac{2(1+\mu_2)S_1}{\omega C_{a.c} K}$$

Окончательно условие отсутствия самовозбуждения имеет вид:

$$K \leq \sqrt{\frac{2S_1(1+\mu_2)}{\omega C_{a.c}}}$$

Но чтобы при отсутствии самовозбуждения также исключить влияние выходных цепей на входной контур, следует ввести в формулу коэффициент устойчивости k_y . Тогда формула для проверки каскодного усилителя на устойчивость приобретает вид:

$$K \leq \sqrt{\frac{2S_1(1+\mu_2)(1-k_y)}{\omega C_{a.c}}} \quad (20)$$

Обычно $k_y=0,8 \div 0,9$. При этом результирующие параметры входного контура и, в частности, величина добротности изменяются вследствие обратной связи через емкость $C_{a.c}$ всего лишь на 10—20%.

Последняя формула применяется для проверки на устойчивость усилителя с заземленным катодом с учетом влияния усилителя с заземленной сеткой в случае их непосредственного соединения, как это имеет место в каскодном усилителе. Поэтому в формулу входят как параметры первой, так параметры второй лампы.

Пример. Определить допустимый коэффициент усиления каскодного усилителя на лампе 6Н14П, для которой $C_{a.c}=1,8$ пф, $\mu_1=\mu_2=25$ и $S_1=S_2=6,8$ ма/в.

Частота усиливаемого сигнала равна 30 Мгц. Коэффициент устойчивости примем равным $k_y=0,85$. Тогда по формуле (20)

$$K \leq \sqrt{\frac{2S_1(1+\mu_2)(1-k_y)}{\omega C_{a.c}}} = \sqrt{\frac{2 \cdot 6,8 \cdot 10^{-3}(1+25)(1-0,85)}{2 \cdot 3,14 \cdot 30 \cdot 10^6 \cdot 1,8 \cdot 10^{-12}}} = 12,5.$$

Для широкополосного усилителя это вполне достаточная величина, но для узкополосного усилителя этого значения уже недостаточно. Поэтому в каскодном усилителе обычно нейтрализуют действие емкости $C_{a.c}$ одним из способов, показанных ниже на конкретных примерах. Кроме того, иногда в анодную цепь лампы L_1 включают добавочный резонансный контур, настройкой которого также можно несколько повысить устойчивость каскодного усилителя.

Следует отметить, что для устойчивой работы каскодного усилителя требуется одновременное выполнение обоих условий (18) и (20). В случае, если одно из этих условий не выполняется, необходимо применить нейтрализацию соответствующей проходной емкости.

5. ВЫБОР ЛАМП ДЛЯ КАСКОДНОГО УСИЛИТЕЛЯ

Наиболее общим требованием при выборе электронных ламп для каскодного усилителя является их коэффициент широкополосности, или добротность. Этот параметр характеризует возможность применения лампы для усиления в широкой полосе частот и равен максимально возможному значению произведения коэффициента усиления на полосу пропускания $(k\Delta f)_{\max}$. Из теории широкополосных усилителей известно, что для обеспечения требуемой полосы пропускания Δf сопротивление нагрузки не должно превышать предельного значения

$$R_{н. \max} = \frac{1}{2\pi\Delta f(C_{вх} + C_{вых})}, \quad (21)$$

где $C_{вх}$ и $C_{вых}$ — соответственно входная и выходная емкости ламп. Значение сопротивления нагрузки $R_{н. \max}$ уменьшается при учете других емкостей, подключенных параллельно нагрузке (в том числе емкости монтажа и т. п.).

Коэффициент широкополосности для каскодного усилителя можно записать, воспользовавшись уравнением (12):

$$(K\Delta f)_{\max} = \frac{S_2}{2\pi(C_{вх} + C_{вых})}$$

Если обе лампы каскодного усилителя одинаковы, то это выражение приобретает вид:

$$(K\Delta f)_{\max} = \frac{S}{2\pi(C_{вх} + C_{вых})} \quad (22)$$

Из выражения (22) видно, что коэффициент широкополосности не зависит от усиливаемой частоты, величины сопротивления нагрузки и т. п., а определяется лишь крутизной и конструктивными емкостями ламп. Значения коэффициентов широкополосности для наиболее распространенных типов ламп приведены в табл. 1.

Таблица 1

Параметр лампы	6Ж4	6Ж4 (триодное включение)	6Ж1П	6Ж1П (триодное включение)	6Ж9П	6Ж11П	6СЗП, 6С4П	6Н14П	6Н23П
Величина $\frac{S}{C_{вх} + C_{вых}}$									
ма									
в. пф	0,62	—	0,77	—	1,55	1,6	2,33 ³	1,66 ²	2,3
Эквивалентное сопротивление шумов, ом	700	220	1800	380	350	250	200	700	300
Входное сопротивление, ком	2—6 ¹	2—6 ¹	12—25 ¹	12—25 ¹	5 ¹	3 ¹	7 ¹	40 ^{1,2}	0,5 ⁴

¹ На частоте 60 Мгц.

² Для второго триода.

³ Для 6СЗП.

⁴ На частоте 200 Мгц.

Таблица 2

К недостаткам каскодных усилителей относятся некоторые специфические требования, предъявляемые к лампам, используемым в них. Одним из таких требований является возможность работы при низких значениях анодного напряжения. Это требование вытекает из необходимости последовательного включения ламп, в результате чего к каждой из ламп может быть приложено не более половины напряжения источника питания. Вторым требованием является необходимость высокого сопротивления изоляции между нитью подогрева и катодом «верхней» лампы каскодного усилителя, потому что катод верхней лампы непосредственно соединен с анодом нижней лампы и, следовательно, находится под высоким потенциалом. Правда, эти требования не относятся к таким схемам резонансных каскодных усилителей, в которых по постоянному току лампы включены параллельно.

Разработаны специальные типы триодов, предназначенные для применения в каскодных усилителях. К числу их относится двойной триод типа 6Н14П. Одна половина этой лампы предназначена для работы в качестве усилителя с заземленным катодом. Для уменьшения индуктивности вывода ее катод соединен с двумя параллельно соединенными штырьками. Такая мера способствует повышению входного сопротивления лампы на высоких частотах, так как это сопротивление в сильной степени зависит от индуктивности катодного вывода. В лампе конструктивным путем удалось уменьшить емкость сетка — анод, сильно влияющую на устойчивость усилителя с заземленным катодом. Вторая половина лампы, предназначенная для работы в схеме с заземленной сеткой, имеет уменьшенную междуэлектронную емкость анод — катод. Электрические же параметры обоих триодов абсолютно идентичны.

Повышение устойчивости достигается также уменьшением емкости между анодами триодов. По сравнению с другими лампами подобного типа в лампе 6Н14П усилена изоляция между катодом и нитью подогрева. Номинальное анодное напряжение для каждого триода равно 90 в, что позволяет использовать триоды в каскодном усилителе при стандартных источниках питания.

Другим типом специальной лампы является двойной триод 6Н23П. Он более универсален, так как оба его триода имеют практически одинаковые распределенные емкости. Триоды разделены электрическим экраном, имеющим отдельный вывод. Оба катода имеют по одному выводу. Это является причиной уменьшения входного сопротивления каскада с заземленным катодом по сравнению с лампой 6Н14П. Зато добротность лампы 6Н23П в 2,6 раза больше, чем лампы 6Н14П, что приводит к более высокой реальной чувствительности приемника с лампой 6Н23П во входном каскаде. Этому же способствует более низкое эквивалентное шумовое сопротивление (см. табл. 1). Следует отметить также, что лампа 6Н23П имеет наиболее высокое по сравнению с другими триодами отношение крутизны к постоянной составляющей анодного тока. Для триода 6Н23П величина $S/I_0=0,85$, а для 6Н14П она равна 0,65.

Величина отношения S/I_0 является показателем экономичности и эффективности управления анодным током. Емкость между анодами двух триодов не превышает 0,6 пф.

Хорошие результаты дает применение в каскодном усилителе

Параметры лампы		6Н14П	6С3П	6С4П	6Н23П
Накал	Напряжение, в	6,3	6,3	6,3	6,3
	Ток, а	0,35	0,3	0,3	0,3
	Род накала	Косвенный	Косвенный	Косвенный	Косвенный
Номинальные электрические данные	Напряжение анода, в	90	150	150	90
	Сопротивление в цепи катода, ом	125 ¹	100	100	85 ¹
	Ток анода, ма	10,5 ¹	16	16	15 ¹
	Крутизна характеристики, ма/в	6,8 ¹	19,5	19,5	12,7 ¹
	Коэффициент усиления	25 ¹	50	50	32,5
	Входное сопротивление ¹ , ком	40 ²	—	—	0,5 ²
	Эквивалентное сопротивление шумов, ом	700	200	200	300
Предельно допустимые значения	Наибольшее напряжение анода, в	180	160	160	300
	Мощность, рассеиваемая анодом, вт	1,5 ¹	3	3	1,8
	Напряжение между катодом и подогревателем, в	250 ³	160 ³	160 ³	250
Междуэлектродные емкости	Входная	4,9 ⁴ 2,6 ⁵	6,7	11,45 ⁶	3,6
	Выходная	2,9 ⁴ 1,5 ⁵	1,65	3,75 ⁶	2
	Проходная	≤0,3 ⁴ ≤1,8 ⁵	≤2,4	≤0,17 ⁶	1,55 ⁶ 0,24 ⁶

¹ Для каждого триода.

² Для второго триода на частоте 60 Мгц.

³ При отрицательном потенциале подогревателя.

⁴ Для первого триода.

⁵ Для второго триода.

⁶ В схеме с заземленной сеткой.

⁷ На частоте 200 Мгц.

⁸ В схеме с заземленным катодом.

ламп типа 6СЗП и 6С4П. Оба этих триода имеют совершенно одинаковые электрические параметры, но конструктивно они выполнены различно. Триод типа 6СЗП предназначен для работы в схеме с заземленным катодом и имеет уменьшенную индуктивность катодного вывода. У триода типа 6С4П, предназначенного для применения в схеме с заземленной сеткой, уменьшена индуктивность сеточного вывода. Вследствие различного конструктивного выполнения выводов различны и междueleктродные емкости этих триодов.

По сравнению с двойным триодом 6Н14П триоды 6СЗП и 6С4П имеют более высокое значение крутизны характеристики и, следовательно, меньшие шумы. Недостатками усилителей на двух таких отдельных триодах являются увеличение вдвое числа баллонов, увеличение мощности, расходуемой на подогрев, более высокое анодное напряжение (номинальное анодное напряжение для триодов 6СЗП и 6С4П равно 150 в).

Параметры электронных ламп, предназначенных специально для применения в каскодных усилителях, приведены в табл. 2.

6. ПРИМЕР РАСЧЕТА КАСКОДНОГО УСИЛИТЕЛЯ

Расчет каскодного усилителя в основном подобен расчету обычного усилителя. Для наглядности рассмотрим последовательность расчета основных параметров и режима каскодного усилителя на конкретном примере. Рассчитаем резонансный каскодный усилитель на лампе типа 6Н14П по основной схеме. Резонансная частота усилителя $f_0 = 30 \text{ Мгц}$, полоса пропускания на уровне $0,707 \Delta f = 5 \text{ Мгц}$. Схема усилителя представлена на рис. 6, а.

Нагрузкой усилителя служит резонансный контур, образованный катушкой L_1 и распределенными емкостями. Для получения заданной полосы пропускания контур зашунтирован сопротивлением R_5 . Выбранная схема, в которой катушка индуктивности включена в

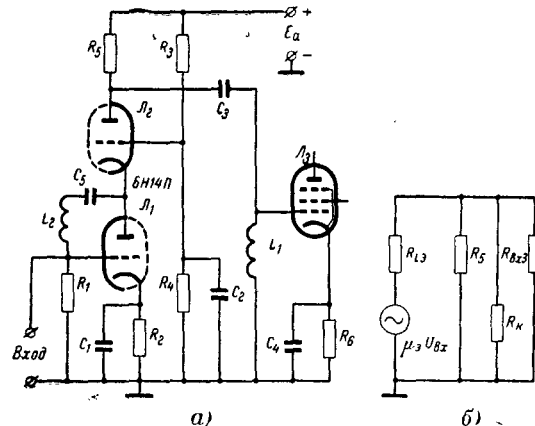


Рис. 6. Резонансный каскодный усилитель.

а — принципиальная схема; б — эквивалентная схема.

сеточную цепь последующей лампы, а шунтирующее сопротивление — в анодную цепь рассматриваемой лампы, отличается быстрым восстановлением потенциала на разделительном конденсаторе C_3 , который может зарядиться сеточными токами лампы L_3 при перегрузках, вызываемых сильными сигналами.

После каскодного усилителя включен усилитель на лампе типа 6Ж1П, входное сопротивление и входная емкость которой должны быть учтены при расчете.

На рис. 6, б приведена эквивалентная схема рассчитываемого каскодного усилителя на резонансной частоте. В этом случае контур заменяется активным сопротивлением R_K . Для широкополосного усилителя сопротивление параллельного контура при реальных величинах добротности контура намного превышает величину шунтирующего сопротивления R_5 .

Входное сопротивление $R_{вх}$ лампы типа 6Ж1П на частоте 30 Мгц составляет десятки килоом. Поэтому можно принять, что как по постоянному, так и по переменному току эквивалентное сопротивление нагрузки каскодного усилителя $R_{э.н} = R_5$. Таким образом, эта схема полностью аналогична основной схеме каскодного усилителя, приведенной на рис. 1.

Индуктивность L_1 анодного контура определяется из соотношения $\omega_0 = 1/\sqrt{LC}$:

$$L_1 = \frac{1}{(2\pi f_0)^2 (C_{вх3} + C_{вых2} + C_m)} = \frac{1}{(2 \cdot 3,14 \cdot 30 \cdot 10^6)^2 \cdot (4,35 + 2,9 + 8) \cdot 10^{-12}} \approx 1,9 \text{ мкгн},$$

где $C_{вх3} = 4,35 \text{ пф}$ — входная емкость лампы L_3 ;

$C_{вых2} = 2,9 \text{ пф}$ — выходная емкость лампы L_2 ;

C_m — емкость монтажа (принимая $C_m = 8 \text{ пф}$).

Величину эквивалентного нагрузочного сопротивления на резонансной частоте находим по формуле, аналогичной формуле (22) и учитывающей емкость монтажа:

$$R_{э.н} = \frac{1}{2\pi \Delta f (C_{вх3} + C_{вых2} + C_m)} = \frac{1}{2 \cdot 3,14 \cdot 5 \cdot 10^6 (4,35 + 2,9 + 8) \cdot 10^{-12}} = 2,1 \text{ ком}.$$

Принимаем $R_5 = 2,2 \text{ ком}$.

Оба триода каскодного усилителя ставим в условия номинального режима для лампы типа 6Н14П. По статическим характеристикам этой лампы, приведенным на рис. 7, находим рабочую точку и определяем напряжение смещения

$$U_{а.к1} = U_{а.к2} = 90 \text{ в}; \quad I_{а0} = 10,5 \text{ ма};$$

$$U_{с.к1} = U_{с.к2} = -1,6 \text{ в}.$$

Чтобы получить такое напряжение смещения, сопротивление R_2 должно быть:

$$R_2 = \frac{U_{c.k1}}{I_{a0}} = \frac{1,6}{10,5 \cdot 10^{-3}} \approx 150 \text{ ом}.$$

Определяем напряжение на аноде лампы \mathcal{L}_1 относительно земли

$$U_{a1} = U_{a.k1} + U_{c.k1} = 90 + 1,6 = 91,6 \text{ в}.$$

Делитель из сопротивлений R_3 и R_4 должен обеспечить требуемую величину напряжения смещения для лампы \mathcal{L}_2 , равную $U_{c.k2} = -1,6 \text{ в}$. Для этого потенциал сетки лампы \mathcal{L}_2 относительно земли должен быть:

$$U_{c2} = U_{a1} + U_{c.k2} = 91,6 + (-1,6) = 90 \text{ в}.$$

Значения сопротивлений R_3 и R_4 найдем, определив предварительно напряжение источника питания E_a . Для этого, зная величину сопротивления R_5 , проведем через рабочую точку на семействе характеристик нагрузочную прямую, соответствующую этому сопротивлению. Точка пересечения этой прямой с горизонтальной осью покажет величину напряжения $U' = 116 \text{ в}$.

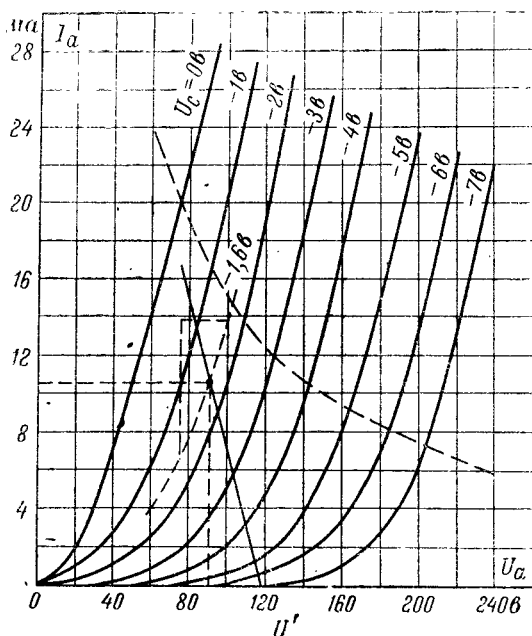


Рис. 7. Статические характеристики двойного триода 6Н14П.

Напряжение источника питания

$$E_a = U' + U_a = 116 + 91,6 = 207,6 \text{ в}.$$

Принимаем $E_a = 208 \text{ в}$.

Величину сопротивлений R_3 и R_4 определяем, исходя из требуемого напряжения $U_{c2} = 90 \text{ в}$ и задаваясь суммарной величиной $R_3 + R_4 = 0,3 \text{ Мом}$ (ввиду отсутствия сеточных токов $R_3 + R_4$ обычно выбирается в пределах $0,1-1 \text{ Мом}$):

$$R_4 = \frac{U_{c2}(R_3 + R_4)}{E_a} = \frac{90 \cdot 0,3 \cdot 10^6}{208} \approx 130 \text{ ком};$$

$$R_3 = (0,3 - 0,13) \cdot 10^6 = 170 \text{ ком}.$$

Определяем статические параметры триода μ , R_t и S в рабочей точке. Для этого на анодной характеристике строим параметрический треугольник в окрестностях рабочей точки и находим статические параметры как отношение соответствующих приращений:

$$S = \frac{\Delta I_a}{\Delta U_c} = \frac{7,4 \cdot 10^{-3}}{1} = 7,4 \text{ ма/в при } \Delta U_a = 0;$$

$$\mu = \frac{\Delta U_a}{\Delta U_c} = \frac{26}{1} = 26 \text{ при } \Delta I_a = 0;$$

$$R_t = \frac{\Delta U_a}{\Delta I_a} = \frac{26}{7,4 \cdot 10^{-3}} = 3,5 \text{ ком при } \Delta U_c = 0.$$

Полученные результаты можно проверить, используя соотношение между статическими параметрами триода

$$R_t = \frac{\mu}{S}.$$

Подставляя в эту формулу найденные значения μ и S , получим:

$$R_t = \frac{26}{7,4 \cdot 10^{-3}} \approx 3,5 \text{ ком}.$$

Далее находим эквивалентные статические параметры каскодного усилителя. Поскольку оба триода имеют одинаковые параметры, можно воспользоваться упрощенными формулами:

$$\mu_3 \approx \mu^2 = 26^2 = 676;$$

$$R_{t3} \approx R_t \mu = 3500 \cdot 26 = 91 \text{ ком};$$

$$S_3 \approx S = 7,4 \text{ ма/в}.$$

Коэффициент усиления на резонансной частоте

$$K = SR_3 = 7,4 \cdot 10^{-3} \cdot 2,2 \cdot 10^3 = 16,3.$$

Расчет блокировочных и разделительных конденсаторов производится обычным способом.

Нейтрализующая индуктивность L_2 , образующая с проходной емкостью $C_{a.c1}$ первой лампы параллельный резонансный контур, позволяет повысить устойчивость. Для лампы L_1 $C_{a.c1}=1,8$ пф. Величину индуктивности находим по формуле

$$L_2 = \frac{1}{(2\pi f_0)^2 C_{a.c1}} = \frac{1}{(2 \cdot 3,14 \cdot 30 \cdot 10^6)^2 \cdot 1,8 \cdot 10^{-12}} = 15 \text{ мкгн.}$$

7. РАСЧЕТ КАСКОДНЫХ УСИЛИТЕЛЕЙ ПО ХАРАКТЕРИСТИКАМ

Выше было введено понятие о эквивалентных статических параметрах каскодного усилителя и определена их связь с известными статическими параметрами двух триодов. Однако аналитический метод расчета не всегда бывает удобен на практике, когда требуется выбрать режим, учитывая большое количество условий и ограничений. Весьма желательно иметь семейство статических характеристик каскодного усилителя в целом, по которым можно было бы выбрать рабочий режим и возможные области работы усилителя, оценить все ограничения, присущие данной схеме.

Статические характеристики каскодного усилителя (зависимость анодного тока I_{a2} от анодного напряжения U_{a2} при различных напряжениях смещения на сетке первой лампы U_{c1} и неизменном потенциале сетки второй лампы U_{c2}) можно получить двумя способами. Первый способ заключается в экспериментальном снятии характеристик каскодного усилителя, показанного на рис. 1.

Сетка лампы L_2 может быть присоединена либо к делителю из сопротивлений (рис. 1), обеспечивающему требуемое значение напряжения на сетке лампы L_2 лишь при отсутствии сеточных токов, либо к отдельному источнику постоянного напряжения с низким внутренним сопротивлением. Подсоединение сетки лампы L_2 к делителю встречается гораздо чаще. В этом случае при снятии характеристик необходимо взять суммарное сопротивление R_1+R_2 такой же величины, какая будет применяться в реальной схеме (обычно 0,1—1 Мом), и подключить этот делитель к источнику постоянного напряжения, которое должно оставаться неизменным при снятии всех характеристик. Практически при снятии характеристик сопротивления R_1 и R_2 следует взять одинаковой величины и подключить их к источнику постоянного напряжения, равного $2U_{c2}$. Анод лампы L_2 соединяется через миллиамперметр с положительным зажимом источника постоянного напряжения с регулируемым выходом. Сетка лампы L_1 через микроамперметр подключается к другому источнику постоянного напряжения с регулируемым выходом. Напряжение на сетке лампы L_1 изменяется ступенями обычно через 1 в от нулевого значения до напряжения, соответствующего режиму, близкому к запираанию лампы L_1 . Кривые строятся по снятым точкам, которые находятся путем измерения тока I_{a2} при разных значениях напряжения U_{a2} .

Процесс снятия семейства характеристик каскодного усилителя довольно трудоемок. Поэтому представляет интерес второй способ получения характеристик каскодного усилителя — путем построения их по известным статическим характеристикам ламп L_1 и L_2 . Для общности будем считать, что лампы L_1 и L_2 обладают различными характеристиками, показанными на рис. 8, а и б.

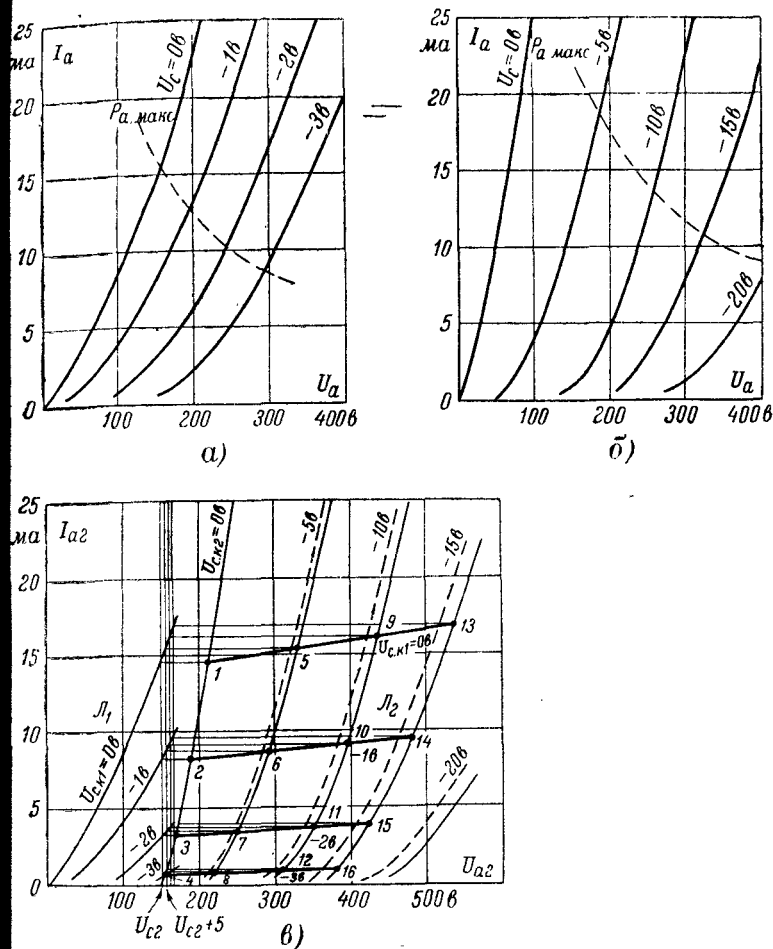


Рис. 8. Статические анодно-сеточные характеристики.

а — для лампы L_1 ; б — для лампы L_2 ; в — для каскодного усилителя.

Построение производится в следующей последовательности. В системе координат I_{a2} , U_{a2} (рис. 8, в) строится часть семейства анодно-сеточных характеристик лампы L_1 (рис. 8, а) для всех значений U_{c1} и до значений U_a , несколько превышающих выбранную величину U_{c2} . Напряжение U_{c2} обычно принимается равным номинальному анодному напряжению для лампы L_1 .

Затем на этом же чертеже строим семейство анодно-сеточных характеристик лампы L_2 (рис. 8, б), но так, чтобы прежнее начало координат кривых этого семейства было смещено вдоль оси U_a вправо на величину U_{c2} . Кривая семейства, соответствующая напряжению $U_{c.k2}=0$, начинается из этой смещенной точки. Каждая из остальных кривых семейства статических характеристик лампы L_2 первоначальное положение которых показано на рис. 8, в пунктиром дополнительно смещается вправо еще на величину $U_{c.k2}$. Это необходимо произвести по той причине, что смещение $U_{c.k2}$ для лампы L_2 образуется лишь в результате соответствующего повышения напряжения на катоде лампы L_2 и, следовательно, на аноде лампы L_1 . Семейство характеристик лампы L_2 с учетом смещения показано на рис. 8, в сплошными линиями.

В точке $U_{a2}=U_{c2}$ восстанавливают перпендикуляр к оси напряжений и находят точки его пересечения с кривыми семейства характеристик лампы L_1 . Полученные точки (значения тока) переносят (проектируют) на кривую семейства характеристик лампы L_2 , соответствующую напряжению $U_{c.k2}=0$ в. Найденные таким образом точки 1, 2, 3 и 4 соответствуют вполне определенному режиму каскодного усилителя, когда напряжение $U_{c.k2}$ меняется в пределах от 0 до -3 в при неизменном напряжении $U_{c.k2}=0$ в.

Чтобы построить точки 5, 6, 7 и 8, соответствующие напряжению $U_{c.k2}=-5$ в, восстанавливают перпендикуляр к оси напряжений в точке $U_{a2}=U_{c2}+5$ в. Затем находят точки пересечения этого перпендикуляра с кривыми семейства характеристик лампы L_1 и переносят полученные точки на кривую семейства статических характеристик лампы L_2 , соответствующую напряжению $U_{c.k2}=-5$ в и предварительно уже смещенную вправо на 5 в (сплошная линия). Таким образом получаем точки 5, 6, 7 и 8.

Аналогично строим точки 9, 10, 11 и 12 для напряжения $U_{c.k2}=-10$ в и точки 13, 14, 15 и 16 для $U_{c.k2}=-15$ в.

Точки 1, 5, 9 и 13 соответствуют режиму каскодного усилителя при одной и той же величине смещения на сетке лампы L_1 , а именно при $U_{c.k1}=0$. А так как статическими анодными характеристиками каскодного усилителя являются графики зависимости анодного тока второй лампы от напряжения на аноде второй лампы при различных значениях смещения на сетке первой лампы, то для получения одной кривой из этого семейства остается только соединить точки 1, 5, 9 и 13. Далее соединяем между собой точки 2, 6, 10 и 14 и получаем еще одну кривую из семейства статических характеристик каскодного усилителя, соответствующую напряжению при $U_{c.k1}=-1$ в. Точно так же строятся кривые при $U_{c.k1}=-2$ в; -3 в и т. д.

Полученное семейство статических характеристик каскодного усилителя можно продлить и в область положительных значений напряжения $U_{c.k2}$, т. е. в область работы с сеточными токами лампы L_2 .

Для практических применений режим работы с сеточными токами мало пригоден, однако рассмотрение поведения каскодного усилителя для всех возможных значений изменения напряжения источника анодного напряжения представляет несомненный интерес, поскольку при определенных анодных напряжениях могут возникнуть сеточные токи. В случае каскодного соединения входной является цепь сетки лампы L_1 , а выходной — цепь анода лампы L_2 . Очевидно, что всякий, кто применяет каскодный усилитель, представляет себе, при

каких условиях появляется сеточный ток в лампе L_1 и стремится не допустить этого, подавая на сетку лампы L_1 начальное отрицательное смещение. Появление сеточных токов лампы L_1 зависит лишь от напряжения на ее сетке и не зависит от того, как выбрано напряжение U_{a2} . Однако при выбранном фиксированном потенциале сетки лампы L_2 возможно появление сеточных токов этой лампы. Это произойдет тогда, когда напряжение на аноде лампы L_1 упадет ниже напряжения U_{c2} . Но напряжение на аноде лампы L_1 зависит от напряжения U_{a2} . Поэтому как только напряжение U_{a2} понизится настолько, что рабочая точка перейдет в область левее кривой для лампы L_2 при смещении $U_{c.k2}=0$ (рис. 8, в) появятся сеточные токи лампы L_2 . В этой области анодные токи двух ламп не равны между собой, и становится справедливым следующее очевидное соотношение:

$$I_{a1} = I_{a2} + I_{c2}.$$

Большую роль в поведении статических характеристик каскодного усилителя в области сеточных токов лампы L_2 играет величина общего сопротивления делителя R_1+R_2 . Когда сеточные токи отсутствуют, величина U_{c2} остается неизменной. Однако с появлением сеточных токов лампы L_2 начинает изменяться падение напряжения на сопротивлении R_1 , а следовательно, и напряжение на сетке U_{c2} . Это в свою очередь сказывается на возможном диапазоне изменений сеточных токов лампы L_2 .

В связи с этим желательно рассмотреть два граничных случая: 1) случай, когда напряжение на сетке лампы L_2 создается высоким делителем на сопротивлениях R_1 и R_2 , и 2) случай, когда напряжение на сетку лампы L_2 подается от отдельного источника, имеющего очень низкое внутреннее сопротивление (например, от стабилизированного источника постоянного напряжения). В первом случае сеточный ток I_{c2} лампы L_2 ограничивается сопротивлением R_1 настолько, что величиной сеточного тока можно пренебречь по сравнению с величинами токов I_{a1} и I_{a2} . Конечно, при этом напряжение U_{c2} изменяется одновременно с изменением напряжения U_{a1} так, что разность $U_{c2}-U_{a1}=U_{c.k2}$ примерно равна нулю во всей области работы с сеточными токами лампы L_2 . Во втором случае возрастание сеточного тока I_{c2} лампы L_2 не должно сказываться на величине напряжения U_{c2} , т. е. ток I_{c2} целиком определяется разностью потенциалов $U_{c2}-U_{a1}$.

На рис. 9 приведено построение каскодных характеристик для области работы с сеточными токами лампы L_2 для случая, когда сетка лампы L_2 подсоединена к высокоомному делителю. На этот рисунок перенесены полученные ранее на рис. 8, в статические каскодные характеристики при $U_{c.k1}=0, -1, -2, -3$ в, ограниченные слева точками 1, 2, 3 и 4, которые принадлежат также кривой из семейства статических характеристик лампы L_2 при $U_{c.k2}=0$. Слева на рис. 9 показаны статические характеристики лампы L_1 при различных смещениях $U_{c.k1}$.

Продлим одну из статических каскодных характеристик, например характеристику при $U_{c.k1}=-1$ в, в область сеточных токов лампы L_2 . Теоретически можно считать, что точка 2 является критической. Режим каскодного усилителя в точке 2 соответствует следующим значениям токов и напряжений: сеточные токи обеих ламп равны нулю,

анодные токи ламп равны между собой и равны значению I' , показанному на рис. 9, напряжение $U_{a.k1}$ на аноде лампы L_1 равно напряжению U_{c2} на сетке лампы L_2 , напряжение между анодом и катодом $U_{a.k2}$ лампы L_2 определяется по характеристикам так, как это показано на рис. 9. Для построения следующей точки, левее точ-

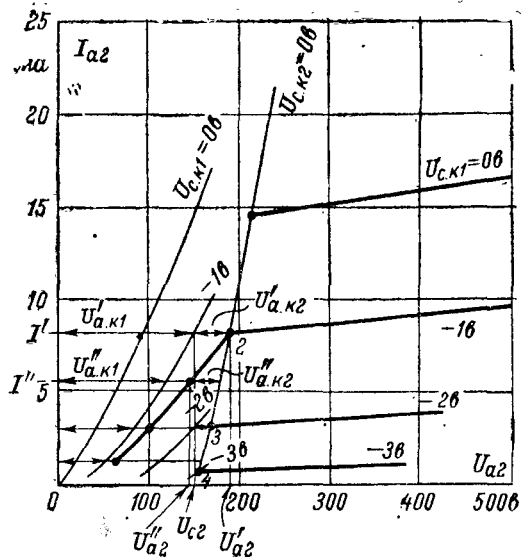


Рис. 9. Построение статических характеристик каскодного усилителя для области сеточных токов.

ки 2, задаемся значением анодного тока лампы L_2 , равным I'' . При наличии в цепи сетки лампы L_2 высокоомного делителя сеточный ток лампы L_2 , как уже отмечалось ранее, намного меньше анодного тока, $I_{c2} \ll I_{a2}$. Поэтому анодные токи ламп L_1 и L_2 примерно равны, т. е. ток лампы L_1 $I_{a1} \approx I''$. Чтобы найти новое значение напряжения на аноде лампы L_2 , находим по отдельности новые значения напряжений на участках анод — катод обеих ламп $U_{a.k1}'$ и $U_{a.k2}'$, как это показано на рис. 9. Затем, добавляя графически к значению $U_{a.k1}'$ величину $U_{a.k2}$, находим новую точку, принадлежащую данной кривой из семейства статических каскодных характеристик. Аналогично на рис. 9 построены и другие точки этой кривой.

В случае, если сетка лампы L_2 подключена к источнику постоянного напряжения U_{c2} с малым внутренним сопротивлением, появление и изменение сеточного тока I_{c2} не сказываются на величине напряжения U_{c2} . С появлением сеточных токов I_{c2} сопротивление уча-

стка сетка—катод лампы L_2 становится незначительным (сотни ом) по сравнению с внутренним сопротивлением по постоянному току лампы L_1 (внутреннее сопротивление по постоянному току равно отношению постоянной составляющей напряжения на аноде лампы к постоянной составляющей анодного тока). Поэтому можно считать, что напряжение на аноде лампы L_1 не может упасть ниже, чем на несколько вольт по отношению к напряжению U_{c2} , т. е. $U_{a1} \approx U_{c2}$.

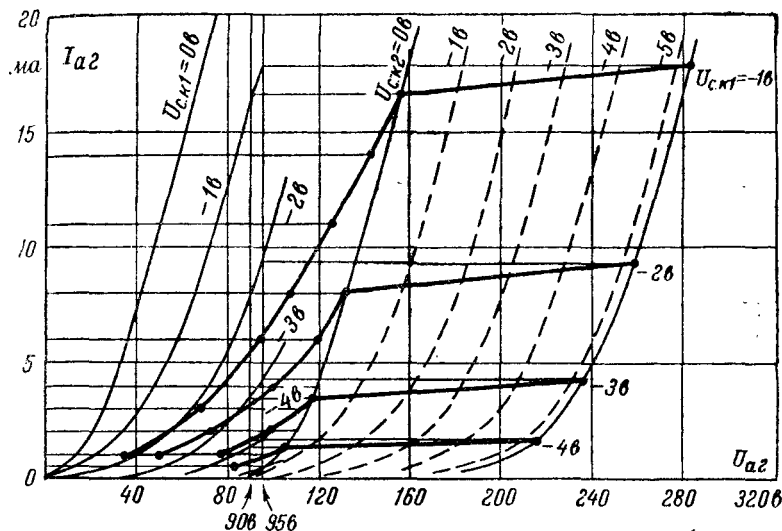


Рис. 10. Статические характеристики каскодного усилителя на лампе 6Н14П, построенные графически.

Из этого можно сделать вывод, что статические каскодные характеристики при понижении напряжения U_{a2} пойдут примерно по статической кривой лампы L_2 для смещения $U_{c.k2} = 0$ (несколько левее этой кривой).

Для любого иного значения внутреннего сопротивления источника напряжения U_{c2} или величины общего сопротивления делителя $R_1 + R_2$ статические каскодные характеристики в области сеточных токов лампы L_2 займут некоторое промежуточное положение между кривой, построенной на рис. 9, и кривой лампы L_2 при $U_{c.k2} = 0$.

На рис. 10 показаны статические характеристики каскодного усилителя на лампе 6Н14П, построенные в соответствии с рассмотренной методикой. Напряжение $U_{c2} = 90$ в обеспечивается с помощью высокоомного делителя $R_1 R_2$. Построение выполнено для значений смещения $U_{c.k1} = 1, -2, -3, -4$ в.

На рис. 11 приведены экспериментально снятые кривые для таких же значений сеточных напряжений. Напряжение на сетку лампы L_2 снималось с высокоомного делителя, подключенного к отдельному

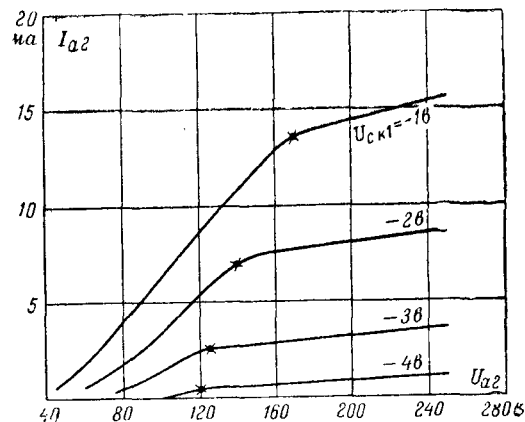


Рис. 11. Экспериментально снятые статические характеристики каскодного усилителя на лампе 6Н14П.

В цепь сетки лампы L_2 включен высокоомный делитель на сопротивлениях $R_1=R_2=200 \text{ ком}$, $U_{c2}=90 \text{ в}$.

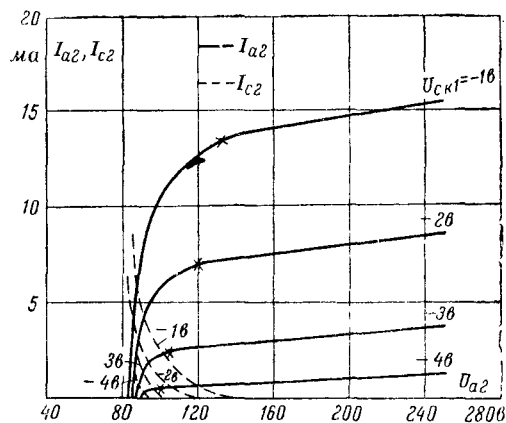


Рис. 12. Экспериментально снятые статические характеристики каскодного усилителя на лампе 6Н14П.

Сетка лампы L_2 подключена к источнику напряжения $U_{c2}=90 \text{ в}$ с малым внутренним сопротивлением.

источнику. Сопротивления делителя составляли по $0,25 \text{ Мом}$. При напряжении источника 180 в на сетку подавалось напряжение 90 в . Экспериментально снятые статические характеристики каскодного усилителя на двойном триоде 6Н14П достаточно близки к построенным графически. Необходимо учитывать, что характеристики на рис. 10 строились по усредненным анодно-сеточным кривым, которые отличаются в какой-то мере от кривых для данного экземпляра лам-

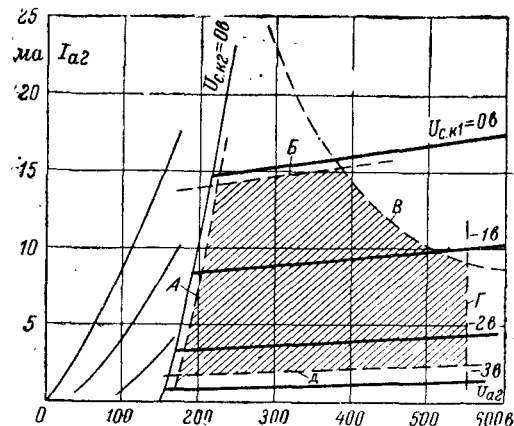


Рис. 13. Рабочая область на семействе статических характеристик каскодного усилителя.

пы 6Н14П. На рис. 11 крестиками отмечены те точки на каскодных характеристиках, которые соответствуют появлению сеточных токов лампы L_2 .

Для каскодного усилителя на этой же лампе были сняты характеристики при подключении сетки L_2 к источнику напряжением $+90 \text{ в}$ с малым внутренним сопротивлением (рис. 12). Моменты появления сеточных токов отмечены крестиками. Ход кривых до появления сеточных токов полностью совпадает с кривыми, показанными на рис. 11. После появления сеточных токов данные кривые идут гораздо круче, что подтверждает выводы, сделанные ранее при графическом построении каскодных характеристик на рис. 10. На рис. 12 приведена также зависимость сеточных токов I_{c2} от анодного напряжения U_{a2} для различных величин смещения на сетке первой лампы. Как видно из этих кривых, сеточные токи в данной схеме могут достигать значительных величин.

На рис. 13 приведены построенные ранее каскодные характеристики (рис. 9) и отмечена штриховкой рабочая область. Рабочая точка при работе каскодного усилителя в линейном режиме не должна выходить за пределы этой области. Линия А, ограничивающая эту область слева, является пределом, за которым возникают сеточные токи лампы L_2 . Эта линия идет несколько правее статической

анодной характеристики лампы \mathcal{L}_2 при $U_{c.k2}=0$. Сверху рабочая область ограничена линией B , идущей несколько ниже статической каскодной характеристики для $U_{c.k1}=0$. При переходе через линию B возникают сеточные токи лампы \mathcal{L}_1 .

Положение линии B определяется допустимой величиной мощности рассеяния для лампы \mathcal{L}_2 . Эта линия переносится на данный рисунок со статических характеристик лампы \mathcal{L}_2 , имеющих в справочниках по радиолампам.

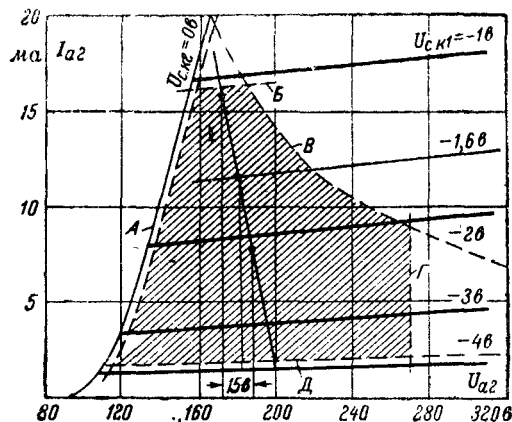


Рис. 14. К определению рабочей точки, эквивалентных параметров и коэффициента усиления каскодного усилителя на лампе 6Н14П.

Линия Γ , ограничивающая рабочую область справа, накладывает ограничение на максимальное значение напряжения источника анодного питания. Линия \mathcal{D} обусловлена наличием нелинейных искажений, возникающих из-за сближения характеристик при больших величинах смещения. Положение линий Γ и \mathcal{D} не является строго определенным и зависит от назначения и требований к каждому конкретному усилителю.

Построив семейство каскодных статических характеристик и границы рабочей области, можно выбрать положение рабочей точки и определить значение эквивалентных параметров каскодного усилителя в рабочей точке. На рис. 14 приведены каскодные характеристики и рабочая область для усилителя на лампе 6Н14П. По этим характеристикам можно определить эквивалентные статические параметры в той же рабочей точке, какая была выбрана в предыдущем примере (§ 6). Эти параметры находятся методом треугольника и равны:

$$S_2 = \frac{\Delta I_{a2}}{\Delta U_{c.k1}} = \frac{3,8 \cdot 10^{-3}}{0,5} = 7,6 \text{ мА/В};$$

$$\mu_2 = \frac{\Delta U_{a2}}{\Delta U_{c.k1}} = \frac{340}{0,5} = 680;$$

$$R_{i2} = \frac{\Delta U_{a2}}{\Delta I_{a2}} = \frac{340}{3,8 \cdot 10^{-3}} = 90 \text{ ком.}$$

Если сравнить эти результаты с полученными расчетным путем в § 6, то можно видеть близкое их совпадение.

Выбрав сопротивление нагрузки (исходя из требуемой полосы пропускания) и построив нагрузочную прямую, проходящую через рабочую точку, можно найти коэффициент усиления каскодного усилителя. В качестве примера опять возьмем сопротивление нагрузки, равное эквивалентному активному сопротивлению нагрузки, найденному в примере § 6. Это сопротивление равно 2,1 ком. Проведем через рабочую точку нагрузочную прямую и определим коэффициент усиления. Для этого, задавшись пределами изменений сеточного напряжения $U_{c1}=1$ в, определим пределы изменений анодного напряжения $U_{a2}=15$ в. Разделив величину изменения выходного напряжения U_{a2} на величину изменения входного напряжения U_{c1} , получим коэффициент усиления каскодного усилителя $K=15$.

Таким образом, графический метод расчета каскодного усилителя можно с успехом применять для выбора режима усилителя, оценки величины усиления при требуемой величине нагрузки, определения допустимого динамического диапазона и т. п.

8. ШУМОВЫЕ СВОЙСТВА КАСКОДНОГО УСИЛИТЕЛЯ

Каскодные усилители, как правило, применяются в тех случаях, когда требуется снизить собственные шумы до минимума. Поэтому по каскодной схеме строятся обычно входные каскады радиоприемников, так как собственные шумы всего приемника определяются в основном шумом первого каскада. Уровень шумов, возникающих в приемнике, в конечном счете определяет чувствительность последнего. Чем ниже уровень шума, тем более слабые сигналы можно принимать.

Коэффициентом шума усилителя называется отношение величины мощности шума на выходе реального усилителя к величине мощности шума на выходе шумящего (идеального) усилителя с теми же коэффициентами усиления, входным и выходным сопротивлениями. Для определения коэффициента шума можно разделить отношение сигнала к шуму на входе усилителя на отношение сигнала к шуму на его выходе.

Если усилитель не создает шумов, то коэффициент шума равен единице. Но во всех реальных схемах коэффициент шума всегда больше единицы. Чем ближе коэффициент шума к единице, тем совершеннее схема с точки зрения шумов.

Каскодный усилитель можно рассматривать состоящим из двух каскадов усиления. Коэффициент шума двух каскадов усиления

$$Ш = Ш_1 + \frac{Ш_2 - 1}{k_{ш}}, \quad (23)$$

где \mathcal{H}_1 — коэффициент шума первого каскада (с заземленным катодом);

\mathcal{H}_2 — коэффициент шума второго каскада (с заземленной сеткой);

k_M — коэффициент усиления по мощности первого каскада.

Известно, что коэффициент шума усилителей с заземленным катодом и заземленной сеткой примерно равны, т. е.

$$\mathcal{H}_1 \approx \mathcal{H}_2.$$

Коэффициент усиления по мощности первого каскада усиления на триоде с заземленным катодом имеет значительную величину

$$k_M \gg 1.$$

Поэтому по формуле (23) доля шумов второго триода в общем шуме каскадного усилителя резко падает и, следовательно,

$$\mathcal{H} \approx \mathcal{H}_1,$$

т. е. коэффициент шума каскадного усилителя почти такой же, как коэффициент шума триодного усилителя на одном триоде.

Целесообразность применения каскадного усилителя зависит в основном от того выигрыша, который дает применение в первом каскаде триода вместо пентода. Коэффициент шума

каскадного усилителя можно рассмотреть на примере резонансного каскадного усилителя, эквивалентная схема входной цепи которого показана на рис. 15, а.

Предполагается, что и на входе, и на выходе усилителя нагрузка выполнена в виде резонансных контуров, настроенных на частоту сигнала f_0 . Обозначенная на схеме емкость C_K включает в себя сосредоточенную и все распределенные емкости, которые имеются в сеточной цепи, включая входную емкость лампы.

Сопротивление R_d представляет собой входное сопротивление лампы, которое резко уменьшается с увеличением частоты, и в диапазоне УВЧ, когда усиливаемые частоты составляют несколько десятков мегагерц, становится соизмеримым с сопротивлением входной цепи. На низких частотах это сопротивление настолько велико, что его не учитывают. Оно обуславливается двумя причинами. Первая — это влияние времени пролета электронов, которое на больших частотах становится сравнимо с периодом колебаний. Вторая — влияние индуктивности катодного вывода лампы. Входное сопротивление убывает обратно пропорционально квадрату частоты

$$R_d = \frac{A}{f^2}, \quad (24)$$

где A — постоянный коэффициент;

f — частота усиливаемого сигнала.

В справочниках по электронным лампам приводятся значения входного сопротивления на определенной частоте, чаще всего на частотах 60 и 30 Мгц. Например, для лампы 6Н14П $R_d = 40$ ком на частоте $f = 60$ Мгц. Для лампы 6Ж1П на той же частоте $R_d = 12-25$ ком. В отношении входного сопротивления триоды и пентоды примерно равноценны.

По формуле (24) всегда можно найти значение сопротивления R_d для любой другой частоты.

Сопротивление R_K (рис. 15, а) учитывает эквивалентное сопротивление потерь контура, пересчитанное в параллельное контуру сопротивление, а также внешнее сопротивление, подключаемое параллельно контуру для обеспечения необходимой полосы пропускания. На ширину полосы пропускания влияют в равной мере сопротивление R_K , сопротивление R_d , а также пересчитанное сопротивление источника входного сигнала:

$$R'_{BX} = m^2 R_{BX},$$

где R'_{BX} — пересчитанное сопротивление источника входного сигнала;

m — коэффициент трансформации;

R_{BX} — сопротивление источника входного сигнала.

Внешнее сопротивление необходимо определять с учетом всех этих сопротивлений.

Шумы, возникающие на сопротивлении R_d , отличаются по своей природе от шумов, обязанных сопротивлению R_K . На сопротивлении R_K развивается э. д. с. шума E_1 , величина которой вычисляется по формуле

$$E_1 = \sqrt{4kTR_K \Delta f}, \quad (25)$$

где $k = 1,37 \cdot 10^{23}$ дж/абс. град — физическая константа;

Δf — полоса пропускания, гц;

T — абсолютная температура (обычно для комнатных условий принимают $T = 290^\circ \text{C}$).

Возникновение э. д. с. шума E_1 объясняется беспорядочным движением электронов в самом сопротивлении.

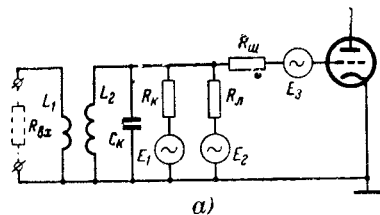
Электродвижущие силы шума E_2 на сопротивлении R_d подсчитывается по формуле

$$E_2 = \sqrt{4kTt_d R_d \Delta f}. \quad (26)$$

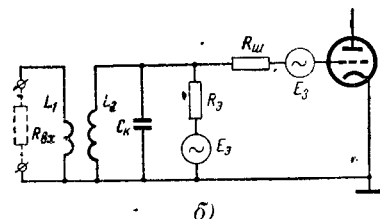
В этой формуле t_d — постоянный коэффициент, называемый электрической температурой сопротивления R_d . Для большинства ламп t_d находится в пределах 2,5—5.

Другими словами, шумы входного сопротивления лампы больше шумов, возникающих на омическом сопротивлении той же величины, находящемся в комнатных условиях.

Электродвижущие силы шума E_1 и E_2 показаны на рис. 15, а включенными последовательно с сопротивлениями R_K и R_d . Всегда



а)



б)

Рис. 15. Эквивалентные схемы входной цепи для анализа шумов.

а — полная схема; б — упрощенная схема.

можно на эквивалентной схеме заменить параллельно включенные сопротивления R_k и R_d одним эквивалентным сопротивлением R_9 (рис. 15, б) так, чтобы

$$\frac{1}{R_9} = \frac{1}{R_k} + \frac{1}{R_d}.$$

Это сопротивление будет иметь свою электрическую температуру t_9 , которая зависит от соотношения сопротивлений R_k и R_d и лежит в пределах от 1 до t_d . Величину t_9 можно определить по формуле

$$t_9 = \frac{R_d + R_k t_d}{R_d + R_k}.$$

При $R_k \gg R_d$ величина t_9 будет приближаться к t_d , а при $R_k \ll R_d$ будет стремиться к единице. Электродвижущая сила шумов за счет сопротивления R_9 подсчитывается по формуле

$$E_9 = \sqrt{4kTt_9 R_9 \Delta f}. \quad (27)$$

Необходимо помнить, что вследствие зависимости R_d от частоты (24) величины R_9 и t_9 также зависят от частоты. Однако формула (27) в большинстве практических случаев дает удовлетворительные результаты, так как обычно отношение полосы пропускания Δf к несущей частоте f_0 в резонансных усилителях намного меньше единицы.

Сопротивление $R_{ш}$, показанное на рис. 15, является фиктивным сопротивлением, по величине которого судят о шуме применяемой лампы. Вследствие флуктуаций анодного тока, вызываемых тем, что в каждую единицу времени катод покидает неодинаковое количество электронов, к уже рассмотренным шумам добавляется еще шум лампы, часто называемый дробовым эффектом. Флуктуация анодного тока увеличивается при перераспределении электронов между электродами, имеющими положительный потенциал. Поэтому шумы многосеточных ламп больше шумов триода. Обычно для удобства рассмотрения шумовых свойств усилителя считают, что флуктуации анодного тока лампы обязаны сопротивлению $R_{ш}$, а саму лампу на эквивалентной схеме считают нешумящей идеальной лампой. Величина шумового сопротивления лампы приводится в справочниках по электронным приборам. Она остается неизменной для данной лампы в широком диапазоне частот. И только на самых низких частотах $R_{ш}$ увеличивается вследствие медленных флуктуаций за счет изменения структуры катода (эффект «мерцания» катода).

Величина $R_{ш}$ для триодов определяется по формуле

$$R_{ш} \approx \frac{2,5 \div 3}{S},$$

где S — крутизна характеристики лампы.

Для пентода величина $R_{ш}$ значительно больше (обычно в 3—5 раз) и равна:

$$R_{ш} \approx \frac{2,5}{S} + \left(\frac{20I_9}{S^2} \right) \frac{I_a}{I_a + I_9},$$

где I_a — анодный ток пентода;

I_9 — ток цепи экранирующей сетки.

На эквивалентной схеме (рис. 15) сопротивление $R_{ш}$ включено так, что оно не шунтирует контур. Электродвижущая сила шумов, возникающих на сопротивлении $R_{ш}$, подсчитывается по обычной формуле:

$$E_3 = \sqrt{4kTR_{ш} \Delta f}.$$

Источник сигнала, подключаемый к входным зажимам усилителя (к первичной обмотке трансформатора в случае трансформаторной связи), имеет свое собственное сопротивление $R_{вх}$, которое будет пересчитываться в контур как сопротивление $R'_{вх}$.

Для передачи максимальной мощности от источника в контур коэффициент трансформации должен быть:

$$m_m = \sqrt{\frac{R_9}{R_{вх}}}.$$

Вследствие того, что пересчитанное сопротивление подключается параллельно к R_9 , а сопротивление $R_{ш}$ соединено с ними двумя последовательно, получается довольно сложная зависимость для определения оптимального коэффициента трансформации с точки зрения величины шумов ($m_{ш}$). При величинах $R_{ш}$, соизмеримых с R_9 , коэффициент трансформации $m_{ш}$ несколько меньше величины m_m .

Именно из-за того, что сопротивление $R_{ш}$ триода в несколько раз меньше $R_{ш}$ пентода с той же крутизной, выгодно во входных каскадах применять триоды. Применение каскодного усилителя, обладающего большой устойчивостью, позволяет избежать опасности самовозбуждения. Однако из рассмотрения эквивалентной схемы на рис. 15, б можно сделать вывод, что особенно эффективно применение каскодного усилителя вместо пентодного там, где входной контур широкополосный, т. е. величина R_9 мала. В этом случае шум, обусловленный сопротивлением $R_{ш}$, играет основную роль.

9. КАСКОДНЫЕ УСИЛИТЕЛИ НА ТРАНЗИСТОРАХ

Каскодные схемы находят широкое применение не только в усилителях на электронных лампах, но и в усилителях на транзисторах. Одним из недостатков транзисторов по сравнению с электронными лампами при работе на высоких частотах является большая внутренняя обратная связь из-за обратной проходной проводимости, имеющей комплексный характер. Эта проводимость понижает устойчивость усилителя, вызывает взаимозависимость настроек входного и выходного контуров и т. п.

Для устранения влияния внутренней обратной связи в обычных (не каскодных) усилителях широко используются цепи нейтрализации. Эти цепи приходится настраивать для каждого транзистора из-за разброса проходных проводимостей. Кроме того, недостатком нейтрализации является ее узкополосность (цепи нейтрализации, выполненные на элементах R и C , обеспечивают нейтрализацию лишь в относительно узком диапазоне частот). При изменении режима транзисторов и температуры окружающей среды настройка цепей нейтрализации также нарушается.

В каскодных транзисторных усилителях внутренняя обратная связь оказывается в 100—1000 раз меньше, чем в усилительном каскаде с общим эмиттером. Это приводит к повышению устойчивости в широком диапазоне частот и к уменьшению взаимозависимости настроек входных и выходных контуров. Каскодный усилитель позволяет получить большее усиление, чем в обычном усилителе на транзисторе с общим эмиттером.

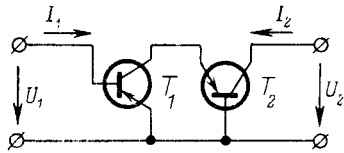


Рис. 16. Упрощенная схема транзисторного каскодного усилителя.

Упрощенная схема каскодного усилителя показана на рис. 16. При малой величине усиливаемых сигналов эту схему можно рассматривать как некоторый эквивалентный активный четырехполюсник. Каждый транзистор, входящий в каскодную схему, можно также рассматривать как некоторый активный четырехполюсник. Для анализа удобнее всего воспользоваться системой y -параметров (характеристических проводимостей) транзисторов, так как они легче других могут быть определены экспериментально. С помощью системы y -параметров выражаются значения входного и выходного токов I_1 и I_2 через значения входного и выходного напряжений U_1 и U_2 :

$$\left. \begin{aligned} I_1 &= y_{11} \dot{U}_1 + y_{12} \dot{U}_2; \\ I_2 &= y_{21} \dot{U}_1 + y_{22} \dot{U}_2, \end{aligned} \right\} \quad (28)$$

где y_{11} — входная проводимость транзистора при коротком замыкании на выходе, т. е. $y_{11} = I_1 / \dot{U}_1$ при $\dot{U}_2 = 0$;
 y_{12} — проводимость обратной связи, взятая с обратным знаком (эта проводимость характеризует влияние выходного напряжения на входной ток при коротком замыкании на выходе, т. е. $y_{12} = I_1 / \dot{U}_2$ при $\dot{U}_1 = 0$);
 y_{21} — проводимость, определяющая усилительные свойства транзистора (она аналогична крутизне S электронной лампы), $y_{21} = I_2 / \dot{U}_1$ при $\dot{U}_2 = 0$;
 y_{22} — выходная проводимость транзистора при коротком замыкании на входе, т. е. $y_{22} = I_2 / \dot{U}_2$ при $\dot{U}_1 = 0$.

Все эти проводимости в области высоких частот имеют комплексный характер. Однако на низких частотах они могут быть заменены активными проводимостями. Для маломощных транзисторов активные составляющие проводимостей транзисторов в схемах с общим эмиттером имеют следующие величины:

$$g_{11\alpha} \approx 10^{-3} \div 10^{-2} \frac{1}{\text{ом}};$$

$$g_{12\alpha} \approx 10^{-6} \frac{1}{\text{ом}};$$

$$g_{21\alpha} \approx 10^{-2} \div 10^{-1} \frac{1}{\text{ом}};$$

$$g_{22\alpha} \approx 10^{-4} \frac{1}{\text{ом}}.$$

Величины \dot{U}_1 , \dot{U}_2 , I_1 и I_2 в системе уравнений (28) в общем случае являются комплексными. Системе (28) соответствует эквивалентная схема транзистора, показанная на рис. 17, а. В этой схеме имеются два эквивалентных генератора неизменного (не зависящего от остальных элементов схемы) тока. Это означает, что через ветвь, в которой имеется генератор тока, проходит неизменный ток, не зависящий от режима остальной цепи. Из-за того, что эквивалентная схе-

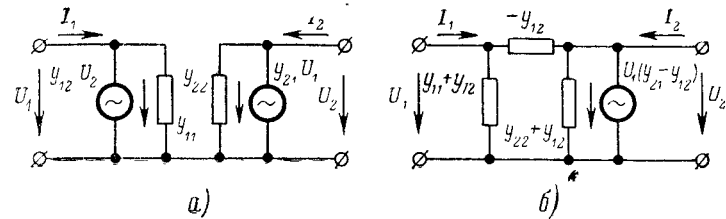


Рис. 17. Схемы замещения транзистора.

а — с двумя эквивалентными генераторами тока; б — с одним эквивалентным генератором тока.

ма транзистора содержит эквивалентные генераторы тока, она относится к числу схем активных четырехполюсников. Той же самой системе уравнений (28) соответствует эквивалентная схема с одним генератором тока (рис. 17, б). Обе схемы могут относиться к любой из трех возможных схем включения транзистора. При этом каждой схеме включения соответствуют свои значения y -параметров.

Обозначим параметры, относящиеся к схеме с общим эмиттером, индексом «э», т. е. $y_{11\alpha}$, $y_{12\alpha}$, $y_{21\alpha}$, $y_{22\alpha}$. Параметры схемы с общей базой обозначим индексом «б».

Поскольку основная схема каскодного усилителя, приведенная на рис. 16, состоит из двух транзисторов, включенных по схемам с общим эмиттером и общей базой, то задачей анализа свойств каскодного усилителя является в первую очередь определение параметров каскодного усилителя в целом. Обозначим их индексом «с», т. е. $y_{11\alpha}$, $y_{12\alpha}$, $y_{21\alpha}$, $y_{22\alpha}$. Схема четырехполюсника, эквивалентного каскодному усилителю в целом, будет иметь тот же вид, что и на рис. 17, б, только все проводимости, обозначенные на ней, должны иметь индекс «с».

Хорошо известно, что наряду с системой y -параметров широкое применение находит система h -параметров, т. е. смешанная система параметров. Для нее в отличие от уравнений (28), где за независимые переменные приняты входные и выходные напряжения, ис-

пользуются уравнения, в которых за независимые переменные принимаются входной ток I_1 и выходное напряжение \dot{U}_2 , т. е.

$$\left. \begin{aligned} \dot{U}_1 &= h_{11} \dot{I}_1 + h_{12} \dot{U}_2; \\ \dot{I}_2 &= h_{21} \dot{I}_1 + h_{22} \dot{U}_2. \end{aligned} \right\} \quad (29)$$

h -параметры имеют определенный физический смысл:

$h_{11} = \dot{U}_1 / \dot{I}_1$ при $\dot{U}_2 = 0$ — полное входное сопротивление при короткозамкнутом выходе;

$h_{12} = \dot{U}_1 / \dot{U}_2$ при $\dot{I}_1 = 0$ — коэффициент обратной связи по напряжению при разомкнутом входе;

$h_{21} = \dot{I}_2 / \dot{I}_1$ при $\dot{U}_2 = 0$ — коэффициент усиления по току при короткозамкнутом выходе;

$h_{22} = \dot{I}_2 / \dot{U}_2$ при $\dot{I}_1 = 0$ — выходная проводимость при разомкнутом входе.

Существуют и другие системы параметров четырехполюсника. В частности, уравнениям четырехполюсника, в которых за независимые переменные принимаются выходной ток \dot{I}_2 и выходное напряжение \dot{U}_2 , соответствует система a -параметров

$$\left. \begin{aligned} \dot{U}_1 &= a_{11} \dot{U}_2 - a_{12} \dot{I}_2; \\ \dot{I}_1 &= a_{21} \dot{U}_2 - a_{22} \dot{I}_2. \end{aligned} \right\} \quad (30)$$

Для этой системы

$$a_{11} = \frac{\dot{U}_1}{\dot{U}_2} \text{ при } \dot{I}_2 = 0,$$

$$a_{12} = \frac{\dot{U}_1}{\dot{I}_2} \text{ при } \dot{U}_2 = 0;$$

$$a_{21} = \frac{\dot{I}_1}{\dot{U}_2} \text{ при } \dot{I}_2 = 0;$$

$$a_{22} = \frac{\dot{I}_1}{\dot{I}_2} \text{ при } \dot{U}_2 = 0.$$

Знание a -параметров транзисторов с общим эмиттером и общей базой, входящих в состав каскодного усилителя, позволяет определить a -параметры каскодного усилителя. Существуют достаточно простые зависимости, связывающие a -параметры двухкаскадного усилителя с a -параметрами отдельных транзисторных каскадов. Для каскодного усилителя:

$$\left. \begin{aligned} a_{11c} &= a_{11\alpha} a_{11\beta} + a_{12\alpha} a_{21\beta}; \\ a_{12c} &= a_{11\alpha} a_{12\beta} + a_{12\alpha} a_{22\beta}; \\ a_{21c} &= a_{21\alpha} a_{11\beta} + a_{22\alpha} a_{21\beta}; \\ a_{22c} &= a_{21\alpha} a_{12\beta} + a_{22\alpha} a_{22\beta}. \end{aligned} \right\} \quad (31)$$

a -параметры транзисторного каскада с общим эмиттером и каскада с общей базой, входящие в формулы (31), могут быть найдены по известным y -параметрам:

$$\left. \begin{aligned} a_{11} &= -\frac{y_{22}}{y_{21}}; \\ a_{12} &= -\frac{1}{y_{21}}; \\ a_{21} &= -\frac{y_{11}y_{22} - y_{12}y_{21}}{y_{21}}; \\ a_{22} &= -\frac{y_{11}}{y_{21}}. \end{aligned} \right\} \quad (32)$$

Следовательно, можно определить a -параметры каскодного усилителя по известным y -параметрам составляющих усилителей (с общим эмиттером и общей базой) путем подстановки значений (32) в формулы (31). В результате получим:

$$\left. \begin{aligned} a_{11c} &= \frac{y_{22\beta} (y_{22\alpha} + y_{11\beta}) - y_{12\beta} y_{21\beta}}{y_{21\alpha} y_{21\beta}}; \\ a_{12c} &= \frac{y_{22\alpha} + y_{11\beta}}{y_{21\alpha} y_{21\beta}}; \\ a_{21c} &= \frac{y_{11\alpha} y_{22\beta} (y_{22\alpha} + y_{11\beta}) - y_{12\alpha} y_{21\alpha} y_{22\beta} - y_{11\alpha} y_{12\beta} y_{21\beta}}{y_{21\alpha} y_{21\beta}}; \\ a_{22c} &= \frac{y_{11\alpha} (y_{22\alpha} + y_{11\beta}) - y_{12\alpha} y_{21\alpha}}{y_{21\alpha} y_{21\beta}}. \end{aligned} \right\} \quad (33)$$

y -параметры каскодного усилителя могут быть выражены через a -параметры по обратным формулам связи, а именно.

$$\left. \begin{aligned} y_{11} &= \frac{a_{22}}{a_{12}}; \\ y_{12} &= -\frac{a_{11} a_{22} - a_{12} a_{21}}{a_{12}}; \\ y_{21} &= -\frac{1}{a_{12}}; \\ y_{22} &= \frac{a_{11}}{a_{12}}. \end{aligned} \right\} \quad (34)$$

Теперь выразим y -параметры каскодного усилителя через y -параметры составляющих усилителей

$$\left. \begin{aligned} y_{11c} &= \frac{y_{11g}(y_{22g} + y_{11g}) - y_{12g}y_{21g}}{y_{22g} + y_{11g}}; \\ y_{12c} &= \frac{-y_{12g}y_{21g}}{y_{22g} + y_{11g}}; \\ y_{21c} &= \frac{-y_{21g}y_{12g}}{y_{22g} + y_{11g}}; \\ y_{22c} &= \frac{y_{22g}(y_{22g} + y_{11g}) - y_{21g}y_{12g}}{y_{22g} + y_{11g}}. \end{aligned} \right\} \quad (35)$$

Эти выражения для y -параметров каскадного усилителя можно упростить, используя соотношения между y -параметрами транзистора, включенного по схеме с общим эмиттером и общей базой, $y_{11g} \gg y_{22g}$, $y_{11g} \gg y_{12g}$, $y_{11g} \approx -y_{21g}$.

Упрощенные выражения для y -параметров каскадного усилителя имеют вид:

$$\left. \begin{aligned} y_{11c} &\approx y_{11g}; \\ y_{12c} &\approx y_{12g} \frac{y_{12g}}{y_{21g}}; \\ y_{21c} &\approx y_{21g}; \\ y_{22c} &\approx y_{22g} - \frac{y_{21g}y_{12g}}{y_{11g}}. \end{aligned} \right\} \quad (36)$$

Выражения для y_{12c} и y_{22c} можно несколько видоизменить, если использовать связь между y -параметрами и h -параметрами:

$$\begin{aligned} y_{12c} &\approx y_{12g} h_{12g}; \\ y_{22c} &\approx h_{22g}. \end{aligned}$$

Последняя величина очень мала.

Таким образом, уже из рассмотрения y -параметров каскадного транзисторного усилителя следует, что входная проводимость каскадного усилителя практически равна входной проводимости усилителя с общим эмиттером, проводимость y_{21} (т. е. «крутизна») также практически не изменяется. Резко (на несколько порядков) уменьшается внутренняя обратная связь. Выходная проводимость каскадного усилителя при короткозамкнутом входе равна выходной проводимости усилителя с общей базой при разомкнутом входе.

Для каскадного усилителя с учетом проводимости нагрузки y_n и выходной проводимости источника сигнала y_g можно определить входную и выходную проводимости, а также коэффициенты усиления по току и по напряжению.

Входная проводимость равна:

$$y_{вх} = y_{11c} - \frac{y_{12c}y_{21c}}{y_{22c} + y_n}.$$

Ввиду малости произведения $y_{12c}y_{21c}$ вторым слагаемым в последней формуле обычно можно пренебречь. Тогда

$$y_{вх} \approx y_{11c} \approx y_{11g}.$$

Выходная проводимость каскадного усилителя

$$y_{вых} = y_{22c} - \frac{y_{12c}y_{21c}}{y_{11c} + y_g} \approx y_{22c} \approx h_{22g}.$$

Коэффициент усиления по напряжению

$$K_n = -\frac{y_{21c}}{y_{22c} + y_n} \approx -\frac{y_{21g}}{h_{22g} + y_n}.$$

Коэффициент усиления по току

$$K_T = \frac{y_{21c}y_n}{y_{11c}y_{22c} - y_{12c}y_{21c} + y_{11c}y_n} \approx \frac{y_{21g}y_n}{y_{11g}(h_{22g} + y_n)}.$$

Максимально достижимый коэффициент усиления по мощности каскадного усилителя обычно в несколько раз больше, чем усилителя (каскада) с общим эмиттером. К тому же реализовать большое усиление в усилителе с общим эмиттером не удастся из-за ограничений, связанных с обеспечением устойчивости.

Поскольку проводимость обратной связи в каскадном усилителе оказывается уменьшенной на несколько порядков, то этим достигается повышение устойчивости работы. В большинстве практических случаев каскадные усилители на транзисторах не требуют никакой дополнительной нейтрализации и устойчиво работают в широком диапазоне частот. К тому же у каскадного усилителя уменьшается величина выходной проводимости, что обеспечивает возможность полного включения контура в цепь коллектора. Следует также отметить, что из-за малости величин y_{22c} и y_{12c} уменьшается влияние режимов работы каскадного усилителя по постоянному току на добротность и резонансную частоту нагрузочного контура. По этим же причинам каскадные усилители с ручной и автоматической регулировкой усиления имеют преимущества по сохранению частоты настройки контуров и их частотных характеристик во всем динамическом диапазоне регулирования.

Значения максимально возможного устойчивого коэффициента усиления каскадного усилителя можно получить из анализа условий баланса фаз и баланса амплитуд. Усилитель можно считать абсолютно устойчивым (в смысле отсутствия опасности генерации), если при выполнении условия баланса фаз не выполняется условие баланса амплитуд. Однако в более широком смысле под устойчивостью каскадного усилителя на транзисторах, так же как это было принято выше для лампового каскадного усилителя, следует понимать не только отсутствие самовозбуждения, но и отсутствие влияния выходных цепей на настройку входных цепей. Поэтому в данном случае, так же как и в случае лампового каскадного усилителя, необходимо ввести коэффициент устойчивости k_y , характеризующий, насколько далеко нормальный режим работы усилителя от порога самовозбужде-

ния. Величина k_y так же, как и раньше, выбирается в пределах 0,8—0,9.

Приведем без вывода формулу для максимального допустимого коэффициента усиления

$$K_{н. макс} \leq \sqrt{2(1-k_y) \frac{|y_{21c}|}{|y_{12c}|} \frac{1}{1+\cos\theta}}, \quad (37)$$

где $|y_{21c}|$ — модуль комплексной проводимости y_{21c} .

Если выразить комплексную проводимость y_{21c} через действительную (активную) и мнимую (реактивную) составляющие, т. е.

$$y_{21c} = g_{21c} + jb_{21c},$$

то

$$|y_{21c}| = \sqrt{g_{21c}^2 + b_{21c}^2}.$$

Аналогично

$$|y_{12c}| = \sqrt{g_{12c}^2 + b_{12c}^2}.$$

Фазовый угол θ зависит от соотношения действительной и мнимой составляющих комплексной величины y_{12c} и y_{21c} , а именно:

$$\theta = \arctg \frac{b_{12c}}{g_{12c}} + \arctg \frac{b_{21c}}{g_{21c}} = \theta_{12c} + \theta_{21c}.$$

Фазовые углы θ_{12c} и θ_{21c} соответственно проводимостей y_{12c} и y_{21c} можно легко измерить. Поскольку величина $\cos\theta$, входящая в выражение (37), может изменяться от -1 до 1 , то при этом минимальное значение дробей под корнем составляет 0,5. Поэтому для качественной оценки выигрыша, который дает применение каскадного усилителя в самом худшем случае, т. е. при $\cos\theta = 1$, надо сравнить значения модулей проводимостей каскадного усилителя y_{21c} и y_{12c} с аналогичными величинами для других типов усилителей.

Поскольку, как уже отмечалось выше, $y_{21c} \approx y_{21э}$, а $y_{12c} \approx y_{12э} \frac{y_{12б}}{y_{21б}}$, то, чтобы оценить выигрыш, необходимо установить, во сколько раз y_{12c} меньше $y_{12э}$. Для этого воспользуемся формулами связи между y -параметрами, относящимися к двум различным способам включения транзисторов:

$$y_{11б} = y_{11э} + y_{12э} + y_{21э} + y_{22э};$$

$$y_{12б} = -y_{12э} - y_{22э};$$

$$y_{21б} = -y_{21э} - y_{22э};$$

$$y_{22б} = y_{22э}.$$

Таким образом, соотношение y_{12c} и $y_{12э}$ можно определить как

$$y_{12c} = y_{12э} \frac{y_{12э} + y_{22э}}{y_{21э} + y_{22э}}.$$

Поскольку обычно $y_{21э} \gg y_{12э}$, то отсюда и получается выигрыш. Так, например, по приведенным выше значениям активной составляющей y -параметров транзистора с общим эмиттером можно грубо оценить порядок величины y_{12c} на низких частотах:

$$y_{12c} = (0,001 - 0,01) y_{12э}.$$

При такой оценке допустимый устойчивый коэффициент усиления каскадного усилителя в 10—30 раз больше, чем усилителя с общим эмиттером.

Чтобы вычислить точное значение выигрыша по устойчивому коэффициенту усиления, который дает каскадная схема, и абсолютное

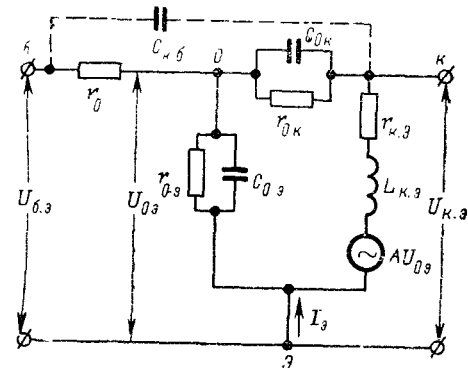


Рис. 18. П-образная моделирующая схема транзистора.

значение максимально допустимого коэффициента усиления на определенной частоте, требуется определить комплексные значения параметров $y_{12э}$, $y_{22э}$ и $y_{21э}$ либо путем непосредственного измерения их на этой частоте, либо рассчитав их по известным параметрам эквивалентной моделирующей схемы транзистора.

Моделирующие схемы транзистора отражают его свойства в диапазоне частот. Наиболее полно в широком диапазоне частот отражает свойства транзистора П-образная эквивалентная моделирующая схема. Эта схема, изображенная на рис. 18, справедлива почти для всех типов транзисторов. На схеме:

- r_0 — объемное сопротивление базы ($r_0 \approx 10 \div 100 \text{ ом}$);
- $r_{0э}$ — параллельное сопротивление эмиттера ($r_{0э} \approx 100 \div 1000 \text{ ом}$);
- $C_{0э}$ — параллельная емкость эмиттера ($C_{0э} \approx 100 \div 10000 \text{ пф}$);
- $r_{0к}$ — сопротивление коллектора ($r_{0к} \approx 1 \div 10 \text{ Мом}$);
- $C_{0к}$ — емкость коллектора ($C_{0к} \approx 10 \div 50 \text{ пф}$);
- $C_{к.б}$ — междуэлектродная емкость коллектор—база (для маломощных транзисторов $C_{к.б} \approx 1 \text{ пф}$);
- A — безразмерный коэффициент, характеризующий усилительные свойства транзистора ($A \approx 100 \div 5000$);
- $r_{к.э}$ — сопротивление, моделирующее процесс диффузии неосновных носителей от эмиттера к коллектору ($r_{к.э} = 1000 - 10000 \text{ ом}$);

$L_{к.э}$ — индуктивность, моделирующая процесс диффузии неосновных носителей ($L_{к.э}$ равна единицам миллигенри).

Комплексное сопротивление $Z_{к.э} = r_{к.э} + j\omega L_{к.э}$ можно рассматривать согласно эквивалентной схеме на рис. 18 как внутреннее сопротивление эквивалентного генератора э.д.с. $AU_{0э}$. Формулы, выражающие y -параметры транзистора через параметры его моделирующей

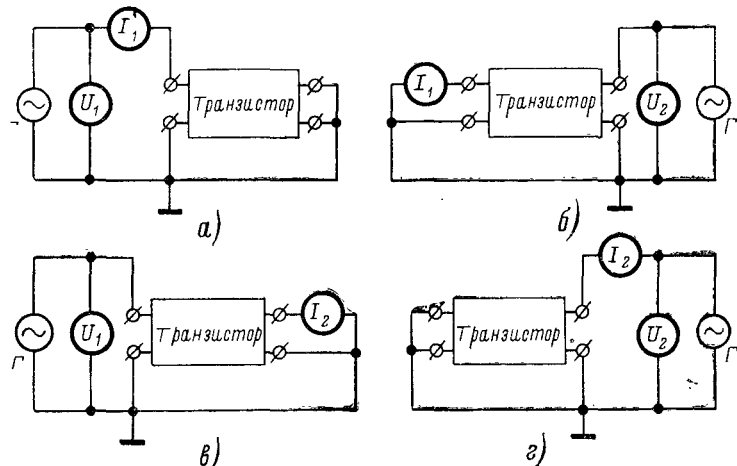


Рис. 19. Схемы для измерения y -параметров транзистора, измерение параметра:

а — для y_{11} ; б — для y_{12} ; в — для y_{21} ; г — для y_{22} ;

шей схемы, принимают удобный для расчета вид, если ввести понятие о некоторых характерных частотах:

$$f_s = \frac{1}{2\pi C_{0э} \frac{r_0 r_{0э}}{r_0 + r_{0э}}}; \quad f_\alpha = \frac{r_{к.э}}{2\pi L_{к.э}};$$

$$f_\beta = \frac{1}{2\pi C_{0э} r_{0э}}.$$

Проводимость $y_{11э}$ можно представить состоящей из активной и емкостной составляющих $y_{11э} = \frac{1}{r_{11э}} + i\omega C_{11э}$. Величины $r_{11э}$ и $C_{11э}$ частотно-зависимы. Их значения связаны с частотой и моделирующими параметрами транзистора:

$$r_{11э} = (r_{0э} + r_0) \frac{1 + \left(\frac{f}{f_s}\right)^2}{1 + \frac{r_{0э} + r_0}{r_0} \left(\frac{f}{f_s}\right)^2};$$

$$C_{11э} = \frac{1 - \frac{f_\beta}{f_s}}{2\pi f_s r_0}. \quad (38)$$

Проводимость $y_{21э}$ при расчетах удобнее выразить через ее модуль $|y_{21э}|$ и фазовый угол φ_s :

$$|y_{21э}| \approx \frac{A}{r_{к.э}} \frac{r_{0э}}{r_{0э} + r_0} \frac{1}{\sqrt{1 + \left(\frac{f}{f_s}\right)^2}};$$

$$\varphi_s \approx \arctg \left(-\frac{f}{f_s} \right).$$

Резкое уменьшение величины $|y_{21э}|$ начинается с частоты $f = f_s$; на которой $|y_{21э}| = \frac{1}{\sqrt{2}} g_{21э}$. Проводимость $y_{21э}$ может быть

представлена в виде проводимости последовательного соединения частотно-зависимых сопротивления $r_{21э}$ и индуктивности $L_{21э}$ причем

$$r_{21э} \approx \frac{r_{к.э}}{A} \frac{r_{0э} + r_0}{r_{0э}};$$

$$L_{21э} \approx \frac{r_{21э}}{2\pi f_s}. \quad (39)$$

Проводимость $y_{22э}$ можно представить в виде параллельного соединения частотно-зависимых активного сопротивления $r_{22э}$ и емкости $C_{22э}$. Аналогичной схемой может быть представлена и проводимость $y_{12э}$.

Таким образом, зная моделирующие (собственные) параметры, которые не зависят от схемы включения, можно определить расчетным образом y -параметры транзистора. Следует подчеркнуть, что y -параметры можно достаточно просто определить экспериментально на рабочей частоте. Режим короткого замыкания на входе или выходе транзистора, который необходимо создать для измерения y -параметров, легко осуществляется замыканием переменной составляющей входного или выходного тока через достаточно большую емкость.

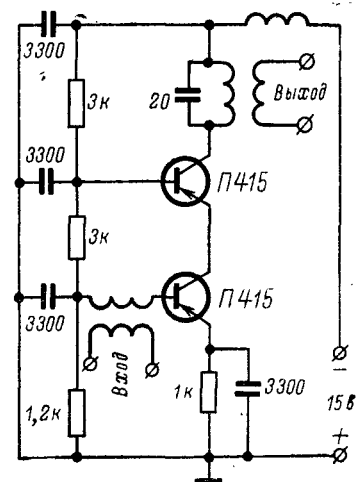


Рис. 20. Схема каскодного усилителя на транзисторах.

Схемы для определения характеристических проводимостей y_{11} , y_{12} , y_{21} и y_{22} показаны на рис. 19, а, б, в, г соответственно. Напряжения источников сигнала должны быть настолько малы, чтобы транзистор работал в линейном режиме.

По найденным для определенной частоты y -параметрам можно по формуле (37) найти абсолютную величину максимально допустимого коэффициента усиления по напряжению $K_{н.макс}$ для каскадного усилителя. Результаты таких расчетов, имеющиеся в литературе, показывают, что при $k_y=0,8$ для транзисторов П401—П403 в режиме по постоянному току $U_k=-6$ в, $I_k=3$ ма, на частоте 0,5 Мгц величина $K_{н.макс}=1000$, а на частоте 5 Мгц $K_{н.макс}=150$. Точно в таком же режиме и на тех же транзисторах усилитель с общим эмиттером имеет на частоте 0,5 Мгц $K_{н.макс}=30$ и на частоте 5 Мгц $K_{н.макс}=10$.

Одна из практических схем резонансного каскадного усилителя приведена на рис. 20. Схема выполнена на транзисторах П415 и работает на частоте 30 Мгц без дополнительной нейтрализации. Ток эмиттера каждого транзистора равен 2,5 ма. Составляющие входных и выходных сопротивлений для каждой схемы имеют следующие значения: $R_{вх}=100 \div 400$ ом; $C_{вх}=15 \div 100$ пф; $R_{вых}=5 \div 20$ ком; $C_{вых}=10 \div 18$ пф.

ГЛАВА ВТОРАЯ

ПРИМЕНЕНИЕ КАСКОДНЫХ УСИЛИТЕЛЕЙ

10. УСИЛИТЕЛЬ ВЫСОКОЙ ЧАСТОТЫ ТЕЛЕВИЗИОННОГО ПРИЕМНИКА

В гл. I (рис. 6) приводилась схема резонансного каскадного усилителя. Такая схема может быть положена в основу схем усилителей высокой и промежуточной частоты радиоприемных устройств. Ниже будут рассмотрены конкретные схемы, применяемые в различной радиоприемной аппаратуре.

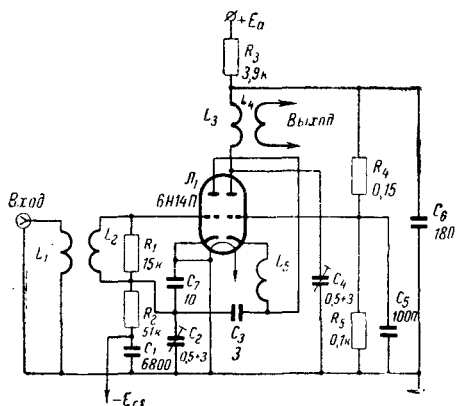


Рис. 21. Схема каскадного усилителя высокой частоты телевизионного приемника.

В современных телевизорах, обладающих высокой чувствительностью, сигнал из антенны обычно поступает на каскадный усилитель высокой частоты. Конструктивно каскадный усилитель размещается в блоке переключателя телевизионных каналов.

На рис. 21 приведена принципиальная схема

каскадного усилителя высокой частоты в переключателе телевизионных каналов ПТК-1, выполненного на двойном триоде 6Н14П. Триоды этой лампы включены и по постоянному, и по переменному току последовательно. При переключении диапазонов катушки L_1 , L_2 , L_3 и L_4 включаются в схему барабанным переключателем (на схеме он не показан). Смещение на сетку левого (по схеме) триода лампы подается от регулятора контрастности. Напряженные смещения на сетке правого триода зависят от соотношения сопротивлений R_4 и R_5 . Связь с антенной — индуктивная. Сеточный контур зашунтирован сопротивлением R_1 . Емкость контура составляют емкости лампы и монтажа.

Конденсаторы C_2 и C_3 вместе с межуэлектродными емкостями $C_{а.с}$ и $C_{с.к}$ левого триода лампы образуют мост, в одну диагональ которого включена катушка L_2 , а в другую участок анод — катод этого триода. При сбалансированном мосте происходит нейтрализация емкости $C_{а.с}$. Это повышает устойчивость усилителя, а также устраняет просачивание напряжения гетеродина из выходной цепи лампы в антенную цепь.

Катушка L_5 настраивается в резонанс с распределенными емкостями на частоту примерно 140 Мгц так, чтобы выравнивать усиление на первом и двенадцатом телевизионных каналах. Контур, образованный этой катушкой и распределенными емкостями, имеет очень тупую настройку из-за шунтирующего действия входного сопротивления правого триода лампы. Поэтому нет надобности в переключении катушки L_5 при переходе с одного диапазона на другой.

Индуктивность катушки L_5 определяется по формуле

$$L_5 = \frac{1}{4\pi^2 f_n^2 C_0},$$

где f_n — частота настройки контура;

$$C_0 = C_k + \frac{C_{вых1} C_{вх2}}{C_{вых1} + C_{вх2}};$$

C_k — распределенная емкость катушки;

$C_{вых1}$ — выходная емкость усилителя с заземленным катодом;

$C_{вх2}$ — входная емкость усилителя с заземленной сеткой.

Катушка L_3 совместно с конденсатором C_4 и распределенными емкостями образует выходной контур каскадного усилителя. Этот контур индуктивно связан с сеткой смесительной лампы, куда подается также напряжение гетеродина.

11. ШИРОКОПОЛОСНЫЙ УСИЛИТЕЛЬ ВЫСОКОЙ ЧАСТОТЫ С ПАРАЛЛЕЛЬНЫМ ВКЛЮЧЕНИЕМ ЛАМП ПО ПОСТОЯННОМУ ТОКУ

Принципиальная схема усилителя приведена на рис. 22. По высокой частоте триоды J_1 и J_2 включены последовательно, т. е. переменная составляющая анодного тока их одна и та же. Поэтому все свойства каскадного усилителя, рассмотренные ранее, в равной степени относятся и к данной схеме. Особенностью же этой схемы является то, что по постоянному току лампы J_1 и J_2 включены парал-

тельно. Это позволяет применять источник анодного питания, имеющий в 2 раза меньшее напряжение. Использование в схеме триодов с большой крутизной позволяет понизить шумы.

Сигнал от входного высокочастотного разьема подается через разделительный конденсатор C_1 на часть катушки L_1 . Последняя совместно с емкостями схемы настроена на резонансную частоту. Авто-трансформаторное включение катушки позволяет согласовать сеточный контур с источником входного сигнала, исходя из условия ми-

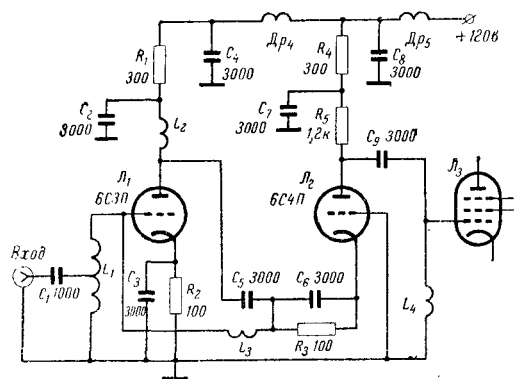


Рис. 22. Схема каскодного усилителя с параллельным включением ламп по постоянному току.

нимума шумов. Полоса пропускания сеточного контура определяется входным сопротивлением лампы L_1 ; эквивалентным сопротивлением потерь катушки L_1 , а также пересчитанным сопротивлением источника входного сигнала (в данном случае пересчитывается волновое сопротивление коаксиального кабеля).

Лампа L_1 нагружена на низкое входное сопротивление лампы L_2 . Катушка L_2 настраивается с распределенными емкостями на усиливаемую частоту. Контур, состоящий из катушки L_3 и проходной емкости $C_{a.c}$ лампы L_1 , настраивается на резонансную частоту. Этим несколько повышается устойчивость первого каскада на лампе L_1 . Кроме того, катушка L_3 служит для того, чтобы замкнуть катод лампы L_2 на землю по постоянному току.

Режим ламп L_1 и L_2 устанавливается выбором напряжений анодного питания и смещения. В данной схеме смещение как на сетке лампы L_1 , так и на сетке лампы L_2 образуется за счет катодного тока соответствующей лампы.

Анодной нагрузкой лампы L_2 служит контур, образованный катушкой L_4 и распределенными емкостями. Контур по высокой частоте зашунтирован сопротивлением R_5 , которое выбирается, исходя из требуемой полосы пропускания.

12. УСИЛИТЕЛЬ ДЛЯ АНТЕННОЙ ПРИСТАВКИ

При дальнем приеме телевидения часто используются антенные усилители, располагаемые рядом с антенной. Поступающий на антенный усилитель сигнал усиливается и затем по кабелю подается на телевизор. На рис. 23 показана схема антенной приставки, выполненная на каскодных усилителях. Применение каскодного усилителя на входе, непосредственно после антенны, позволяет повысить от-

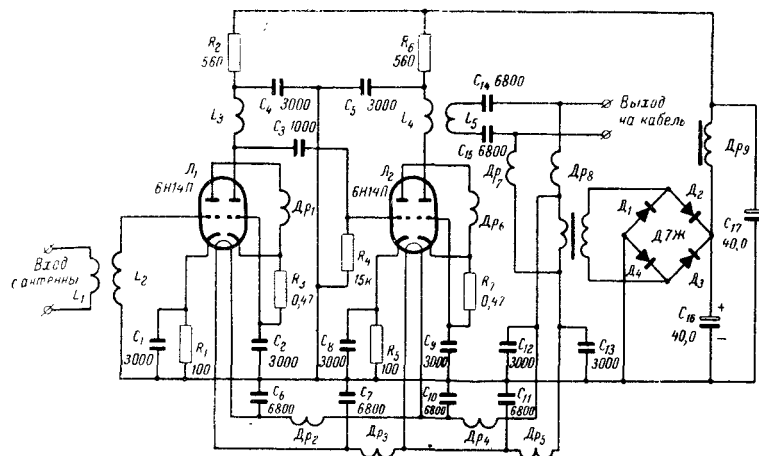


Рис. 23. Схема каскодного усилителя для антенной приставки.

ношение сигнал/шум и тем самым увеличить дальность приема телевизионных программ.

К особенностям этой схемы следует отнести способ получения напряжения смещения на сетках правых (по схеме) триодов ламп. Небольшое отрицательное смещение образуется благодаря элементам R_3C_2 и R_7C_9 , включенным в сеточные цепи ламп.

Питание приставки осуществляется по тому же двухпроводному кабелю, по которому высокочастотный сигнал подается с приставки на телевизор. На приставку по этому кабелю подается напряжение 6,3 в частотой 50 гц. На обоих концах кабеля производится разделение сигнала высокой частоты и напряжения питания.

13. ОСНОВНЫЕ ОСОБЕННОСТИ КАСКОДНЫХ УСИЛИТЕЛЕЙ НИЗКОЙ ЧАСТОТЫ

Возможность получения в каскодном усилителе очень большого усиления при малом уровне собственных шумов используется и в усилителях низкой частоты. Полоса пропускания каскодного усилителя, как и обычного, определяется величиной суммарной емкости,

подключенной параллельно анодной цепи, и сопротивлением анодной нагрузки. Относительно узкая полоса частот, которые необходимо усилить для неискаженного воспроизведения музыки и речи (всего около 15 кГц), позволяет увеличивать сопротивление анодной нагрузки, величина которого может достигать значений $R_H > R_{i3}$. В гл. было показано, что в этом случае усиление каскодного усилителя близко к максимально возможному, т. е. к μ_3 .

В усилителях низкой частоты, особенно в тех, у которых высокоомный вход, важное значение имеет входная емкость. В случае наличия в анодной цепи чисто активной нагрузки динамическая проводимость лампы приобретает чисто емкостный характер. Для триодного усилителя с заземленным катодом на основании зависимостей (18) и (19) можно получить следующее выражение входной емкости, обусловленной связью через емкость $C_{a.c}$:

$$C'_{вх1} = C_{a.c} (1 + K).$$

При больших коэффициентах усиления входная емкость у триодных усилителей может достигать сотен пикофард. У каскодного же усилителя первый триод работает с коэффициентом усиления, близким к единице. Поэтому для каскодного усилителя величина $C'_{вх1}$ значительно уменьшается и равна:

$$C'_{вх1} = 2C_{a.c}.$$

Эти особенности объясняют широкое применение каскодных усилителей в микрофонных каскадах и предварительных усилительных каскадах каналов воспроизведения магнитной записи, т. е. в усилителях, работающих при очень низких уровнях входного сигнала. Как известно, такие усилители должны обладать наибольшим возможным усилением при наименьшем уровне собственных шумов.

Каскодные усилители находят применение и в электронных стабилизаторах напряжения. Применение в них каскодных схем позволяет существенно улучшить параметры электронного стабилизатора напряжения.

Фактически каскодный усилитель имеет два независимых элемента управления: сетки первого и второго триодов. Это позволяет использовать каскодные схемы в усилителях с двойным управлением и в избирательных усилителях, значительно расширяя их возможности. Наконец, многочисленные видоизменения основной схемы каскодного усилителя в сочетании с возможностью двойного управления обладают особыми свойствами, характерными лишь для этих схем.

Примеры практического применения различных каскодных усилителей низкой частоты, их параметры и особенности приводятся ниже.

14. МИКРОФОННЫЙ УСИЛИТЕЛЬ

Характерные особенности каскодного усилителя наиболее полностью используются в микрофонных каскадах и предварительных усилителях каналов воспроизведения магнитной записи, отличающихся очень низким уровнем входного сигнала. Каскодный входной уси-

тель позволяет обеспечить в этом случае превышение сигнала над шумом, достаточное для высококачественного воспроизведения звука.

Принципиальная схема и расчет низкочастотных каскодных усилителей практически не отличаются от высокочастотных. Полная принципиальная схема каскодного микрофонного усилителя приведена на рис. 24. Усилитель предназначен для работы с динамическим микрофоном и имеет полный коэффициент усиления 51 дБ.

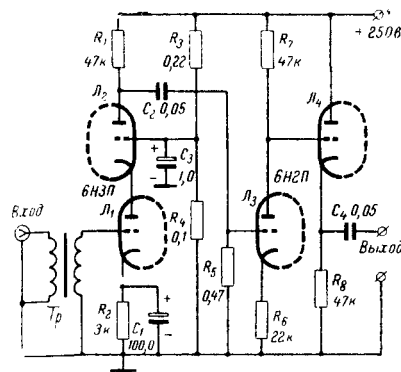


Рис. 24. Схема микрофонного каскодного усилителя.

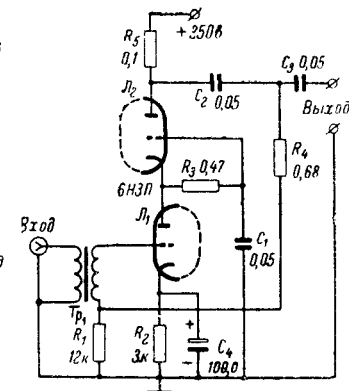


Рис. 25. Схема микрофонного каскодного усилителя с отрицательной обратной связью.

Недостатком этой схемы является применение фиксированного смещения триода L_2 . При изменении параметров лампы изменяется и ее режим. Этот недостаток может быть устранен применением автоматического смещения, создаваемого сеточным током триода L_2 на сопротивлении R_3 (рис. 25). По напряжению сигнала сетка этого триода заземлена через конденсатор C_1 .

Для повышения линейности усилителя и расширения его динамического диапазона может быть введена отрицательная обратная связь. Напряжение обратной связи подается с анодной нагрузки триода L_2 через делитель напряжения $R_1 R_4$ на сетку триода L_1 .

К конструкции микрофонных каскодных усилителей предъявляются требования, аналогичные требованиям к обычным входным каскадам, работающим при низком уровне входного сигнала: тщательный монтаж, экранировка входных цепей, предохранение ламп от вибраций для предотвращения микрофонного эффекта и т. п.

15. УСИЛИТЕЛЬ ПОСТОЯННОГО ТОКА С ОЧЕНЬ БОЛЬШИМ УСИЛЕНИЕМ

В ряде электронных схем бывает необходимо получить очень высокие значения коэффициента усиления при достаточной устойчивости работы усилителя. Например, от величины коэффициента усиле-

ния управляющего усилителя зависит выходное сопротивление, а следовательно, и эффективность работы электронного стабилизатора напряжения. Величина выходного сопротивления стабилизатора определяется выражением

$$R_{\text{вых}} = \frac{1}{S_{\text{п}} K},$$

где $S_{\text{п}}$ — крутизна характеристики последовательной лампы; K — коэффициент усиления управляющей лампы.

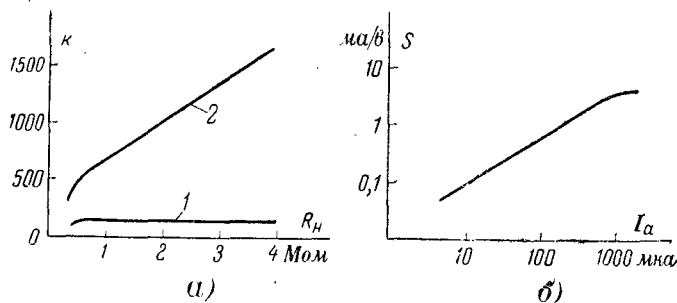


Рис. 26. Характеристики каскодного усилителя.

а — зависимость коэффициента усиления от сопротивления нагрузки; б — зависимость крутизны от анодного тока.

Типовой усилитель на пентоде в этой схеме имеет коэффициент усиления $K=100$ и при крутизне характеристики последовательной лампы $S=5$ ма/в выходное сопротивление стабилизатора $R_{\text{вых}}=2$ ом.

Как видно из формулы (11), усиление каскодного усилителя увеличивается с увеличением анодной нагрузки. Однако беспредельно увеличивать сопротивление анодной нагрузки нельзя. Дело в том, что напряжение анодного питания управляющего усилителя имеет постоянную величину, равную выходному напряжению стабилизатора. Поэтому при увеличении сопротивления анодной нагрузки уменьшается анодный ток триодов каскодного усилителя.

Но с уменьшением анодного тока триода уменьшается значение его крутизны. Поэтому при увеличении сопротивления анодной нагрузки триода J_2 сверх некоторого предела усиление каскада перестает расти (кривая 1 на рис. 26, а). Сказанное подтверждается рис. 26, б, на котором показана статическая крутизна триода от анодного тока, снятая при очень малых значениях последнего.

Коэффициент усиления каскодного усилителя с очень большим сопротивлением анодной нагрузки может быть повышен путем увеличения крутизны характеристики триода J_1 . Для этого, как следует из рис. 26, б, необходимо увеличить ток триода. В схеме каскодного усилителя, изображенной на рис. 27, увеличение анодного тока триода J_1 достигается подключением его анода через добавочное сопротивление R_2 к источнику анодного питания.

Параметры S и R_i триода изменяются при изменении анодного тока, однако их произведение, равное μ , остается постоянным. Это означает, что в случае применения в каскодной схеме одинаковых триодов, когда токи их различны, соотношения между параметрами этих триодов будут следующими:

$$R_{i1} \neq R_{i2}; \quad S_1 \neq S_2; \quad \mu_1 = \mu_2 = \mu.$$

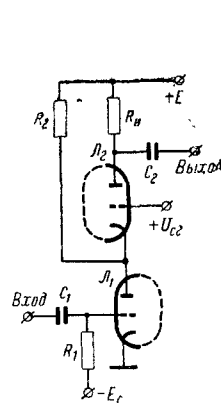


Рис. 27. Каскодный усилитель с увеличенным током лампы J_1 .

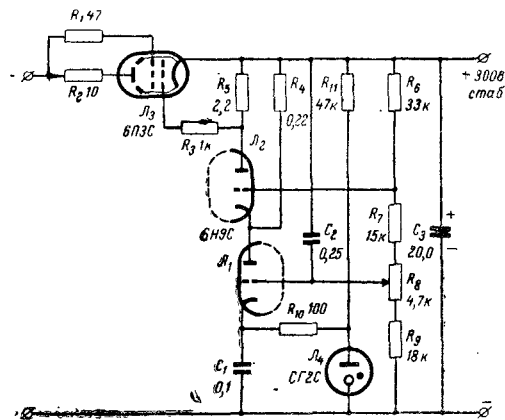


Рис. 28. Электронный стабилизатор напряжения с каскодным управляющим усилителем

В этом случае формула (8) для коэффициента усиления каскодного усилителя приобретает вид:

$$K = \frac{\mu(\mu+1)R_n}{R_n + R_{i1}(\mu+1) + R_{i2}} \approx \frac{\mu^2 R_n}{R_n + R_{i1}\mu + R_{i2}}.$$

Разделив числитель и знаменатель правой части этого выражения на μR_{i1} , убеждаемся, что коэффициент усиления каскодной схемы прямо пропорционален крутизне первого триода:

$$K \approx \frac{S_1 R_n}{1 + \frac{R_n + R_{i2}}{\mu R_{i1}}} \quad (40)$$

Результаты экспериментального исследования усиления каскодного усилителя с увеличенным током триода J_1 приведены на рис. 26, а (кривая 2). Если в обычном каскодном усилителе при увеличении нагрузочного сопротивления от 200 ком до 4 Мом усиление оставалось примерно постоянным, приблизительно равным 100 (кривая 1), то в схеме с добавочным током триода J_1 усиление с ростом нагрузки непрерывно растет и достигает значения 1700 при сопротивлении анодной нагрузки 4 Мом. При снятии обеих характе-

ристик, изображенных на рис. 26, а, режим триода J_2 выбирался таким, чтобы падение напряжения на сопротивлении анодной нагрузки оставалось постоянным.

Полная схема электронного стабилизатора напряжения, в котором в качестве управляющего усилителя использована каскодная схема с очень высоким коэффициентом усиления, показана на рис. 28. Стабилитрон J_4 , подключенный к катоду лампы J_1 , служит для создания опорного напряжения. Падение напряжения на стабилитроне постоянно и практически не зависит от колебаний напряжения питания. Часть выходного напряжения электронного стабилизатора снимается с делителя напряжения R_6R_9 и подводится к сетке лампы J_1 . Между сеткой и катодом этой лампы оказывается приложенной разность опорного напряжения и напряжения, снимаемого с делителя.

Сопротивления делителя напряжения выбираются так, чтобы разностное напряжение было равно напряжению смещения лампы J_1 в рабочей точке. Падение напряжения на анодной нагрузке R_5 является напряжением смещения лампы J_3 в ее рабочей точке. При отклонении величины выходного напряжения электронного стабилизатора от заданного значения между сеткой и катодом лампы J_1 оказывается приложенным напряжение, отличающееся на величину ΔU от начального смещения. Обычно ΔU называют сигналом ошибки. Усиленный каскодным усилителем сигнал ошибки прикладывается к сетке лампы J_3 , изменяя ее внутреннее сопротивление. Соответственно изменяется и выходное напряжение стабилизатора.

Очевидно, что чем больше усиление каскодного усилителя, тем при меньших значениях сигнала ошибки происходит изменение внутреннего сопротивления лампы J_3 , достаточное для компенсации этого сигнала ошибки, т. е. тем выше стабильность выходного напряжения электронного стабилизатора.

Стабилитрон, являющийся источником опорного напряжения, обладает достаточно большим внутренним сопротивлением. На этом сопротивлении, включенном между катодом лампы J_1 и землей, создается за счет анодного тока лампы J_1 отрицательная обратная связь, что приводит к уменьшению коэффициента усиления управляющего усилителя по переменному току. Для устранения обратной связи стабилитрон блокируется конденсатором C_1 . Чтобы исключить возможность возникновения релаксационных колебаний, к которым склонны схемы со стабилитроном, между стабилитроном и конденсатором C_1 включено сопротивление R_{10} .

При сопротивлении анодной нагрузки каскада $R_5=2,2 \text{ Мом}$ и полной емкости в сеточной цепи лампы J_3 относительно земли, равной 32 нф , полоса пропускания управляющего усилителя (при неравномерности амплитудно-частичной характеристики, равной 3 дб) составляет $2,5 \text{ кгц}$.

В связи с высоким коэффициентом усиления управляющего усилителя серьезное внимание обращается на его защищенность от наводок переменного тока. Как показала практика, шумов на выходе каскодного усилителя с очень высоким коэффициентом усиления определяются в первую очередь наводками на сетку лампы J_1 . Уменьшение фона шумов достигается тщательным выполнением монтажа элементов и соединений сеточной цепи лампы J_1 и применением относительно низкоомного делителя на сопротивлениях R_6R_9 . Конденсатор C_2 шунтирует верхнее плечо делителя напряжения, повышая

его коэффициент передачи на высших рабочих частотах. При выполнении всех мер предосторожности уровень шума на выходе управляющего усилителя, обусловленного наводками из цепей накала на сетку первой лампы и собственными шумами усилителя, не превышает $100-200 \text{ мкв}$.

Выходное сопротивление электронного стабилизатора напряжения с каскодным управляющим усилителем составляет $0,5 \text{ ом}$ для по-

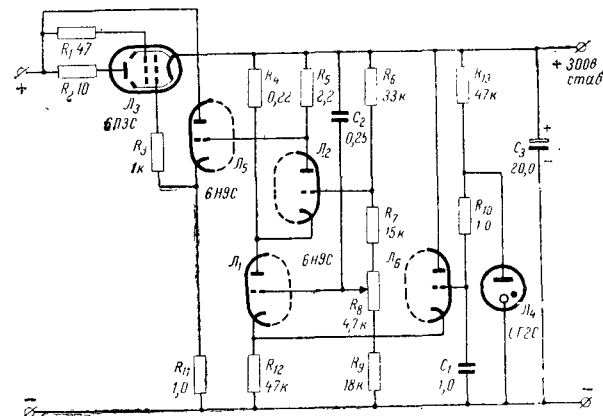


Рис. 29. Улучшенная схема электронного стабилизатора напряжения.

стоянного тока и уменьшается до $0,2 \text{ ом}$ для частот до 30 кгц в результате действия конденсаторов C_1 и C_3 .

Одним из недостатков приведенной на рис. 28 схемы электронного стабилизатора напряжения является узкая полоса пропускания управляющего усилителя. Она определяется значением шунтирующих анодную нагрузку каскодной схемы емкостей, из которых преобладающее значение имеет входная емкость мощной лампы J_3 . Во многих случаях вместо одной лампы J_3 включаются параллельно несколько одинаковых ламп. Тогда соответственно увеличивается и входная емкость.

Улучшение частотных свойств каскодного усилителя с высокоомной нагрузкой может быть получено введением катодного повторителя между анодной нагрузкой управляющего усилителя и сеткой последовательной лампы. Модифицированная схема электронного стабилизатора показана на рис. 29.

Как известно, входная емкость катодного повторителя на триоде, равная

$$C_{вх} \approx C_{с.а} + C_{с.к} (1 - k_1),$$

значительно меньше входной емкости обычного усилительного каскада из-за введения отрицательной обратной связи (k_1 — коэффи-

ент передачи катодного повторителя, близкий к единице). В связи с тем, что коэффициент передачи катодного повторителя практически не зависит от колебаний напряжения анодного питания, анод лампы L_5 может быть соединен непосредственно с выпрямителем.

Рассматриваемый каскодный усилитель, являющийся практически усилителем постоянного тока, обладает общим для этих усилителей недостатком: его выходное напряжение зависит от напряжения питания накальных цепей. В рабочем режиме анодный ток лампы ограничен лишь потенциалами электродов. Изменение напряжения на нити накала приводит к изменениям среднего значения начальных скоростей эмиттируемых катодом электронов. Это вызывает соответствующее изменение анодного тока лампы при постоянных потенциалах электродов. Для обычного усилителя постоянного тока, где анодный ток мал по сравнению с током эмиссии катода, этот эффект практически не зависит от анодного напряжения. При колебаниях сетевого напряжения в пределах $\pm 10\%$ выходное напряжение стабилизатора по схеме на рис. 29 за счет изменения анодного тока в каскодной схеме меняется на $\pm 0,4$ в.

Для поддержания анодного тока постоянным может быть использована широко распространенная схема катодной компенсации. Установлено, что увеличение напряжения на подогревателе на 10% эквивалентно уменьшению потенциала катода на 100 мв. Это изменение можно компенсировать введением в цепь катода равного напряжения противоположного знака. Обычно компенсация осуществляется подключением к катоду лампы компенсируемого усилителя L_1 катода лампы L_6 , включенной по схеме катодного повторителя. В простейшем случае, когда лампы L_1 и L_6 заключены в один баллон и их параметры одинаковы, можно считать, что изменение напряжения на катодном сопротивлении ламп за счет тока лампы L_6 полностью компенсирует изменение тока в лампе L_1 .

Лампы L_1 и L_6 на рис. 29, выполненные в виде двойного триода, поставлены практически в одинаковый режим, так как опорное напряжение со стабилизатора L_4 , приложенное к сетке лампы L_6 , лишь на $1-1,5$ в отличается от напряжения, приложенного к сетке лампы L_1 . Высокоомный вход катодного повторителя с лампой L_6 позволил применить сглаживающий фильтр $R_{10}C_1$ с большой постоянной времени в цепи опорного напряжения при небольших значениях емкости фильтра.

В этой схеме при изменении напряжения сети в пределах $\pm 10\%$ выходное напряжение стабилизатора изменяется всего лишь на 70 мв при выходном напряжении 300 в.

16. ЭЛЕКТРОННЫЙ ИНТЕГРАТОР НАПЯЖЕНИЯ

Еще более жесткие требования стабильности предъявляются к усилителям постоянного тока, применяемым, например, в схеме электронного интегратора напряжения. Интегрирующие усилители, выходное напряжение которых пропорционально интегралу входного сигнала, получили широкое распространение в вычислительных устройствах, схемах точного измерения промежутков времени и пр. В частности, на том свойстве, что интегралом некоторой постоянной величины является линейно возрастающая функция, основано приме-

нение интегрирующих усилителей для получения пилообразного напряжения развертки с очень высокой линейностью для точных электронных приборов. Входным сигналом такого усилителя является по-

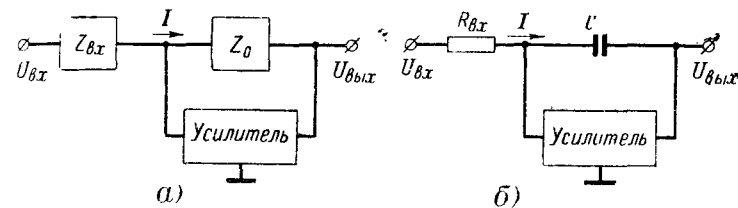


Рис. 30. Интегрирующий усилитель.

а — структурная схема усилителя с обратной связью; б — структурная схема интегрирующего усилителя.

стоянное напряжение. Линейность выходного напряжения интегратора зависит в первую очередь от стабильности усилителя постоянного тока.

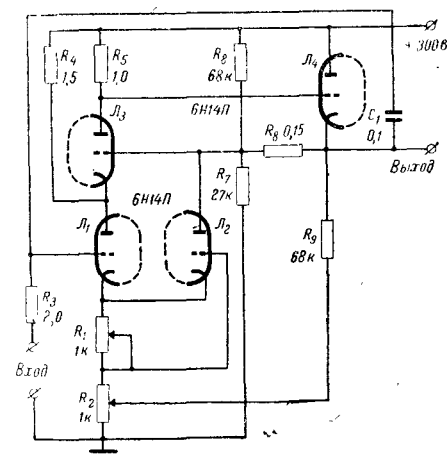


Рис. 31. Схема интегрирующего усилителя.

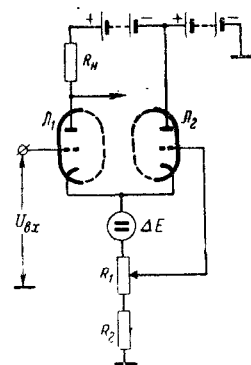


Рис. 32. Катодная компенсация нестабильности напряжения подогревателя.

Принцип работы интегрирующего усилителя следующий. Если в усилителе (рис. 30, а) создать очень сильную отрицательную обратную связь путем подачи его выходного напряжения на вход через цепь обратной связи Z_0 , то при очень большом коэффициенте усиления усилителя напряжение на входных зажимах усилителя остается практически постоянным при любых изменениях входного сигнала.

Это происходит потому, что любому изменению входного сигнала соответствует противодействующее изменение сигнала обратной связи, компенсирующее изменение напряжения на входе. Если входная цепь усилителя не потребляет тока, то выходное напряжение такого усилителя

$$U_{\text{вых}} = -IZ_0,$$

где Z_0 — сопротивление цепи обратной связи.

Если напряжение сигнала подается через последовательное сопротивление $R_{\text{вх}}$, а цепь отрицательной обратной связи образована конденсатором C (рис. 30, б), то выходное напряжение усилителя

$$U_{\text{вых}} = -\frac{1}{R_{\text{вх}} C} \int U_{\text{вх}} dt, \quad (41)$$

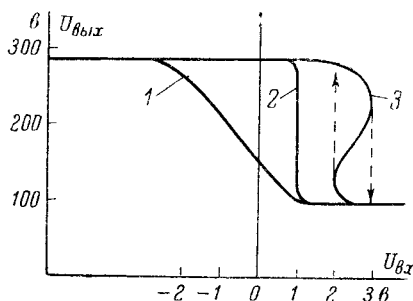


Рис. 33. Выходные характеристики интегрирующего усилителя.

т. е. входное напряжение такого усилителя пропорционально интегралу по времени от напряжения сигнала.

Принципиальная схема интегрирующего усилителя приведена на рис. 31. Повышенные требования к стабильности усилителя при колебаниях напряжения накала заставляют несколько усложнить схему катодной компенсации (рис. 32). Здесь эффект изменения эмиссии катода при колебаниях напряжения накала воспроизведен генератором напряжения ΔE , включенным последовательно с катодом. Компенсация напряжения ΔE достигается падением напряжения на сопротивлении R_2 за счет тока компенсирующей лампы. Эта схема верна при условии, что ток лампы L_1 во мно. о раз меньше тока лампы L_2 и падение напряжения на сопротивлении R_2 определяется в основном током лампы L_2 . Сопротивление R_2 выбирается из условия

$$R_2 = \frac{k}{S_2},$$

где k — коэффициент пропорциональности;
 S_2 — крутизна характеристики лампы L_2 .

Если лампы L_1 и L_2 имеют одинаковые параметры, то $k=1$ и $R_2=1/S$.

Точность выполнения равенства (41) в интегрирующем усилителе тем выше, чем больше коэффициент усиления усилителя постоянного тока. Ошибка интегрирования равна нулю при бесконечно большом усилении. Это условие и определяет необходимость применения в интегрирующем усилителе каскодной схемы. Здесь показан еще один метод повышения усиления путем введения положительной об-

ратной связи. Напряжение ее вводится из катодной цепи лампы L_4 в катодную цепь лампы L_1 и регулируется сопротивлением R_2 .

Выходные характеристики интегрирующего усилителя с положительной обратной связью приведены на рис. 33. Без положительной обратной связи (кривая 1) характеристика выходного напряжения имеет относительно малую крутизну. Кривая 2 относится к случаю оптимальной регулировки положительной обратной связи, когда коэффициент усиления каскодной схемы (и, следовательно, крутизна выходной характеристики) бесконечно велик. В этом случае соблюдается условие точного интегрирования, и усилитель линейно работает во всем динамическом диапазоне, достигающем 175 в. При слишком сильной положительной обратной связи (кривая 3) появляется участок с отрицательным углом наклона. Схема становится склонной к релаксационным колебаниям.

При использовании лишь части динамического диапазона усилителя (20—50 в) настройка положительной обратной связи для получения «бесконечного» усиления не критична и допускает небольшие отклонения от точной установки сопротивления R_2 .

17. САМОБАЛАНСИРУЮЩИЙСЯ КАСКОДНЫЙ ФАЗОИНВЕРТОР

Наличие в каскодном усилителе двух управляющих сеток позволяет производить раздельную регулировку анодного тока по каждой из сеток. Эта возможность двойного управления, позволяющая эффективно изолировать цепи сигнала и обратной связи, широко используется при создании усилителей с положительной или отрицательной обратной связью избирательных усилителей и т. п.

Из выражения (8) следует, что коэффициент усиления каскодной схемы относительно сетки лампы L_1 (нижней) в случае одинаковых ламп

$$K_{c1} = \frac{\mu(\mu+1)R_n}{R_n + (\mu+2)R_i} \approx SR_n. \quad (42)$$

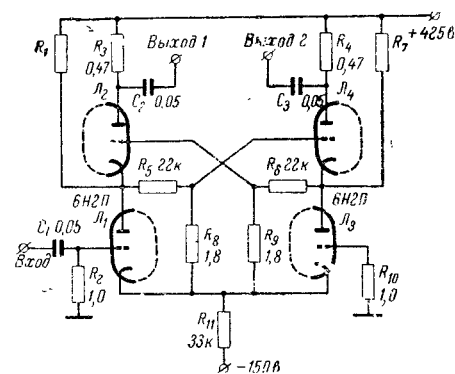


Рис. 34. Самобалансирующийся фазоинвертор с перекрестными связями.

Относительно сетки лампы L_2 (верхней) коэффициент усиления

$$K_{c2} = \frac{\mu R_n}{R_n + (\mu+2)R_i}, \quad (43)$$

т. е. примерно в μ раз меньше, чем K_{c1} . Назначение и особенности усилителя определяют, на какую из сеток (более чувствительную или менее чувствительную) подается основной сигнал и на какую подается сигнал обратной связи.

В избирательных и частотно-корректиру-

щих усилителях, где необходимо получить большое усиление в цепи обратной связи, для основного сигнала обычно используется сетка лампы L_2 . В обычных же усилительных каскадах с обратной связью основной сигнал подается на сетку L_1 , а для введения обратной связи используется сетка лампы L_2 .

На рис. 34 приведена схема самобалансирующегося фазоинверсного каскада. Здесь возможность управления по сетке лампы L_2 используется для автоматической балансировки схемы. Для этого введены перекрестные связи по постоянному току сеток ламп L_2 и L_4 с катодами. Сохранение динамического диапазона фазоинверсного каскада и полосы пропускания при одновременном увеличении коэффициента усиления достигается увеличением анодного тока триодов L_1 и L_3 путем введения сопротивлений R_1 и R_7 .

Выполненный по приведенной на рис. 34 схеме усилитель позволяет получить на выходе двухтактное напряжение сигнала с амплитудой 100 в. Коэффициент усиления схемы около 500.

18. ИЗБИРАТЕЛЬНЫЙ КАСКОДНЫЙ УСИЛИТЕЛЬ

Из всех схем избирательных усилителей наибольшее распространение получили схемы с двойным Т-образным мостом в цепи отрицательной обратной связи. Они отличаются простотой, легкостью настройки и стабильностью параметров. Обычно избирательный

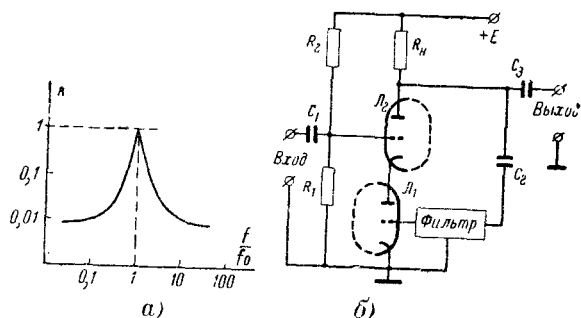


Рис. 35. Каскодный избирательный усилитель.
а — характеристика избирательности; б — принципиальная схема.

мост, обладающий частотной характеристикой, внешне напоминающей характеристику резонансного контура, включается между анодом и сеткой усилительного каскада. Частотная характеристика такого избирательного усилителя приведена на рис. 35, а.

Эквивалентная «добротность» усилителя с двойным Т-образным мостом, называемая обычно его качеством,

$$Q_3 = \frac{f_0}{2\Delta f} \approx \frac{K+1}{4}, \quad (44)$$

где K — коэффициент усиления каскада без цепи обратной связи.

Как видно из этой формулы, избирательность усилителя зависит от его коэффициента усиления. Сочетание в каскодном усилителе таких качеств, как высокий коэффициент усиления и возможность двойного управления, позволяет создать на его основе избирательный усилитель с весьма высокой избирательностью.

Из формул (42) и (43) видно, что для достижения высокого качества сигнала обратной связи следует подавать на сетку лампы L_1 . Разделение цепей обратной связи и сигнала, который подается на

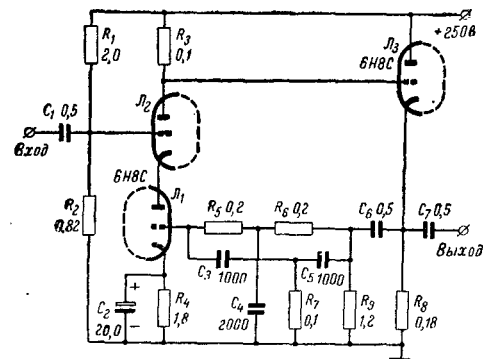


Рис. 36. Каскодный усилитель с высокой избирательностью.

сетку лампы L_2 , также способствует повышению избирательности усилителя за счет устранения шунтирующего действия цепи сигнала на избирательный мост. Общая схема избирательного каскодного усилителя приведена на рис. 35, б. Эквивалентная добротность такого усилителя подсчитывается по формуле

$$Q_3 \approx \frac{S_1 R_H + 1}{4} \approx \frac{S_1 R_H}{4}. \quad (45)$$

Пример практической схемы избирательного каскодного усилителя приведен на рис. 36. Повышение эквивалентной добротности в этой схеме достигается также развязкой анодной нагрузки усилителя и избирательного моста посредством катодного повторителя на лампе L_3 . Высокое входное сопротивление катодного повторителя позволило повысить сопротивление анодной нагрузки каскодной схемы. Помимо буферного действия катодного повторителя, его применение также полезно с точки зрения понижения сопротивления источника сигнала для избирательного моста. Схема рассчитана на выделение сигналов частоты $f_0 = 800$ гц.

19. ВИДОИЗМЕНЕННЫЕ СХЕМЫ КАСКОДНОГО УСИЛИТЕЛЯ

Существует большое количество различных видоизменений основной схемы каскодного усилителя. Приобретая новые свойства и параметры, эти видоизменения зачастую теряют некоторые свойства,

характерные для каскодной схемы. Например, такое изменение каскодной схемы, в которой выходной сигнал снимается не с анода лампы Π_2 , а с анода лампы Π_1 , позволяет получить свойства, характерные для анодного повторителя.

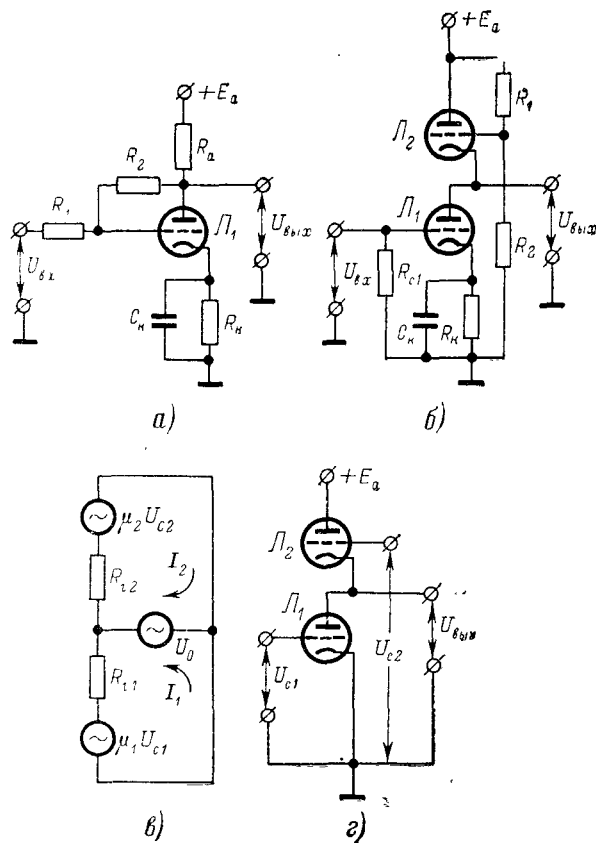


Рис. 37. Видоизменения основной схемы каскодного усилителя.

а — анодный повторитель; б — каскодный анодный повторитель; в — эквивалентная схема каскодного анодного повторителя; г — дифференциальный усилитель.

Анодный повторитель, схема которого приведена на рис. 37, а, характеризуется относительно низким выходным сопротивлением и коэффициентом передачи напряжения (коэффициентом усиления), близким к единице. От катодного повторителя анодный повторитель отличается в основном тем, что в нем происходит переворот фазы передаваемого сигнала. Основным недостатком анодного повторите-

ля является низкое входное сопротивление, обусловленное шунтирующим действием цепи параллельной обратной связи по напряжению (через сопротивление R_2).

На рис. 37, б приведена схема анодного повторителя каскодного типа, которая отличается значительно большим входным сопротивлением и лучшим коэффициентом передачи напряжения благодаря отсутствию в этой схеме цепи параллельной обратной связи. На низких частотах входное сопротивление определяется в основном сопротивлением R_{c1} утечки сетки входной лампы, величина которого может достигать нескольких мегом. На основании эквивалентной схемы каскодного анодного повторителя (рис. 37, в) можно написать уравнения контурных токов I_1 и I_2 . Полагая

$$U_{c1} = U_{вх} = 0, \text{ имеем } U_{c2} = -\mu U_{c1} + I_1 R_i = I_1 R_i.$$

Тогда

$$I_1 = \frac{U_0}{R_{i1}},$$

$$I_2 = \frac{U_0 + \mu_2 U_{c2}}{R_{i2}} = \frac{U_0 (1 + \mu_2)}{R_{i2}}.$$

При условии применения одинаковых ламп, когда $R_{i1} = R_{i2} = R_i$ и $\mu_1 = \mu_2 = \mu \gg 2$, можно записать выражение для выходного сопротивления схемы

$$r_{\text{вых}} = \frac{R_i}{\mu + 2} \approx \frac{1}{S}.$$

Для определения коэффициента передачи принимаем $U_{вх} \neq 0$. Тогда можно записать следующую систему уравнений:

$$\mu_1 U_{c1} + \mu_2 U_{c2} = I_a (R_{i1} + R_{i2});$$

$$U_{\text{вых}} = I_a R_{i1} - \mu_1 U_{c1};$$

$$U_{c1} = U_{вх};$$

$$U_{c2} = -U_{\text{вых}}.$$

Отсюда

$$I_a = \frac{(1 + \mu_2) (\mu_1 U_{вх})}{R_{i1}(1 + \mu_2) + R_{i2}} = \frac{U_{вх} \mu_1}{R_{i1} + \frac{R_{i2}}{1 + \mu_2}},$$

а так как

$$K = \frac{U_{\text{вых}}}{U_{вх}},$$

то выражение для коэффициента передачи имеет следующий вид:

$$K = -\frac{\mu_1 R_{i2}}{R_{i2} + R_{i1} + \mu_2 R_{i1}}. \quad (46)$$

В случае применения ламп с одинаковыми параметрами это выражение упрощается:

$$K = -\frac{\mu}{\mu+2} \approx -1.$$

Знак минус перед выражением показывает, что в схеме происходит переворот фазы сигнала на 180° .

Дальнейшее видоизменение этой схемы может идти по пути введения управления по сетке лампы \mathcal{L}_2 (рис. 37, г). Такая схема явля-

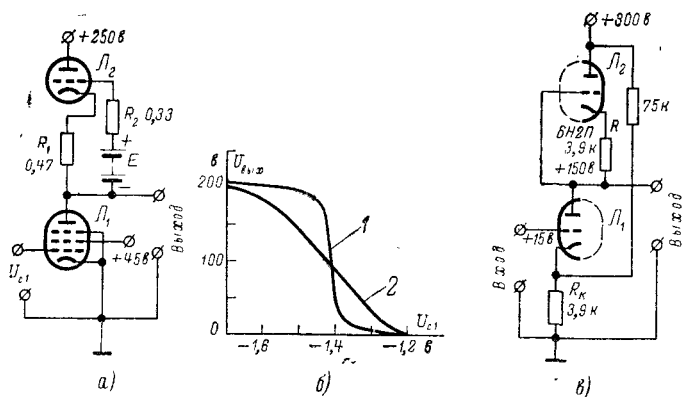


Рис. 38. Усилитель с постоянным анодным током.

а — принципиальная схема; б — выходные характеристики; в — схема с компенсацией дрейфа.

ется фактически дифференциальным усилителем. Ее выходное напряжение в общем случае определяется следующим выражением:

$$U_{\text{вых}} = \frac{\mu_2 R_{i1} U_{c2} - \mu_1 R_{i2} U_{c1}}{R_{i2} (1 + \mu_2) + R_{i1}}. \quad (47)$$

Для случая одинаковых ламп \mathcal{L}_1 и \mathcal{L}_2 это выражение принимает вид:

$$U_{\text{вых}} = \frac{\mu}{\mu+2} (U_{c2} - U_{c1})$$

или, при выполнении условия $\mu \gg 2$,

$$U_{\text{вых}} \approx (U_{c2} - U_{c1}).$$

С возможностью двойного управления связано вообще большое количество видоизменений основной каскодной схемы. К таким видоизменениям можно отнести и схемы с обеспечением постоянного анодного тока усилителя, и схемы с компенсацией дрейфа за счет колебаний напряжения подогревателя, обладающие свойством весьма большой широкополосности.

Схема с постоянным анодным током усилителя, иллюстрирующая еще одну возможность повышения коэффициента усиления, приведена на рис. 38, а. Как уже упоминалось, возможность повышения усиления в узкополосных усилителях путем увеличения сопротивления анодной нагрузки ограничена предельным значением напряжения источника питания E_a . Однако, если выходное напряжение снимать с анода лампы \mathcal{L}_1 , а лампу \mathcal{L}_2 использовать в качестве нагрузки, то получаются совершенно новые свойства. В этом случае лампа \mathcal{L}_2 , работая катодным повторителем, воспроизводит на катоде напряжение дополнительной батареи E , включенной между ее катодом и сеткой. Формула для анодного тока такой схемы может быть записана в следующем виде:

$$I_a = \frac{E_a - U_{a1} + \mu_2 E}{R_{i2} + (\mu_2 + 1) R_1}. \quad (48)$$

Таким образом, лампа \mathcal{L}_2 эквивалентна сопротивлению

$$R' = R_{i2} + (\mu_2 + 1) R_1, \quad (49)$$

присоединенному к эквивалентному источнику анодного питания напряжением

$$E'_a = E_a + \mu_2 E. \quad (50)$$

Это означает, что напряжение источника питания как бы увеличивается на $\mu_2 E$. Соответственно может быть увеличен и коэффициент усиления схемы.

В приведенной на рис. 38, а схеме используются пентод \mathcal{L}_1 и триод \mathcal{L}_2 . Выходные характеристики этого усилителя (кривая 1) и обычного пентодного усилителя (кривая 2) приведены на рис. 38, б. В пентодном усилителе, анодной нагрузкой которого служит триод, усиление достигает 7000, в то время как в обычном пентодном усилителе максимальное усиление не превышает 600.

В отличие от описанной схемы с постоянным анодным током в очень похожей на нее схеме усилителя постоянного тока с компенсацией нестабильности напряжения накала нет источника смещения лампы \mathcal{L}_2 . Однако и здесь (рис. 38, в) лампа \mathcal{L}_2 выполняет функцию нагрузочного сопротивления для усилительной лампы \mathcal{L}_1 . Схема эта не позволяет получить высокие значения усиления из-за ограниченной величины напряжения анодного питания, так как фиктивного повышения напряжения питания за счет дополнительного источника (как в предыдущей схеме) в ней нет. Интересен этот усилитель тем, что изменение анодного тока усилительной лампы \mathcal{L}_1 из-за колебаний напряжения подогревателя не вызывает в нем изменения постоянного потенциала анода лампы \mathcal{L}_1 .

Если обе лампы обладают одинаковыми параметрами и сигнал на сетку лампы \mathcal{L}_1 не подается, то при условии равенства катодных сопротивлений лампы ($R=R_k$) напряжение на выходе

$$U_{o1} = \frac{E_a}{2}.$$

$$I_1 (2R_i + R_{k2}) + I_2 R_i = \mu (U_{вх} + U_{c2}),$$

где

$$U_{c2} = -I_1 R_{k2}.$$

Тогда

$$I_1 [2R_i + (1 + \mu) R_{k2}] + I_2 R_i = \mu U_{вх}. \quad (53)$$

Для верхнего контура уравнение имеет вид:

$$I_1 R_i + I_2 (R_i + R_n) = \mu U_{c2} = \mu (-I_1 R_{k2}).$$

Его можно преобразовать следующим образом:

$$I_1 (R_i + \mu R_{k2}) + I_2 (R_i + R_n) = 0. \quad (54)$$

Решая совместно уравнения (53) и (54), получаем выражение для тока I_2 :

$$I_2 = - \frac{\mu U_{вх} (R_i + \mu R_{k2})}{R_i^2 + R_{k2} R_i + (1 + \mu) R_{k2} R_n + 2 R_i R_n}. \quad (55)$$

С другой стороны, коэффициент усиления схемы определяется выражением

$$K = \frac{U_{вых}}{U_{вх}} = \frac{I_2 R_n}{U_{вх}}.$$

Подставив в него уравнение (55), получим значение коэффициента усиления усилителя с динамической анодной нагрузкой:

$$K = \frac{U_{вых}}{U_{вх}} = - \frac{R_i}{R_n} \frac{\mu (R_i + \mu R_{k2})}{(R_i + R_{k2}) + (1 + \mu) R_{k2} + 2 R_i}. \quad (56)$$

Для сравнения можно напомнить, что коэффициент усиления обычного лампового усилителя определяется уравнением

$$K = \frac{\mu R_n}{R_i + R_n}. \quad (57)$$

Найдем теперь выражение для выходного сопротивления усилителя. Эквивалентная схема для этого приведена на рис. 40, б. Для определения выходного сопротивления предполагается, что вход усилителя короткозамкнутый, а к выходным зажимам усилителя подключен источник переменного напряжения $U_r = U_{вых}$. Тогда выходное сопротивление равно отношению напряжения, развиваемого генератором, к отдаваемому генератором току.

Уравнение (53) для контурных токов большого контура при этом принимает следующий вид:

$$I_1 (2R_i + R_{k2}) + I_2 R_i = \mu U_{c2},$$

так как $\mu U_{c1} = 0$.

После преобразований и при условии $U_{c2} = -I_1 R_{k2}$ получаем выражение

$$I_1 [2R_i + (1 + \mu) R_{k2}] + I_2 R_i = 0. \quad (58)$$

Для верхнего контура эквивалентной схемы можно записать:

$$\begin{aligned} I_1 R_i + I_2 R_i &= \mu U_{c2} = -U_r; \\ I_1 (R_i + \mu R_{k2}) + I_2 R_i &= -U_r. \end{aligned} \quad (59)$$

В результате совместного решения уравнений (58) и (59) после преобразований получаем:

$$I_2 = - \frac{U_r [2R_i + (1 + \mu) R_{k2}]}{R_i (R_i + R_{k2})}.$$

Выходное сопротивление $R_{вых} = U_r / -I_2$ (знак минуса перед I_2 означает, что направление этого тока противоположно току от источника U_r при указанной на схеме полярности его включения) в этом случае определяется уравнением

$$R_{вых} = \frac{R_i (R_i + R_{k2})}{2R_i + (1 + \mu) R_{k2}}. \quad (60)$$

На рис. 41, а приведены построенные по уравнениям (56) и (57) кривые зависимости коэффициента усиления K от сопротивления нагрузки R_n для различных значений R_{k2} . Из этих кривых видно, что при малых нагрузочных сопротивлениях коэффициент усиления усилителя с динамической анодной нагрузкой превышает коэффициент усиления обычного усилителя в несколько раз. Например, при $R_n = 1 \text{ ком}$ и $R_{k2} = 560 \text{ ом}$ выигрыш в коэффициенте усиления составляет 2,75.

На рис. 41, б показана зависимость выходного сопротивления $R_{вых}$ усилителя с динамической анодной нагрузкой от величины сопротивления R_{k2} . Кривая построена по уравнению (60). Из нее видно, что, например, при $R_{k2} = 560 \text{ ом}$ выходное сопротивление равно 1,1 ком, что в 5 раз меньше выходного сопротивления обычного усилителя с теми же параметрами.

Анализ усилителя с динамической анодной нагрузкой с учетом паразитных и междueleктродных емкостей в схеме позволяет определить его полосу пропускания. Такой анализ весьма громоздок. В качестве примера можно указать, что при $R_{k2} = 560 \text{ ом}$ и $R_n = 1 \text{ ком}$ полоса пропускания усилителя с динамической анодной нагрузкой на лампе 6НЗП ($\mu = 35$, $R_i = 5,8 \text{ ком}$) равна 4,95 Мгц.

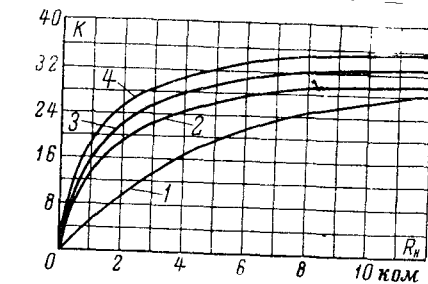
Из кривых на рис. 41, а можно найти, что коэффициент усиления для этих же условий $K = 16,8$. Таким образом, произведение $K \Delta f$ усилителя с динамической анодной нагрузкой равно 83 Мгц. В тех же условиях произведение $K \Delta f$ обычного усилителя (при $K = 6$) составляет около 30 Мгц.

На рис. 41, в приведены кривые зависимости произведения $K\Delta f$ от емкости нагрузки C_H для усилителя с динамической анодной нагрузкой и для аналогичного ему обычного усилителя. Усилитель с динамической анодной нагрузкой обеспечивает выигрыш до 80% при $C_H = 15$ пф и 200% при $C_H = 55$ пф.

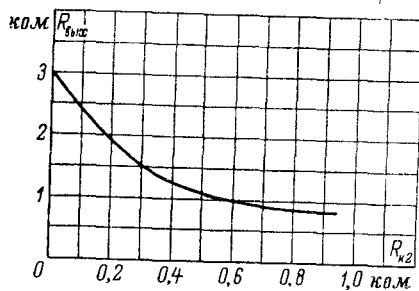
Для достижения наибольшего значения произведения $K\Delta f$ следует увеличивать коэффициент усиления схемы, т. е. увеличивать сопротивление R_{K2} . Это сопровождается уменьшением полосы пропускания. Однако скорость увеличения коэффициента усиления превышает скорость уменьшения полосы пропускания, так что R_{K2} целесообразно выбирать возможно большим. Но при увеличении R_{K2} увеличивается смещение на лампу L_2 , что приводит к уменьшению ее тока, т. е. к уменьшению μ и S . Для сохранения высоких значений μ и S лампы L_2 следует одновременно с увеличением R_{K2} увеличивать и анодное напряжение лампы. Таким образом, предел увеличения R_{K2} определяется максимально допустимым анодным напряжением для этой лампы.

Из рис. 41, в видно, что усилитель с динамической анодной нагрузкой целесообразно применять в схемах, где паразитная емкость определяется в основном емкостью нагрузки. Когда же последняя становится одного порядка величины с междоэлектродными емкостями, преимущества этого усилителя незначительны.

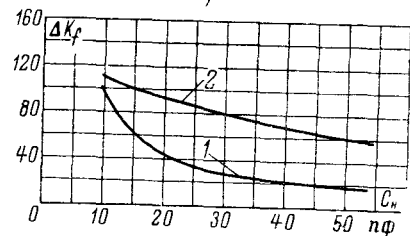
Одно из наиболее характерных применений усилителя с динамической анод-



а)



б)



в)

Рис. 41. Характеристики усилителя с динамической анодной нагрузкой на лампе 6НЗП ($\mu=35$, $R_I=5,8$ ком).

а — зависимость коэффициента усиления от R_H (1 — для обычного усилителя; 2 — при $R_{K2}=360$ ом; 3 — при $R_{K2}=560$ ом; 4 — при $R_{K2}=820$ ом); б — зависимость выходного сопротивления от R_{K2} ; в — зависимость $K\Delta f$ от C_H для обычного усилителя (1) и для усилителя с динамической анодной нагрузкой (2) при $R_{K2}=560$ ом.

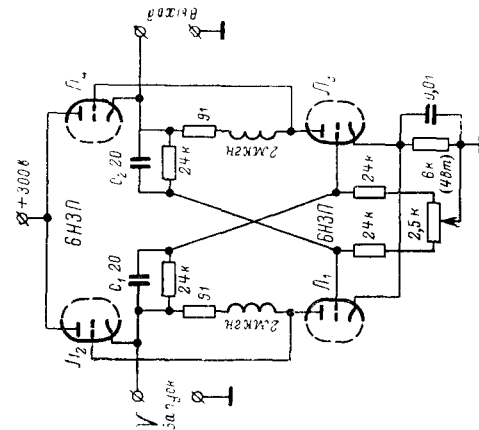


Рис. 43. Схема действующего триггера.

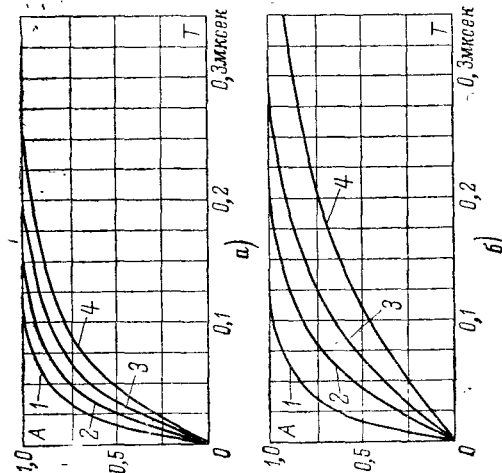


Рис. 42. Переходные характеристики усилителя с динамической анодной нагрузкой (а) и обычного усилителя (б) на лампе 6НЗП.

1 — при $C_H=5$ пф; 2 — при $C_H=15$ пф; 3 — при $C_H=30$ пф; 4 — при $C_H=55$ пф.

ной нагрузкой — в схемах быстродействующих триггеров. В этом случае наиболее наглядным параметром видеоусилителя, входящего в каждую из половин триггера, является время нарастания переднего фронта выходного импульса, которое пересчитывается в полосу пропускания усилителя

$$\Delta f = 0,35 \frac{1}{\tau_n}.$$

На рис. 42 приведены переходные характеристики усилителя с динамической анодной нагрузкой (а) и обычного усилителя (б), имеющих одинаковое значение коэффициента усиления. Характеристики показывают значительное увеличение времени нарастания у обычного усилителя при нагрузке, превышающей единицы пикофарад, что сопровождается в триггерах соответствующим уменьшением максимальной частоты их переключения.

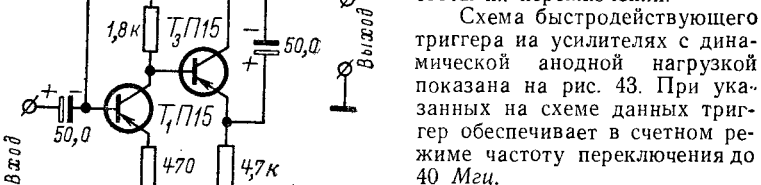


Рис. 44. Схема усилителя с динамической коллекторной нагрузкой.

соответственно). В соответствии с рис. 41, б выходное сопротивление каждого усилителя $R_{вых}$, величина которого определяет скорость перезаряда, уменьшается с увеличением $R_{кз}$. Для получения большего быстродействия без увеличения напряжения питания триггера последовательно с сопротивлением $R_{кз}$ включена катушка индуктивности, повышающая эффективное значение сопротивления между катодом и сеткой лампы L_2 (или L_4) на время переключения. В результате этого время нарастания в схеме уменьшено до 25 нсек.

В заключение можно сделать вывод, что применение усилителей с динамической анодной нагрузкой целесообразно при создании видеоусилителей с предельной величиной произведения $K\Delta f$. В усилителях со средним значением $K\Delta f$ такая схема позволяет применять в них вместо ламп с высокими значениями μ и S обычные лампы среднего качества, что значительно упрощает и удешевляет аппаратуру.

На рис. 44 приводится схема усилителя с динамической нагрузкой, выполненная на транзисторах. Чтобы уменьшить шунтирующее действие базы транзистора T_2 на коллектор транзистора T_1 , напряжение сигнала с коллектора T_1 подается на транзистор T_2 через эмиттерный повторитель на транзисторе T_3 .

ГЛАВА ТРЕТЬЯ

КАТОДНЫЕ ПОВТОРИТЕЛИ КАСКОДНОГО ТИПА

21. МОДИФИКАЦИЯ КАТОДНОГО ПОВТОРИТЕЛЯ

В современных электронных устройствах широко применяются усилительные каскады с катодной нагрузкой, выполняющие обычно функции согласования сопротивлений. Характерной особенностью таких каскадов является сравнительно высокое входное сопротивление, низкое выходное сопротивление и близкий к единице коэффициент передачи напряжения сигнала. Последнему свойству каскады с катодной нагрузкой обязаны своим названием «катодные повторители». Схема катодного повторителя приведена на рис. 45.

Обычно катодные повторители имеют входные сопротивления порядка 10^7 — 10^8 ом, выходные сопротивления порядка 10^2 — 10^3 ом и полосу пропускания от нуля до нескольких мегагерц. Коэффициент передачи напряжения достигает значений 0,8—0,9. В большинстве практических случаев каскад с такими параметрами позволяет успешно осуществить связь между устройствами с высоким выходным сопротивлением, не допуская заметных нагрузочных токов, и устройствами с низким входным сопротивлением. Основным недостатком согласующего каскада с катодной нагрузкой является то, что его коэффициент передачи не достигает единицы, т. е. при таком согласовании происходит потеря напряжения сигнала.

Из формулы для коэффициента передачи катодного повторителя, схема которого приведена на рис. 45,

$$K = \frac{\mu R_k}{R_i + (1 + \mu) R_k}, \quad (61)$$

где $R_k = R_1 + R_2$, видно, что K тем ближе к единице, чем большее значение принимает величина R_k при условии, что μ лампы значительно больше единицы. Это условие практически всегда выполняется, так как для большинства типов ламп μ имеет значения десятков и сотен. Вместе с этим увеличение R_k сопровождается возра-

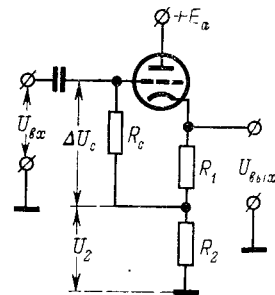


Рис. 45. Схема катодного повторителя.

станнем входного сопротивления $R_{вх}$ катодного повторителя на низких частотах, что вытекает из следующего выражения:

$$R_{вх} = R_c \frac{1}{1 - \frac{R_2}{(R_1 + R_2) \left[1 + \frac{1}{\mu} + \frac{1}{S(R_1 + R_2)} \right]}}. \quad (62)$$

Однако увеличение R_k до значений, превышающих несколько килоом, встречает ряд практических трудностей. Дело в том, что это сопротивление находится в цепи анодного тока лампы и ограничивает его величину. Увеличение R_k приводит к уменьшению максимального анодного тока, который может протекать через лампу. Для сохранения динамического диапазона каскада одновременно с увеличением R_k следует увеличивать и напряжение источника анодного питания. Эта мера позволяет в некоторых пределах скомпенсировать влияние увеличения R_k на режим каскада. Однако, когда R_k достигает значения сотен килоом, такой метод также становится неэффективным, так как в этом случае для получения достаточного максимального анодного тока необходимая величина напряжения анодного питания достигает таких значений, что начинает превышать допустимые для обычных ламп значения анодного напряжения.

С другой стороны, из формулы (62) вытекает, что при $\mu \gg 1$ и $S(R_1 + R_2) \gg 1$ величина входного сопротивления катодного повторителя $R_{вх}$ возрастает с увеличением отношения R_2/R_1 при заданном значении R_c и R_1 :

$$R_{вх} = R_c \left(1 + \frac{R_2}{R_1} \right). \quad (63)$$

Это объясняется следующим образом. Если $R_2 = 0$, то входное сопротивление катодного повторителя при низких частотах определяется практически величиной сопротивления R_c :

$$R_{вх} \approx R_c.$$

В том случае, когда сопротивление R_c нижним выводом подключено к точке между сопротивлениями R_1 и R_2 , к его нижнему выводу подводится напряжение выходного сигнала $U_{вх}$ катодного повторителя, уменьшенное вследствие деления его между сопротивлениями R_1 и R_2 до значения

$$U_2 = KU_{вх} \frac{R_2}{R_1 + R_2}.$$

Ток через сопротивление смещения R_c , определяющий величину входного сопротивления, обусловлен в этом случае не полным напряжением входного сигнала, а лишь его частью

$$\Delta U_c = U_{вх} - KU_{вх} \frac{R_2}{R_1 + R_2}.$$

Входной ток тем меньше (а входное сопротивление больше), чем больше напряжение U_2 и, следовательно, чем больше сопротивление R_2 по сравнению с R_1 .

Значительное увеличение сопротивления R_2 с целью повышения коэффициента передачи катодного повторителя и его входного сопротивления без указанных выше ограничений может быть достигнуто при замене этого сопротивления электронной лампой. При этом удачно используются свойства лампы пропускать значительные анодные токи в режиме покоя при одновременном высоком внутреннем динамическом ее сопротивлении. Таким образом, статическое сопротивление лампы, которое может быть сделано весьма низким, позволяет катодному повторителю работать при больших токах, т. е. с малым сопротивлением R_1 , в то время как динамическое сопротивление, достигающее у пентодов, например, сотен килоом, обеспечивает высокое значение сопротивления R_2 и чрезвычайно малую величину ΔU_c .

Схема двухлампового катодного повторителя, в котором роль катодной нагрузки играет одна из ламп, приведена на рис. 46. Применение в ней в качестве катодной нагрузки пентода обусловлено его весьма высоким внутренним сопротивлением. Замечательным свойством такого катодного повторителя является высокая линейность его выходной характеристики. Объясняется это тем, что величина μ многих триодов практически не зависит от напряжения между анодом и катодом триода при постоянстве его анодного тока. Это означает, что катодный повторитель будет иметь постоянный коэффициент передачи в значительном диапазоне изменений входного сигнала. Следовательно, если применить катодное сопротивление, обеспечивающее постоянство анодного тока триода, то задача повышения линейности будет решена.

В качестве лампы L_2 , обеспечивающей постоянство тока, может быть применен как пентод, так и триод. Преимуществом пентода является малая зависимость его анодного тока от напряжения между анодом и катодом. Величина анодного тока пентода определяется напряжением на его управляющей сетке (сопротивлением автоматического смещения на рис. 46) и потенциалом на экранирующей сетке. При большом динамическом диапазоне сигнала потенциал на экранирующей сетке должен иметь возможно меньшую величину, так как при уменьшении анодного напряжения до уровня напряжения на экранирующей сетке происходит перераспределение токов между цепью анода и цепью экранирующей сетки. Вследствие этого происходит заметное уменьшение анодного тока вслед за уменьшением анодного напряжения.

Применение для обеспечения постоянства тока в катодном повторителе триода позволяет получить значительно большую устойчивость схемы в отношении дрейфа, вызванного колебаниями напряжения подогревателя, чем в случае применения пентода. Это обус-

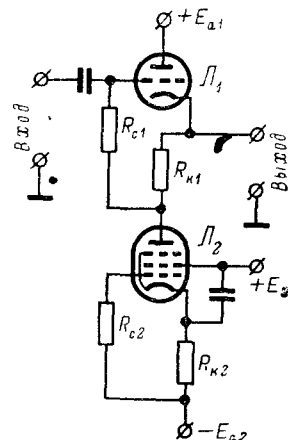


Рис. 46. Схема линейного катодного повторителя.

ловлено тем, что изменение напряжения подогревателя пентода сопровождается дрейфом напряжения сеточного смещения не только за счет изменения анодного тока, как в случае триода, но и за счет изменения тока экранирующей сетки.

В том случае, когда в качестве катодной нагрузки повторителя используется триод, уравнение его анодного тока может быть записано в следующем виде:

$$I_a = \frac{U_a + \mu U_c}{R_i + (1 + \mu) R_k},$$

если он работает в режиме малых сеточных токов, когда $U_a \gg U_c$. Тогда эквивалентное сопротивление триода, выполняющее функцию катодного сопротивления R_2 катодного повторителя,

$$R_{i2\theta} = R'_2 = R_{i2} + (1 + \mu_2) R_{k2}. \quad (64)$$

На рис. 47 показаны кривые, характеризующие отклонение выходной характеристики обычного катодного повторителя (1) и катодного повторителя с постоянным током (2) от линейной при изменении напряжения сигнала в широком диапазоне. Коэффициент передачи катодного повторителя с электронной лампой в качестве катодного сопротивления определяется выражением

$$K = \frac{1}{1 + \frac{1}{\mu_1} + \frac{1}{S_1 [R_{k2} (1 + \mu_2) + R_{i2}]}}.$$

Выходное сопротивление такого катодного повторителя, как и обычного, равно обратной величине крутизны характеристики лампы \mathcal{L}_1 :

$$R_{\text{вых}} \approx \frac{1}{S_1}. \quad (65)$$

Применение в качестве катодного сопротивления электронной лампы, обеспечивающей постоянство тока, имеет еще одно преимущество, особенно существенное в устройствах с большим количеством катодных повторителей, например в вычислительных машинах. Это преимущество — экономичность таких катодных повторителей. Дело в том, что при передаче обычным катодным повторителям больших положительных напряжений сильно возрастает потребляемая им мощность. Увеличение падения напряжения на катодном сопротивлении, сопровождающее передачу больших положительных напряжений, приводит к пропорциональному возрастанию тока через это сопротивление. Следовательно, возрастает и мощность, рассеиваемая сопротивлением. Этого можно было бы избежать, увеличивая сопротивление R_k пропорционально передаваемому напряжению. Тогда катодный повторитель нормально передавал бы положительные на-

пряжения значительной величины без большого увеличения мощности.

Функции такого регулируемого катодного сопротивления и выполняет электронная лампа, включенная вместо сопротивления R_k . Через нее протекает ток, величина которого не зависит от падения напряжения между ее анодом и катодом (в пределах рабочей области), т. е. не зависит от величины передаваемого катодным повторителем сигнала. В результате этого рассеиваемая катодным повторителем избыточная мощность уменьшается примерно на 30%.

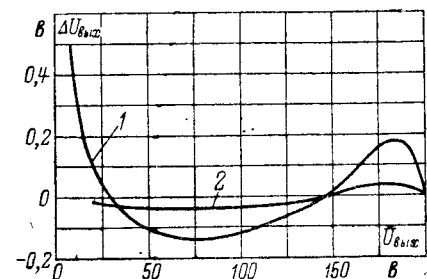


Рис. 47. Характеристики линейности.
1 — обычного катодного повторителя;
2 — сложного катодного повторителя.

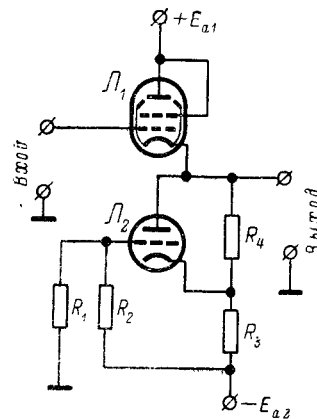


Рис. 48. Схема экономичного катодного повторителя.

Схема катодного повторителя с пониженным потреблением мощности приведена на рис. 48. Для уменьшения рассеиваемой лампой \mathcal{L}_2 мощности лампа шунтирована сопротивлением R_4 , отбирающим часть мощности. Это позволяет применить маломощную лампу. С делителя $R_1 R_2$ на сетку лампы \mathcal{L}_2 подается фиксированное напряжение смещения. Катод этой лампы соединен с делителем напряжения, составленным из сопротивлений R_3 и R_4 . Таким образом, потенциал катода лампы \mathcal{L}_1 изменяется относительно фиксированного потенциала сетки в соответствии с изменением выходного напряжения. Это позволяет дополнительно регулировать внутреннее сопротивление лампы \mathcal{L}_2 в соответствии с величиной выходного сигнала. При увеличении выходного напряжения увеличивается напряжение на катоде лампы \mathcal{L}_2 , так что ее анодный ток уменьшается пропорционально приросту тока через сопротивление R_3 и R_4 . Суммарный ток через лампу \mathcal{L}_2 и сопротивления R_3 и R_4 , являющийся катодным током лампы \mathcal{L}_1 , остается примерно постоянным.

Дальнейшее развитие принципа регулируемой синхронно с сигналом катодной нагрузки приводит к схеме катодного повторителя каскадного типа, являющегося практически двухкаскадным усилителем с общим электронным током, обладающим свойствами катодного повторителя. Дополнительные преимущества, характерные для каскадного катодного повторителя, достигаются тем, что здесь электронная лампа, выполняющая роль катодного сопротивления, одновре-

менно служит также усилителем обратной связи по сигналу, а во многих случаях выполняет функции основной лампы, работающей на нагрузку (например, при передаче отрицательных импульсов).

Ниже приводится анализ каскодного катодного повторителя, нашшего благодаря своим особым свойствам широкое применение в технике.

22. ОПРЕДЕЛЕНИЕ ПАРАМЕТРОВ КАСКОДНОГО КАТОДНОГО ПОВТОРИТЕЛЯ

Основная схема каскодного катодного повторителя приведена на рис. 49. Принцип работы его таков. Напряжение входного сигнала $U_{вх}$ подается на сетку лампы Λ_1 , работающей в режиме обычно-

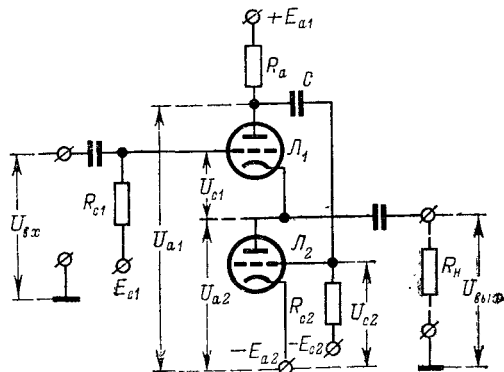


Рис. 49. Основная схема каскодного катодного повторителя.

го катодного повторителя, и воспроизводится на ее катode как выходное напряжение $U_{вых}$. Функцию катодного сопротивления повторителя выполняет лампа Λ_2 . Одновременно лампа Λ_1 работает в качестве фазоинвертора напряжения обратной связи, снимаемого с ее анодной нагрузки R_a . Это напряжение, противофазное выходному сигналу, подается через переходный конденсатор C на сетку лампы Λ_2 и управляет величиной ее анодного тока I_{a2} . Вследствие повторного изменения фазы сигнала обратной связи на 180° при усилении его лампой Λ_2 напряжение сигнала обратной связи на ее аноде совпадает по фазе с выходным напряжением. Таким образом, замыкается цепь положительной обратной связи по сигналу. Благодаря этой цепи компенсируются в некоторой степени потери сигнала при передаче его катодным повторителем, что приводит к повышению коэффициента передачи и уменьшению выходного сопротивления схемы. Вследствие того, что общее усиление в цепи обратной связи не превышает единицы, опасности самовозбуждения катодного повторителя на низких частотах нет. И лишь когда фазовые сдвиги в цепи достигают значительной величины (на частотах порядка 10 Мгц), входное сопротивление катодного повторителя становится отрицательным.

При передаче катодным повторителем входного сигнала отрицательной полярности, а также при работе со значительными отрицательными перепадами напряжения (когда их длительность ограничена) лампа Λ_2 открывается положительным сигналом обратной связи, поступающим на ее сетку, и обеспечивает значительные токи разряда, компенсируя тем самым неудовлетворительную работу катодного повторителя на лампе Λ_1 при таких условиях. Работа каскодного катодного повторителя с сигналами отрицательной полярности, т. е. отрицательными перепадами напряжения подробно рассматривается ниже.

В соответствии с приведенной на рис. 50 эквивалентной схемой каскодного катодного повторителя уравнения контурных токов в схеме имеют вид:

$$I_{a1} R_a + I_{a1} R_{i1} + I_{a1} R_n = \mu_1 U_{c1}; \quad (66)$$

$$I_{a2} R_{i2} + I_{a2} R_n + I_{a1} R_n = \mu_2 U_{c2}. \quad (67)$$

Рис. 50. Эквивалентная схема каскодного катодного повторителя.

Напряжение между сеткой и катодом лампы Λ_1 , определяющее анодный ток лампы, вследствие характерной для катодного повторителя глубокой отрицательной обратной связи равно разности входного и выходного напряжений:

$$U_{c1} = U_{вх} - U_{вых} = U_{вх} - I_{a1} R_n + I_{a2} R_n. \quad (68)$$

Управляющим напряжением для лампы Λ_2 является напряжение обратной связи, снимаемое с сопротивления R_a :

$$U_{c2} = -I_{a1} R_a. \quad (69)$$

В соответствии с этим равенства (66) и (67) можно преобразовать следующим образом:

$$I_{a1} (R_a + R_{i1} + R_n + \mu_1 R_n) - I_{a2} (R_n + \mu_1 R_n) = \mu_2 U_{вх};$$

$$I_{a1} = \frac{\mu_2 U_{вх} + I_{a2} R_n (1 + \mu_1)}{R_a + R_{i1} + (1 + \mu_1) R_n}; \quad (70)$$

$$I_{a2} R_{i2} + I_{a2} R_n + I_{a1} R_n = \mu_2 I_{a1} R_a;$$

$$I_{a2} = -\frac{I_{a1} (\mu_2 R_a - R_n)}{R_{i2} + R_n}.$$

Подставляя выражение I_{a2} в уравнение (70) и преобразуя его, можно получить уравнение тока I_{a1} :

$$I_{a1} = \frac{\mu_1 U_{вх} (R_{i2} + R_n) - I_{a1} (\mu_2 R_a - R_n) (1 + \mu_1) R_n}{[R_a + R_{i1} + (1 + \mu_1) R_n] (R_{i2} + R_n)}$$

Обозначим $R_{i2} + R_n = R_{n2}$ и $R_a + R_{i1} = R_1$.

Тогда

$$I_{a1} = \frac{\mu_1 U_{вх} R_{H2} - I_{a1} (\mu_2 R_a - R_H) (1 + \mu_1) R_H}{[R_1 + (1 + \mu_1) R_H] R_{H2}}; \quad (71)$$

$$I_{a1} = \frac{\mu_1 U_{вх} R_{H2}}{[R_1 + (1 + \mu_1) R_H] R_{H2} + (\mu_2 R_a - R_H) (1 + \mu_1) R_H}.$$

Аналогичные преобразования дают выражение для тока лампы L_2 :

$$I_{a2} = - \frac{\mu_1 U_{вх} (\mu_2 R_a - R_H)}{[R_1 + (1 + \mu_1) R_H] R_{H2} + (\mu_2 R_a - R_H) (1 + \mu_1) R_H}. \quad (72)$$

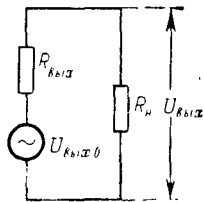


Рис. 51. Упрощенная эквивалентная схема каскадного повторителя.

Знаменатель правых частей уравнений (71) и (72) путем перемножения и группировки составляющих его членов может быть приведен к следующему виду:

$$R_H [(1 + \mu_1) (R_{i2} + \mu_2 R_a) + R_{i1} + R_a] + R_{i2} (R_a + R_{i1}) = R_H [(1 + \mu_1) R_2 + R_1] + R_{i2} R_1,$$

где $R_2 = R_{i2} + \mu_2 R_a$.

На основании уравнений (71) и (72) может быть получено выражение для выходного напряжения каскадного повторителя и его коэффициента передачи напряжения:

$$U_{вых} = (I_{a1} - I_{a2}) R_H = \frac{\mu_1 U_{вх} R_2 R_H}{R_H [(1 + \mu_1) R_2 + R_1] + R_{i2} R_1}; \quad (73)$$

$$K = \frac{U_{вых}}{U_{вх}} = \frac{\mu_1 R_2 R_H}{R_H [(1 + \mu_1) R_2 + R_1] + R_{i2} R_1}. \quad (74)$$

Для определения одного из основных параметров каскадного катодного повторителя — его выходного сопротивления $R_{вых}$ найдем выражение для выходного напряжения ненагруженного повторителя ($R_H \rightarrow \infty$). При $R_H \rightarrow \infty$ коэффициент передачи равен отношению коэффициентов при R_H в формуле (74):

$$K_0 = \frac{U_{вых0}}{U_{вх}} = \frac{\mu_1 R_2}{(1 + \mu_1) R_2 + R_1}. \quad (75)$$

Сравнение выражения (75) с выражением (74) показывает, что в случае ненагруженного катодного повторителя его коэффициент передачи напряжения увеличивается из-за отсутствия в знаменателе второго члена, обусловленного сопротивлением нагрузки. Влияние сопротивления нагрузки R_H на величину выходного напряжения в соответствии с эквивалентной схемой, изображенной на рис. 51, определяется следующим соотношением:

$$U_{вых} = U_{вых0} \frac{R_H}{R_H + R_{вых}}. \quad (76)$$

Отсюда выходное сопротивление каскадного катодного повторителя

$$R_{вых} = \left(\frac{U_{вых0}}{U_{вых}} - 1 \right) R_H, \quad (77)$$

где $U_{вых0}$ — выходное напряжение повторителя при $R_H \rightarrow \infty$.

При подстановке в выражение (73) значения $R_H \rightarrow \infty$ можно получить:

$$U_{вых0} = \frac{\mu_1 U_{вх} R_2}{(1 + \mu_1) R_2 + R_1}.$$

Подставляя в выражение (77) значение $U_{вых0}$ и $U_{вых}$ из уравнения (73), получаем общее выражение для выходного сопротивления

$$R_{вых} = \left(\frac{R_H [(1 + \mu_1) R_2 + R_1] + R_{i2} R_1}{R_H [(1 + \mu_1) R_2 + R_1]} - 1 \right) R_H;$$

$$R_{вых} = \frac{R_{i2} R_1}{(1 + \mu_1) R_2 + R_1}. \quad (78)$$

Подставив в уравнение (78) значения R_1 и R_2 , получим полное выражение для выходного сопротивления каскадного катодного повторителя

$$R_{вых} = \frac{R_{i2} (R_a + R_{i1})}{(1 + \mu_1) (R_{i2} + \mu_2 R_a) + R_a + R_{i1}}. \quad (79)$$

Приближенную оценку выходного сопротивления и коэффициента передачи напряжения для каскадного катодного повторителя можно получить для двух случаев: 1) при использовании в нем триодов и 2) при использовании пентодов.

В первом случае при работе с малыми сигналами выполняется условие $R_a \gg R_{i1}$. Кроме того, практически всегда коэффициент усиления μ ламп значительно превышает единицу, так что можно принять $\mu + 1 \approx \mu$. Для упрощения можно считать, что лампы L_1 и L_2 одинаковы, т. е. $R_{i1} = R_{i2} = R_i$ и $\mu_1 = \mu_2 = \mu$. Это условие в большинстве случаев выполняется, если применять специально разработанные двойные триоды для каскадного включения. При этих допущениях можно записать:

$$R_{вых} = \frac{R_i \left(1 + \frac{R_i}{R_a} \right)}{\mu R_i + R_i + \mu^2 R_a + \mu R_a + R_i + R_a};$$

$$R_{вых} = \frac{R_i \left(1 + \frac{R_i}{R_a} \right)}{(1 + \mu + \mu^2) + \frac{R_i}{R_a} (\mu + 2)}.$$

Учитывая, что $\frac{R_i}{R_a} \ll 1$, можно приближенно считать, что

$$R_{\text{вых}} \approx \frac{R_i}{1 + \mu + \mu^2} \approx \frac{R_i}{\mu^2} = \frac{1}{\mu S}. \quad (80)$$

При подстановках здесь использовалось известное соотношение между параметрами лампы $S R_i = \mu$.

Из выражения (80) следует, что выходное сопротивление каскодного катодного повторителя на триодах в μ раз меньше, чем у обычного катодного повторителя, выходное сопротивление которого определяется выражением.

$$R_{\text{вых}} \approx \frac{1}{S}.$$

Экспериментальная проверка подтверждает сделанные выводы. Результаты измерений выходного сопротивления катодного повторителя каскодного типа (1), обычного катодного повторителя с параллельно включенными триодами (2) и простого однолампового катодного повторителя (3) приведены в табл. 3. В схемах был использован двойной триод 6Н6П, на который подавалось синусоидальное напряжение частоты 1 кГц. Для сравнения в таблице приведены также расчетные данные.

Таблица 3

Выходное сопротивление	1	2	3
$R_{\text{вых}}$ (эксперимент), ом	34	128	255
$R_{\text{вых}}$ (расчет), ом	35	125	255

Коэффициент передачи напряжения в этом случае может быть записан следующим образом:

$$K_0 = \frac{\mu \left(\frac{R_i}{R_a} + \mu \right)}{(1 + \mu) \left(\frac{R_i}{R_a} + \mu \right) + 1 + \frac{R_i}{R_a}}.$$

С учетом принятого допущения $R_i/R_a \ll 1$ получаем:

$$K_0 \approx \frac{\mu^2}{\mu^2 + 1} \approx 1. \quad (81)$$

Из последнего выражения видно, что коэффициент передачи напряжения катодного повторителя каскодного типа значительно

ближе к единице, чем коэффициент передачи обычного повторителя, приблизительно равный:

$$K_0 \approx \frac{\mu}{\mu + 1}.$$

При использовании в каскодном катодном повторителе пентодов, внутреннее сопротивление которых составляет сотни килоом, а также при работе с большими сигналами, когда сопротивление R_a

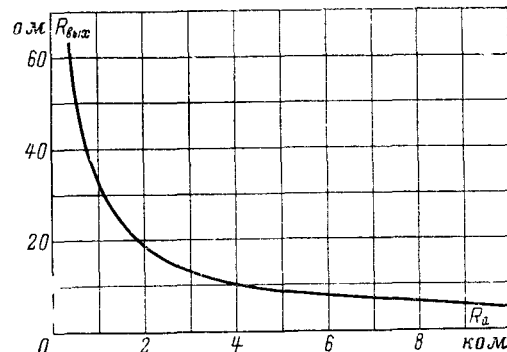


Рис. 52. Зависимость выходного сопротивления каскодного катодного повторителя от величины положительной обратной связи для пентодов 6Ж1П с крутизной $S=5$ ма/в.

мало, соблюдается условие $R_a \ll R_{i1}$. В этом случае уравнение (79) может быть записано так:

$$R_{\text{вых}} = \frac{1}{(1 + \mu_1)(R_{i2} + \mu_2 R_a) + R_{i1} + R_a} \approx \frac{1}{\mu_1(R_{i2} + \mu_2 R_a) + R_{i1}}.$$

Отсюда

$$R_{\text{вых}} \approx \frac{1}{S_1(1 + S_2 R_a)}. \quad (82)$$

Из последнего уравнения видно, что при использовании пентодов выходное сопротивление катодного повторителя зависит не только от параметров ламп, но и от величины сопротивления обратной связи R_a . Характер изменения выходного сопротивления $R_{\text{вых}}$ от величины сопротивления обратной связи показан на рис. 52. Кривая снята для пентодов типа 6Ж1П с крутизной характеристики $S=5$ ма/в и внутренним сопротивлением $R_i=300$ км.

Рассмотрение характеристики позволяет сделать вывод, что выходное сопротивление $R_{\text{вых}}$ резко уменьшается при увеличении R_a до значения примерно 4 км. Дальнейшее увеличение R_a не

сопровождается заметным изменением $R_{\text{вых}}$. Следует помнить, что увеличение R_a сказывается на полосе пропускания усилителя, о чем будет сказано дальше.

На рис. 53 приведены кривые зависимости выходного сопротивления каскодного катодного повторителя от сопротивления нагрузки для случая малых значений R_a . Кривые 1, 2 и 3 сняты для катодного повторителя на триодах с различной крутизной характеристики, а кривая 4 относится к повторителю на пентодах типа 6П15П. Одновременно с экспериментально снятыми кривыми на рисунке

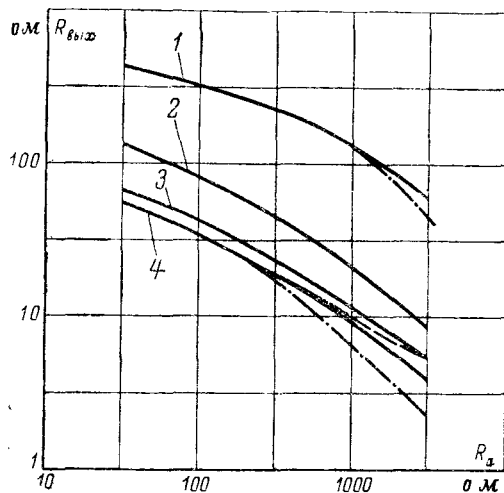


Рис. 53. Зависимость выходного сопротивления от величины положительной обратной связи.

1 — для ламп 6Н8С с крутизной $S=2,6$ ма/в; 2 — для ламп 6НЗП с крутизной $S=5,9$ ма/в; 3 — для ламп 6Н19П с крутизной $S=13,5$ ма/в; 4 — для ламп 6П15П с крутизной $S=12,7$ ма/в.

нанесены расчетные кривые для этих же ламп. Кривая, изображенная штриховой линией, построена для уравнения (79), а кривая в виде штрих-пунктирной линии — для уравнения (82). Для кривой 1 штрих-пунктирная линия почти на всем протяжении совпадает с полученной экспериментально. Расхождение между ними становится заметным лишь при значениях R_a , превышающих несколько сотен ом.

Следует заметить, что все предыдущие рассуждения относились к случаю работы катодного повторителя в линейной области характеристик. Однако диапазон линейной работы каскодного катодного повторителя сильно зависит от величины сопротивления обратной связи R_a . Это естественно, так как в каскодном повторителе динамический диапазон определяется не только основной лампой, но и лампой, на сетку которой сигнал подается с сопротивления R_a .

При работе последней лампы в нелинейной области (при большом сигнале на ее сетке) происходит резкое увеличение выходного сопротивления повторителя из-за уменьшения усиления в цепи положительной обратной связи. Это подтверждается кривыми на рис. 54 снятыми для двойного триода 6НЗП при сопротивлении нагрузки $R_H=20$ ом. Из кривых видно, что при сопротивлении $R_a=1$ ком выходное сопротивление увеличивается на 50% при входном напряжении, равном примерно 1,4 в, в то время как при $R_a=3$ ком увеличение выходного сопротивления на 50% наступает уже при входном напряжении порядка 0,8 в.

Все сказанное выше позволяет сформулировать некоторые рекомендации для выбора сопротивления обратной связи R_a . Выбор определяется тем, какой из параметров катодного повторителя наиболее важен. Если основным требованием является низкое выходное сопротивление катодного повторителя, то сопротивление R_a должно быть возможно большим. Это накладывает ограничения на динамический диапазон входного сигнала и уменьшает полосу пропускания катодного повторителя. Если же основным требованием является линейная передача напряжений значительной величины, то сопротивление R_a должно быть уменьшено до нескольких сотен и даже десятков ом. Это сопровождается увеличением выходного сопротивления и соответствующим уменьшением коэффициента передачи. В том случае, если сопротивление R_H при этом также мало (значительно меньше 1 ком), может оказаться более выгодным применение схемы обычного катодного повторителя с двумя параллельно включенными лампами, а не каскодной схемы.

Рассмотрим теперь коэффициент передачи напряжений каскодного катодного повторителя для случая $R_a \ll R_{H1}$:

$$U_{\text{выхо}} = U_{\text{вх}} \frac{1}{1 + \frac{1}{\mu_1} + \frac{R_{H1} + R_a}{\mu_1 (R_{H2} + \mu_2 R_a)}}.$$

Если пренебречь величиной R_a по сравнению с R_{H1} , то

$$U_{\text{выхо}} \approx \frac{1}{1 + \frac{R_{H1}}{\mu_1 (R_{H2} + \mu_2 R_a)}}.$$

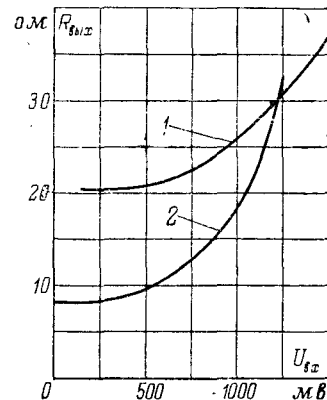


Рис. 54. Влияние величины положительной обратной связи на выходное сопротивление катодного повторителя.

1 — при $R_a=1$ ком; 2 — $R_a=3$ ком.

Отсюда

$$K_0 \approx \frac{1}{1 + \frac{1}{S_1(R_{i2} + \mu_2 R_a)}} = \frac{1}{1 + \frac{1}{S_1(1 + S_2 R_a) R_{i2}}} \quad (83)$$

Из последнего уравнения видно, что K_0 тем ближе к единице, чем большую величину имеет выражение $S_1(R_{i2} + \mu_2 R_a)$. Следовательно, для достижения максимального значения коэффициента пере-

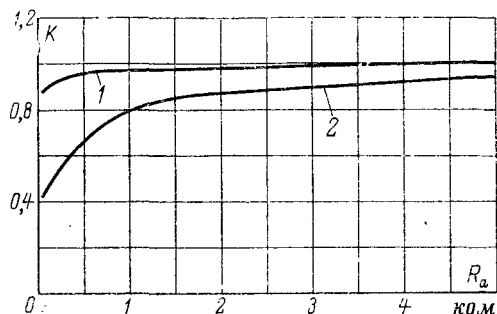


Рис. 55. Зависимость коэффициента передачи напряжения от величины положительной обратной связи.

1 — при $R_n = 1$ кОм; 2 — при $R_n = 125$ Ом.

дачи напряжения целесообразно выбирать лампу Π_2 с наибольшей крутизной.

При условии $\mu_1 = \mu_2 = \mu$ и $R_{i1} = R_{i2} = R_i$, формула (83) приобретает следующий вид:

$$K_0 = \frac{\mu(1 + SR_a)}{\mu(1 + SR_a) + 1} \approx 1.$$

На рис. 55 приведены кривые зависимости коэффициента передачи напряжения каскадного катодного повторителя на пентодах типа 6Ж1П для двух значений нагрузочного сопротивления R_n . Эти кривые соответствуют уравнению

$$K = \frac{1}{1 + \frac{1}{S_1 R_n (1 + S_2 R_a)}},$$

полученному из выражения (74) для условий $R_n \ll R_{i2}$ и $R_a \ll R_{i1}$.

Из этих кривых видно, что коэффициент передачи весьма мал в том случае, если сопротивление R_n имеет тот же порядок, что и выходное сопротивление катодного повторителя, и это можно лишь в некоторой степени компенсировать увеличением сопротивления обратной связи R_a .

23. ПЕРЕХОДНЫЕ ХАРАКТЕРИСТИКИ КАСКАДНОГО КАТОДНОГО ПОВТОРИТЕЛЯ

В большинстве случаев катодные повторители применяются для передачи импульсов различной формы. Для того чтобы характеризовать прохождение импульсов через любой импульсный усилитель, обычно пользуются переходными характеристиками усилителя, отражающими скорость изменения напряжения на выходе усилителя, когда на его входе действует импульс напряжения в виде ступеньки бесконечной длительности.

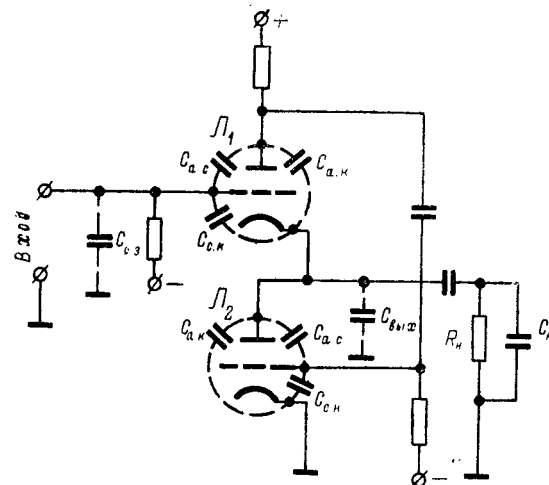


Рис. 56. Паразитные емкости в схеме каскадного катодного повторителя.

Скорость нарастания напряжения в схеме каскадного катодного повторителя определяется паразитными и схемными емкостями. Распределение емкостей, учитываемых при анализе переходных процессов, показано на рис. 56. Очевидно, что скорости перезаряда емкостей и, следовательно, скорость нарастания выходного напряжения определяются выбором элементов схемы и режима катодного повторителя, обеспечивающих максимальные токи. Полный анализ переходных процессов сложен и громоздок, поэтому ниже приведены лишь его конечные результаты.

На рис. 57 приведены характеристики времени нарастания обычного катодного повторителя и каскадных катодных повторителей на триодах и пентодах. Под временем нарастания здесь подразумевается интервал времени, за который выходное напряжение изменяется от 0,1 до 0,9 своего наибольшего значения. Эти характеристики, как и последующие, относятся к лампам типа 6Ж1П. При использовании этой лампы в качестве триода вторая и третья ее сетки соединяются

с анодом; в пентодном каскодном повторителе экранирующие сетки как одной, так и другой лампы соединяются через конденсаторы с катодами своих ламп. Для всех характеристик на рис. 57 в качестве постоянных параметров взяты сопротивление положительной обратной связи $R_a = 3,9 \text{ ком}$, сопротивление нагрузки $R_H = 125 \text{ ом}$, крутизна

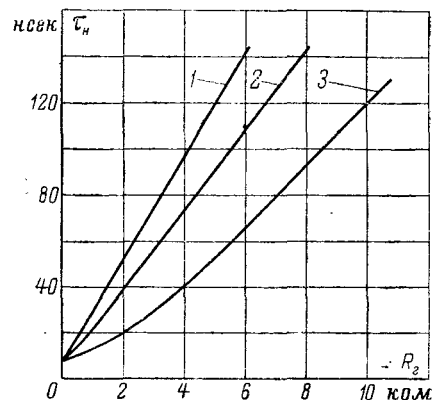


Рис. 57. Зависимость времени нарастания от внутреннего сопротивления генератора сигнала.

1 — для обычного катодного повторителя на пентоде; 2 — для каскодного катодного повторителя на триодах; 3 — для каскодного катодного повторителя на пентодах.

$$C_{вх} = C_{a.c} + C_{c.k}(1 - K) + C_{c.z}, \quad (84)$$

где $C_{a.c}$ — емкость между анодом и сеткой триода;
 $C_{c.k}$ — емкость между сеткой и катодом;
 $C_{c.z}$ — монтажная емкость между сеткой и землей.

Из выражения (84) видно, что множитель $(1 - K)$ быстро уменьшается по мере приближения K к единице. Таким образом, уменьшение времени нарастания у каскодного катодного повторителя является следствием его более высокого, чем у обычного катодного повторителя, коэффициента передачи напряжения.

Крутизна кривой $\tau_n = f(R_g)$ для каскодного повторителя на пентодах примерно в 2 раза меньше, чем у обычного катодного повторителя. Это означает, что при R_g , превосходящем 1 ком, при всех равных условиях применение пентодного катодного повторителя каскодного типа позволяет получить двукратный выигрыш во времени нарастания по сравнению с обычным повторителем. Дополнительный выигрыш здесь достигается как за счет меньшей емкости, соответствующей емкости $C_{c.a}$ для триодов (для пентода это емкость $C_{c.c2}$), так и за счет большего внутреннего сопротивления нижнего пентода по сравнению с триодом, что способствует увеличению

коэффициента передачи катодного повторителя и приводит к уменьшению множителя $(1 - K)$ в выражении (84).

Из характеристик на рис. 57 вытекает, что для уменьшения времени нарастания, т. е. для получения очень крутых фронтов, следует уменьшать выходное сопротивление каскада, с которого

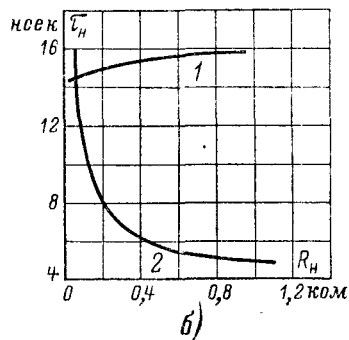
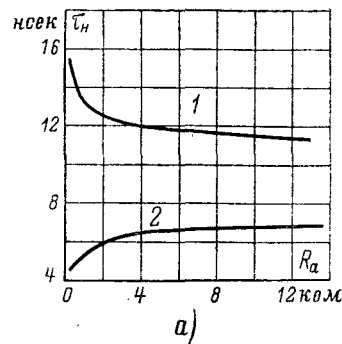


Рис. 58. Переходные характеристики катодных повторителей.

а — зависимость времени нарастания от сопротивления положительной обратной связи при $R_g = 1 \text{ ком}$ (1) и $R_g = 125 \text{ ом}$ (2), сопротивление нагрузки $R_H = 125 \text{ ом}$; б — зависимость времени нарастания от сопротивления нагрузки для обычного (1) и каскодного (2) катодного повторителей.

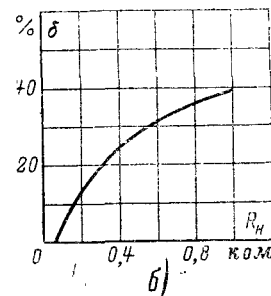
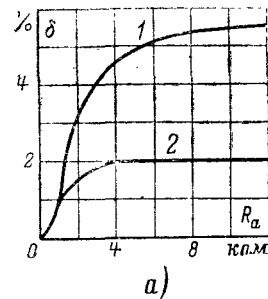


Рис. 59. Величины выбросов в каскодном катодном повторителе.

а — в зависимости от R_a при $R_g = 1 \text{ ком}$ (1), $R_g = 125 \text{ ом}$ (2) и сопротивлении нагрузки $R_H = 125 \text{ ом}$; б — в зависимости от R_H при $R_g = 500 \text{ ом}$.

снимается сигнал на катодный повторитель. В том случае, если это сопротивление не превышает 1 ком, применение каскодного повторителя на триодах не дает преимуществ. В этом случае для обеспечения наименьшего времени нарастания может быть применен каскодный повторитель на пентодах. Если сопротивление источ-

ника входного сигнала не может быть уменьшено до 1 ком, то целесообразно применение как триодного, так и пентодного катодного повторителя каскодного типа.

На рис. 58, а показана зависимость времени нарастания τ_n у каскодного повторителя от сопротивления положительной обратной связи R_a . Характеристики построены для $R_r = 125$ ом и $R_r = 1000$ ом, чтобы учесть также зависимость τ_n от R_r в соответствии с предыдущим рисунком.

Из рис. 58 видно, что для значений R_a , превышающих 3—4 ком, величина τ_n очень мало зависит от R_a . С другой стороны, из рис. 52 и 53 и соответствующих уравнений мы видим, что увеличение сопротивления R_a ведет к снижению выходного сопротивления катодного повторителя. Следовательно, при отсутствии специальных ограничений по времени нарастания целесообразно увеличить R_a . Предел его увеличения определяется тем, что оно сопровождается уменьшением анодного тока повторителя и крутизны характеристики ламп. А это в свою очередь соответствует сокращению динамического диапазона катодного повторителя.

Увеличение сопротивления R_a сопровождается появлением выброса напряжения, т. е. кратковременным превышением постоянного уровня выходного напряжения. Из рис. 59, а видно, что выброс δ достигает 2% от величины уровня выходного напряжения при $R_r = 125$ ом и при $R_a = 1$ ком, если сопротивление R_a превышает несколько килоом. При больших значениях R величина выброса практически не изменяется.

На рис. 58, б показана зависимость τ_n от сопротивления нагрузки R_n обычного катодного повторителя и каскодного повторителя при тех же условиях (сопротивление R_a каскодного повторителя равно 3,9 ком). Здесь видно, что τ_n обычного катодного повторителя практически не зависит от R_n . Увеличение же R_n в каскодном повторителе сопровождается резким уменьшением времени нарастания и появлением значительного (до 40%) выброса (рис. 59, б). Если сопротивление нагрузки превышает 400 ом, то время нарастания у каскодного повторителя в 3 раза меньше, чем у обычного катодного повторителя. Поэтому в том случае, когда допустим значительный выброс, целесообразно стремиться к увеличению сопротивления нагрузки для сокращения времени нарастания.

На основании результатов анализа параметров каскодного катодного повторителя и его переходных характеристик можно произвести сравнительную оценку каскодного и обычного катодных повторителей.

Например, при $R_n = 125$ ом и $R_r > 1$ ком коэффициент передачи обычного катодного повторителя на лампе 6Ж1П составляет 0,385. Коэффициент передачи каскодного катодного повторителя на этих же лампах при $R_a = 3,9$ ком равен 0,93. Иными словами, коэффициент передачи возрастает в 2,42 раза. В то же время каскодный катодный повторитель обладает вдвое меньшим временем нарастания, т. е. вдвое большей полосой пропускания, чем обычный повторитель. Таким образом, полный выигрыш, даваемый каскодным катодным повторителем, равен произведению выигрыша по полосе пропускания на выигрыш по коэффициенту передачи (примерно в 5 раз).

24. РАБОТА КАСКОДНОГО КАТОДНОГО ПОВТОРИТЕЛЯ НА ЕМКОСТЬ

Одной из важнейших особенностей каскодного катодного повторителя является его способность работать на значительную емкостную нагрузку, передавая без искажений отрицательные перепады напряжения большой величины. В частности, это позволяет использовать каскодный повторитель для передачи коротких отрицательных импульсов с амплитудой, составляющей несколько десятков вольт.

Известно, что при передаче положительного импульса (рис. 60, а) катодным повторителем на нагрузку, состоящую из параллельно включенных сопротивления R_n и емкости C_n , например, на несогласованно нагруженный кабель, происходит значительное затягивание отрицательного перепада напряжения, например, заднего фронта положительного импульса (рис. 60, б).

В момент t_2 , когда оканчивается импульс, напряжение на сетке лампы резко падает от величины, равной амплитуде импульса, до величины начального смещения $E_{см}$. Однако емкость C_n , подключенная к катоду лампы и заряженная к этому времени до напряжения $E_{см} + U_{нп}$, не может разрядиться мгновенно. Поэтому сразу после момента t_2 сетка лампы оказывается под напряжением $E_{см}$, а на катоде лампы остается положительное напряжение, равное $E_{см} + U_{нп}$. Лампа оказывается запертой разностью этих напряжений.

В таких условиях емкость C_n может разряжаться лишь через сопротивление R_n . Этот относительно медленный разряд емкости (постоянная времени цепи разряда $\tau = R_n C_n$) и является задним фронтом выходного импульса (рис. 60, б). Когда разность напряжений между катодом и сеткой $U_{ск}$ уменьшится до значения напряжения отсечки лампы $E_{отс}$ (рис. 60, в), последняя начнет пропускать ток, который значительно ускорит разряд емкости C_n . Естественно, что для импульсов с амплитудой в несколько десятков вольт $U_{нп} \gg E_{см}$, т. е. интервал времени $t_3 - t_4$, когда лампа заперта, значительно превышает интервал времени, когда лампа отперта (на заднем срезе импульса). Это приводит к тем большему затягиванию заднего фронта импульса, чем больше его амплитуда и катодное сопротивление повторителя.

Так как в этом случае задний фронт импульса состоит из нескольких участков с различными постоянными времени, то подсчет точного значения времени его установления t_y с учетом всех факторов, влияющих на скорость разряда емкости C_n , затруднителен. Для ориентировочного расчета можно использовать выражение, предложенное М. Л. Волиным:

$$t_y = 2,2 R_n C_n \alpha,$$

где α — экспериментальный коэффициент, учитывающий шунтирующее действие выходного сопротивления катодного повторителя на тех участках заднего фронта импульса, где лампа отперта.

Очевидно, что коэффициент α тем ближе к единице, чем больше отношение $U_{нп}/E_{см}$ и, следовательно, чем больше интервал времени $t_3 - t_4$ по сравнению с интервалом, в течение которого лампа отперта. Коэффициент α мало зависит от параметров лампы и длительности заднего фронта входного импульса.

Ниже приведена экспериментальная таблица зависимости α от отношения $U_{\text{имп}}/E_{\text{см}}$ для обычных приемно-усилительных ламп (табл. 4).

Таблица 4

$U_{\text{имп}}/E_{\text{см}}$	1	2	3	4	5
α	0,35	0,52	0,62	0,70	0,75

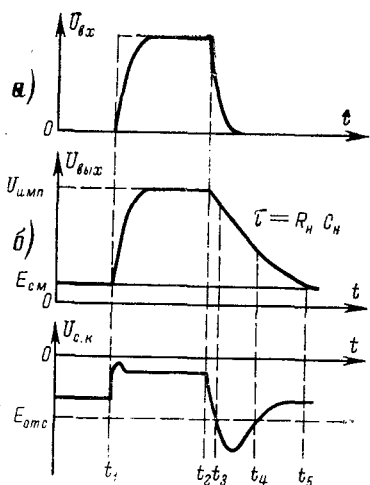


Рис. 60. Форма напряжений в схеме катодного повторителя, нагруженного емкостью.

а — входной импульс; б — выходное напряжение; в — напряжение между сеткой и катодом лампы L_1 .

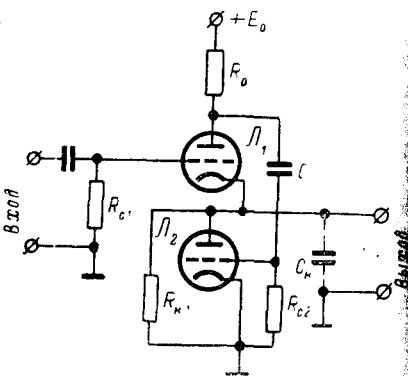


Рис. 61. Схема импульсного каскадного повторителя.

Из этой таблицы и формулы для t_y видно, что при больших амплитудах сигнала длительность заднего фронта выходного импульса значительно превышает постоянную времени выходной цепи и практически не определяется длительностью заднего фронта входного импульса.

Каскадный катодный повторитель позволяет устранить этот принципиальный недостаток обычных катодных повторителей. Из рис. 60 видно, что можно значительно уменьшить затягивание заднего фронта, если уменьшить сопротивление R_n лишь на участке t_3-t_4 , где лампа катодного повторителя заперта. На участке же t_1-t_2 сопротивление R_n должно иметь величину, достаточную для получения требуемого выходного напряжения. Такими свойствами может обладать нагрузка, образованная из сопротивления и параллельной ему лампы (рис. 61). Лампа ставится в такой режим, что

при прохождении основного импульса через катодный повторитель ее сопротивление велико и роль катодной нагрузки играет сопротивление R_{k1} . Параметры цепи обратной связи $R_{c2}C$ выбраны таким образом, что эта цепь является дифференцирующей по отношению к передаваемому катодным повторителем импульсу. Через нее на управляющую сетку лампы L_2 передается лишь узкий отрицательный импульс, соответствующий переднему фронту основного импульса, и узкий положительный импульс, соответствующий заднему фронту основного импульса, воспроизведенного на сопротивлении R_a .

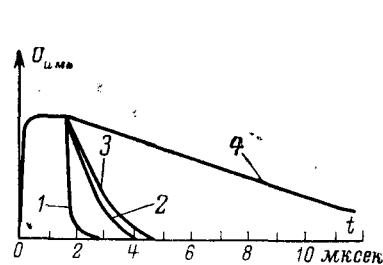


Рис. 62. Осциллограммы выходного импульса обычного катодного повторителя при $R_n=10$ ком (2) и при $R_n=2,2$ ком (1), а также каскадного импульсного катодного повторителя при $R_{k1}=10$ ком (3) и $R_{k1}=2,2$ ком (1).

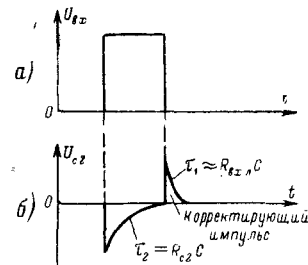


Рис. 63. Идеальный входной импульс (а) и соответствующие ему корректирующие импульсы после дифференцирующей цепочки (б).

Отрицательный импульс не изменяет суммарного сопротивления катодной нагрузки повторителя, так как лампа L_2 мало шунтирует сопротивление R_{k1} . Положительный же импульс на сетке лампы L_2 приводит к резкому увеличению тока этой лампы и соответствующему уменьшению суммарного сопротивления нагрузки R_n повторителя. На время длительности этого импульса емкость C_n получает дополнительную возможность разряжаться через открытую лампу L_2 . В результате время разряда емкости C_n (и следовательно, длительность заднего фронта выходного импульса) сокращается. На рис. 62 приведены осциллограммы положительного импульса на выходе обычного и каскадного катодного повторителей для двух значений R_{k1} .

Очевидно, что постоянная времени дифференцирующей цепи должна быть выбрана так, чтобы за время длительности корректирующего импульса (рис. 63) на сетке лампы L_2 емкость C_n успевала полностью разрядиться. При выборе параметров дифференцирующей цепи следует учесть, что при положительном импульсе на сетке лампы L_2 сопротивление R_{c2} шунтируется входным сопротивлением лампы, которое в области сеточных токов составляет примерно $R_{вх,л}=1$ ком. Поэтому постоянная времени дифференцирующей цепи для положительного импульса определяется следующим выражением:

$$\tau_1 = C \frac{R_{вх.л} R_{с2}}{R_{вх.л} + R_{с2}} = CR_d \approx \frac{t_y}{2,2}, \quad (85)$$

где R_d — параллельно соединенные сопротивление $R_{с2}$ и входное сопротивление лампы.

Постоянная времени дифференцирующей цепи не может выбираться слишком большой, так как длительность пропускаемого ею отрицательного импульса, соответствующего переднему фронту основного импульса, не должна превышать длительность последнего, что также очевидно из рис. 63.

Если из выражения (85) можно определить необходимую емкость

$$C < \frac{t_y}{2,2R_d} \approx \frac{t_y}{2,2R_{вх.л}}, \quad (86)$$

при этом предполагается, что $R_{с2} \gg R_{вх.л}$, то следующее условие позволяет определить сопротивление $R_{с2}$:

$$R_{с2} < \frac{t_n}{2,2C}, \quad (87)$$

где t_n — длительность импульса.

При практическом осуществлении схемы импульсного каскадного повторителя трудно получить достаточно большую амплитуду положительного импульса на сетке лампы \mathcal{L}_2 , так как в первый момент, когда емкость C не заряжена, сопротивление R_a , с которого снимается импульс, оказывается сильно шунтированным малым входным сопротивлением этой лампы. Если R_a превышает $R_{вх.л}$, то максимальное положительное напряжение на сетке лампы \mathcal{L}_2 будет определяться максимальным значением анодного тока $I_{a.макс}$ лампы \mathcal{L}_1 :

$$U_{с2 макс} = R_{с2} (I_{a.макс} - I_{a.нач}),$$

где $I_{a.нач}$ — начальный анодный ток лампы \mathcal{L}_1 .

Это значит, что для достижения максимального положительного импульса величина R_a должна быть ограничена.

Так как оптимальная величина сопротивления R_a почти для всех типов ламп превышает 1 ком, то для согласования этой цепи со входом лампы \mathcal{L}_2 может быть применен автотрансформатор, заменяющий сопротивление R_a . Коэффициент его трансформации

$$n = \sqrt{\frac{R_a}{R_{вх.л}}}.$$

На рис. 64 приведена схема каскадного катодного повторителя, в котором в качестве лампы \mathcal{L}_1 применен тетрод (может быть заменен пентодом), вторая сетка которого соединена непосредственно с источником анодного питания. Эта схема эквивалентна триодной схеме без сопротивления R_a , наличие которого в некоторых случаях нежелательно.

Дело в том, что R_a включено последовательно с внутренним сопротивлением R_{i1} лампы \mathcal{L}_1 и на нем падает некоторая часть напряжения передаваемого сигнала, что приводит к уменьшению коэф-

фициента передачи катодного повторителя. Кроме того, введение R_a увеличивает время заряда паразитных емкостей в схеме, что приводит к некоторому ухудшению крутизны переднего фронта выходного импульса.

В схеме на рис. 64 введение сопротивления R_a приводит лишь к перераспределению токов между второй сеткой и анодом лампы \mathcal{L}_1 и почти не влияет на величину регулирующего катодного тока лампы.

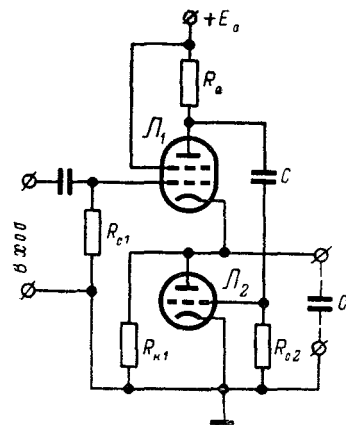
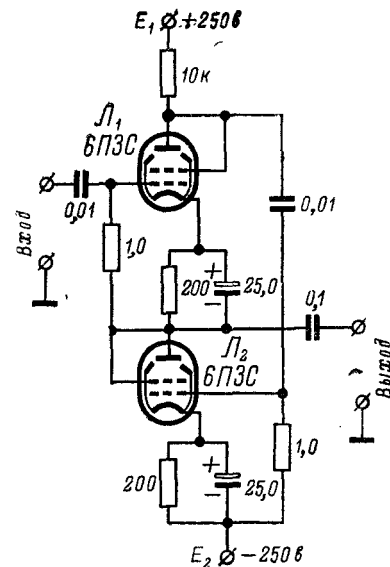


Рис. 64. Схема видеоизмененно-го импульсного катодного повторителя.



Очевидно, что каскодный катодный повторитель свободен и от этого недостатка. При подаче на сетку его лампы большого отрицательного импульса напряжение на катode лампы L_1 все время

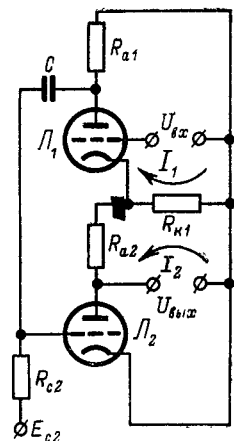


Рис. 66. Упрощенная схема каскодного повторителя с усилением.

обычного катодного повторителя всегда сопровождается искажением формы колебаний в отрицательные полупериоды.

На рис. 65 в качестве примера приведена практическая схема каскодного катодного повторителя, позволяющего передавать с коэффициентом, близким к единице (при сопротивлении нагрузки не менее 1 ком), импульсы положительной полярности с амплитудой до 100 в, отрицательные импульсы с амплитудой до 40 в или синусоидальный сигнал соответствующей амплитуды. Выходное сопротивление схемы 30 ом. Амплитудно-частотная характеристика равномерна в полосе частот от сотен герц до 10 Мгц и имеет небольшой подъем на 10 Мгц, если емкость нагрузки 100 пф. При увеличении C_n подъем смещается в сторону более низких частот.

Дальнейшая модификация каскодного катодного повторителя позволяет получить схему, обладающую всеми основными свойствами катодного повторителя: высоким входным сопротивлением, высокой линейностью и широкой полосой пропускания, способностью передавать отрицательные импульсы значительной амплитуды, но имеющую коэффициент передачи напряжения больше единицы. Упрощенная схема такого каскодного усилителя приведена на рис. 66.

В том случае, если сопротивление R_{k1} достаточно велико, развиваемое на нем напряжение близко к входному напряжению лампы L_1 . При R_{k1} , стремящемся к нулю, через него протекает ток

$$I_1 = U_{вх} S_1 (1 + S_2 R_{a1}) .$$

Выходное сопротивление каскодного катодного повторителя

$$R'_{вых} = \frac{U_{вх}}{I_1} = \frac{1}{S_1 (1 + S_2 R_{a1})} . \quad (88)$$

Когда величина сопротивления R_{k1} принимает промежуточные между нулем и бесконечностью значения, ток через него

$$I'_1 = \frac{U_{вх}}{R'_{вых} + R_{k1}} ,$$

и через сопротивления R_{a2} протекает часть этого тока

$$I_2 = \frac{S_2 R_{a1}}{1 + S_2 R_{a1}} .$$

Выходное напряжение $U_{вых}$, снимаемое с анода лампы L_2 , равно сумме падений напряжения на сопротивлениях R_{k1} и R_{a2} , и коэффициент передачи схемы по напряжению

$$K = \frac{R_{k1}}{R_{k1} + R'_{вых}} + \frac{R_{a2}}{R_{k1} + R'_{вых}} \left(\frac{S_2 R_{a1}}{1 + S_2 R_{a1}} \right) \approx \approx \frac{R_{k1} + R_{a2}}{R_{k1}} = 1 + \frac{R_{a2}}{R_{k1}} , \quad (89)$$

т. е. превышает единицу на величину R_{a2}/R_{k1} .

Выходное сопротивление схемы, учитывая выражение (89), определяется следующим равенством:

$$R_{вых} = KR'_{вых} \left(1 + \frac{R_{k1} R_{a2}}{R_{k1} + R_{a2}} S_1 \right) , \quad (90)$$

На рис. 67 приведена практическая схема такого каскодного повторителя с усилением. Для уменьшения паразитной емкости, нагружающей цепь положительной обратной связи, напряжение обратной связи передается на сетку L_2 через катодный повторитель на лампе L_3 . Это позволяет применять сопротивление R_a большой величины без заметного увеличения времени нарастания напряжения. При указанном на схеме режиме лампа L_2 допускает ток в импульсе до 100 ма, не заходя в область сеточных токов. Смещение лампы L_1 выбирается так, чтобы ток через сопротивление R_{k1} был равен нулю.

Диодная «подпорка» (диод D) сетки лампы L_3 предохраняет усилительную лампу L_2 от сильных перегрузок. При смещении на этой лампе 7,3 в диод заперт напряжением 6 в. Когда сигнал на сетке лампы L_3 превышает 6 в, диод начинает шунтировать цепь ее сетки. Это значит, что напряжение сигнала на сетке лампы L_2 также не может превысить 6 в, т. е. не смещает сетку в область сеточных токов.

Из выражений (88), (89) и (90) можно определить, что при $S = 12 \text{ ма/в}$ $R'_{вых} = 1,33 \text{ ом}$, $K = 98$, $R_{вых} = 300 \text{ ом}$.

Время нарастания на выходе схемы при емкостной нагрузке $C_n = 15 \text{ пф}$ не превышает 50 нсек для отрицательного импульса амплитудой до 125 в. Для положительных импульсов это время несколько больше и достигает 120 нсек при амплитуде 60 в. Для определения линейности схемы измерялся коэффициент передачи для десяти значений выходного напряжения в диапазоне от 7 до 125 в. В

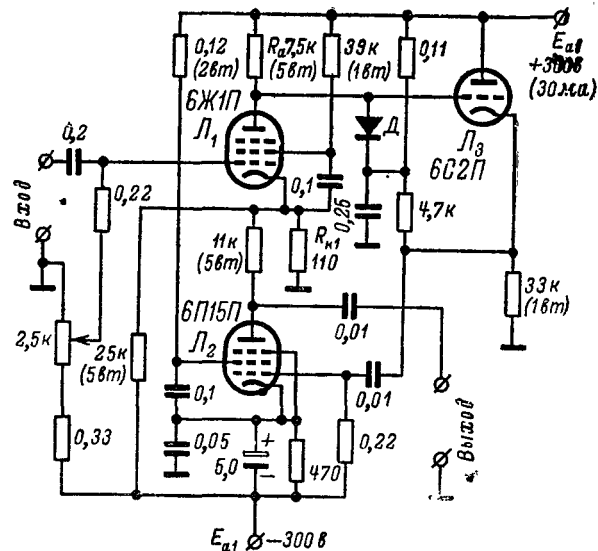


Рис. 67. Практическая схема каскодного повторителя с усилением.

этом диапазоне отклонение выходной характеристики от линейной не превышало 1%.

При изменении величины $R_{к1}$ меняются как коэффициент передачи схемы, так и время нарастания выходного напряжения. При изменении коэффициента передачи напряжения от 5 до 400 время нарастания увеличивалось от 40 до 100 нсек. Для предотвращения выброса напряжения при коэффициентах передачи менее 100 последовательно с сопротивлением $R_{к1}$ может быть включена небольшая индуктивность. Для уменьшения времени нарастания в схеме, коэффициент передачи которой превышает 100, сопротивление $R_{к1}$ может быть заблокировано небольшой емкостью.

На рис. 68 приведена еще одна практическая схема каскодного усилителя на базе катодного повторителя. Эта схема проще предыдущей, в ней нет вспомогательного катодного повторителя. Схема пропускает отрицательные импульсы с амплитудой до 40 в. Вследствие большого коэффициента усиления в петле положительной обратной связи (в схеме использованы пентоды 6П15П с крутизной характеристики $S = 12 \text{ ма/в}$) выходное сопротивление схемы не пре-

вышает нескольких ом. Время нарастания напряжения на ее выходе $\tau_n = 0,5 \text{ мсек}$. Коэффициент передачи $K = 5$.

Исследования показали, что в области частот от 5 до 30 Мгц входное сопротивление схемы может быть отрицательным, т. е. схема склонна к самовозбуждению. Для повышения устойчивости последовательно с сеткой лампы L_1 включается ограничивающее сопротивление $R_{огр} = 15 \text{ ком}$. Введение этого сопротивления практически не влияет на частотную характеристику.

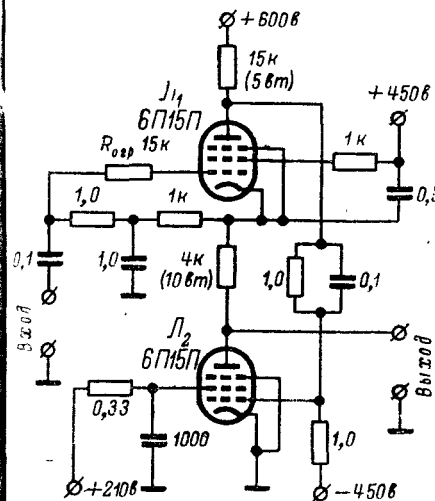


Рис. 68. Простая схема каскодного повторителя с усилением.

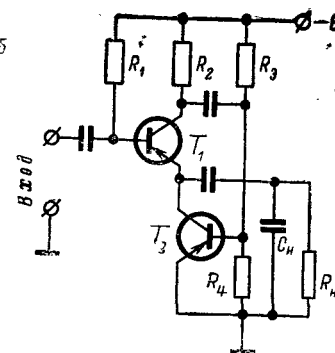


Рис. 69. Схема каскодного эмиттерного повторителя.

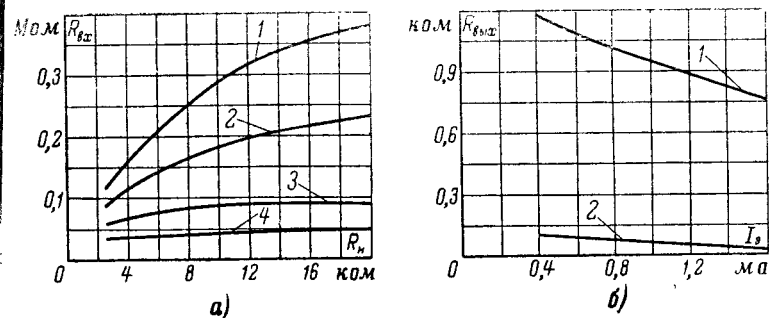
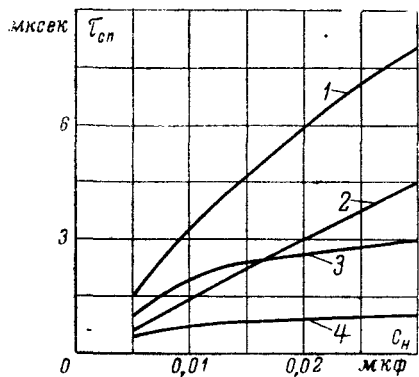
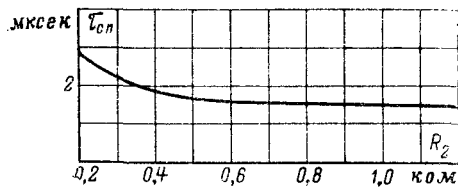


Рис. 70. Характеристики каскодного эмиттерного повторителя.

а — зависимость входного сопротивления от сопротивления нагрузки для каскодного (1) и обычного (2) эмиттерных повторителей при $I_{э} = 0,4 \text{ ма}$ и для каскодного (3) и обычного (4) эмиттерных повторителей при $I_{э} = 4 \text{ ма}$; б — зависимость выходного сопротивления от тока эмиттера для обычного (1) и каскодного (2) повторителей.



а)



б)

Рис. 71. Характеристики эмиттерного повторителя при работе на емкость.

а — зависимость длительности заднего фронта $\tau_{сп}$ выходного импульса от емкости C_n для обычного эмиттерного повторителя (1) и каскодного повторителя (2) при токе $I_3 = 0,4$ ма, а также обычного (3) и каскодного (4) повторителей при $I_3 = 4$ ма; б — зависимость длительности заднего фронта выходного импульса от сопротивления R_2 .

На рис. 69 показана принципиальная схема транзисторного каскодного эмиттерного повторителя, принцип действия которого подобен ламповому. Как и ламповый, этот повторитель имеет пониженное выходное сопротивление и отлично работает на емкостную нагрузку. Основной особенностью его является высокое входное сопротивление, в несколько раз превышающее входное сопротивление обычного эмиттерного повторителя.

На рис. 70, а приведены кривые зависимости входного сопротивления обычного и каскодного повторителей от нагрузки. Основной транзистор T_1 при всех измерениях (для рис. 70 и 71) имел в обеих схемах коэффициент усиления по току $\alpha = 0,98$.

Из рис. 70, б видно, что выходное сопротивление каскодного эмиттерного повторителя в 10 раз меньше, чем у обычного эмиттерного повторителя в том же режиме. Эффективность каскодного эмиттерного повторителя при передаче заднего фронта отрицательного импульса можно оценить из кривых, приведенных на рис. 71.

25. ПОЛНОЕ ВХОДНОЕ СОПРОТИВЛЕНИЕ КАСКОДНОГО КАТОДНОГО ПОВТОРИТЕЛЯ

Нередко перед создателями радиоэлектронной измерительной аппаратуры, особенно работающими в области экспериментальной физики, ставится задача разработки устройств, входное сопротивление которых достигает значений $10^9 - 10^{11}$ ом. Эта сложная техническая задача решается с помощью специальных катодных повторителей каскодного типа. Для получения таких значений входного сопротивления уже недостаточно просто использовать схемные особенности каскодного включения; приходится учитывать и дополнительные возможности, возникающие при тщательном выборе режима работы ламп повторителя.

На рис. 72 приведены характеристики сеточного тока каскодного катодного повторителя для зарубежных ламп ECC 80 (аналогичных лампе 6Н8С). Из характеристик видно, что есть две области где сеточные токи близки к нулю. Сеточный ток равен нулю в районе точки А, соответствующей большой крутизне характеристик анодного тока S . Однако здесь любые небольшие изменения напряжения источника питания приводят к появлению больших сеточных токов, так как крутизна характеристик сеточных токов здесь очень большая.

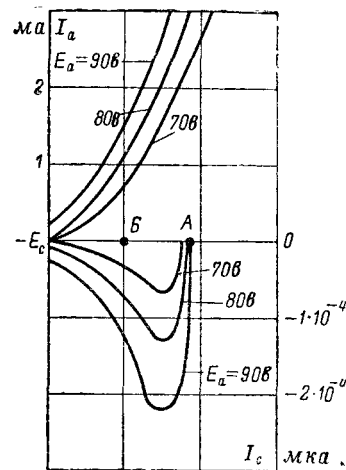


Рис. 72. Сеточные токи в каскодном катодном повторителе. Наверху приведены соответствующие анодно-сеточные характеристики.

Величины сеточных токов малы и в области, лежащей левее точки *Б*. Зависимость сеточных токов от напряжения источника питания здесь невелика, поэтому целесообразно выбирать рабочую точку в этой области, хотя она соответствует относительно небольшим значениям крутизны характеристики анодного тока. Из рис. 72 видно, что выбор рабочей точки в этой области позволяет поддерживать сеточный ток не более 10^{-10} а.

Одним из достоинств каскодного катодного повторителя, как уже упоминалось, является поддержание им неизменного положения рабочей точки в большом динамическом диапазоне входных отрицательных напряжений вследствие действия цепи положительной обратной связи. Положение рабочей точки каскодного катодного повторителя определяется величиной сопротивления смещения $R_{к2}$, от которого зависит величина тока, протекающего через лампу L_2 .

Таким образом, каскодный катодный повторитель обеспечивает достаточно высокую величину входного сопротивления. Однако при заданной полосе пропускания схемы любое увеличение входного сопротивления имеет смысл лишь в том случае, если есть возможность в такой же степени снизить входную емкость схемы, так как на верхних частотах ее входное полное сопротивление в значительной степени определяется входной емкостью. Так, на частоте 1 кГц вход-

ная емкость 1 пф имеет сопротивление всего $X_c = \frac{1}{2\pi f C} = 1,6 \cdot 10^8$ ом. Входная же емкость обычного катодного повторителя, зависящая от типа лампы и экранировки входных цепей, имеет значения от 8 до 30 пф. Выше было показано, что время нарастания у каскодных катодных повторителей, определяемое в первую очередь входной емкостью, примерно в 2 раза меньше, чем у обычных катодных повторителей. Это достигается уменьшением емкости $C_{с.к}$ за счет схемных особенностей каскодного катодного повторителя. Однако из уравнения (24) следует, что для дальнейшего уменьшения входной емкости катодного повторителя необходимо принять меры к уменьшению емкостей анод—сетка и сетка—земля.

Последняя емкость в катодном повторителе с высоким входным сопротивлением может быть очень большой. Дело в том, что увеличение входного сопротивления делает схему очень чувствительной к наводкам. Поэтому входные цепи такой схемы подлежат тщательному экранированию, что во много раз увеличивает паразитную емкость между сеткой и землей.

Составляющая входной емкости, обусловленная емкостью $C_{а.с.}$, может быть компенсирована введением в анодную цепь лампы L_1 напряжения сигнала в той же фазе и той же амплитуды, что и сигнал на сетке этой лампы. В этом случае любое изменение напряжения сигнала на сетке лампы L_1 сопровождается точно таким же изменением напряжения компенсирующего сигнала на аноде, так что между анодом и сеткой лампы нет разности напряжений по сигналу, а следовательно, в этом промежутке отсутствует емкостный ток сигнала. Емкость $C_{а.с.}$ при этом можно считать равной нулю.

Функцию низкоомного источника компенсирующего сигнала для анода лампы L_1 может выполнять катодный повторитель, на сетку лампы L_2 которого напряжение сигнала подается с выхода основного катодного повторителя. На рис. 73 приведена упрощенная схема, где лампа L_1 , емкость $C_{а.с.}$ которой должна быть скомпенсиро-

вана, играет роль катодной нагрузки катодного компенсирующего повторителя на лампе L_2 . Таким образом, компенсирующий повторитель работает по каскодной схеме, и коэффициент его передачи близок к единице за счет высокого динамического сопротивления лампы L_1 . С другой стороны, лампа L_1 также может работать в каскодной схеме, имея в качестве катодной нагрузки вместо сопротивления R_k лампу. Это обстоятельство обеспечивает как высокое входное сопротивление схемы, так и максимальный коэффициент передачи напряжения сигнала. Входная емкость такого двойного каскодного повторителя определяется выражением

$$C_{вх} = (1 - K_2) C_{а.с} + (1 - K_1) C_{с.к} + C_{с.з}, \quad (91)$$

где K_1 — коэффициент передачи напряжения от сетки лампы L_1 к ее аноду через катодный повторитель на лампе L_2 ; коэффициент $K_2 = K_1 K_3$, где K_3 — коэффициент передачи напряжения от сетки L_2 к ее катоду.

Таким образом, емкость $C_{а.с.}$ тем ближе к нулю, чем ближе к единице коэффициенты передачи обоих катодных повторителей (на лампе L_1 и на лампе L_2). Помимо компенсирующего действия, введение сигнала на анод лампы L_1 приводит к заметному дополнительному увеличению коэффициента передачи основного каскодного повторителя на этой лампе. Объясняется это тем, что в схеме на рис. 73 напряжение между анодом и катодом лампы L_1 практически не изменяется в процессе передачи сигнала. Значение коэффициента передачи такого повторителя определяется выражением

$$K_1 = \frac{1}{1 + \frac{1 - K_3}{\mu} + \frac{1}{SR_k}}.$$

Напомним, что для обычного катодного повторителя коэффициент передачи на основании уравнения (61) имеет следующий вид:

$$K = \frac{1}{1 + \frac{1}{\mu} + \frac{1}{SR_k}}.$$

Таким образом, для катодного повторителя с анодной компенсацией коэффициент передачи дополнительно увеличивается, так как второй член в знаменателе становится мал. При $K \approx 1$ можно считать, что коэффициент передачи компенсированного катодного повторителя вообще не зависит от μ .

Сказанное выше можно проиллюстрировать примером, взятым из книги Ю. И. Грибанова¹. Коэффициент передачи обычного ка-

¹ Ю. И. Грибанов, Измерение напряжений в высокоомных цепях, Госэнергоиздат, 1962.

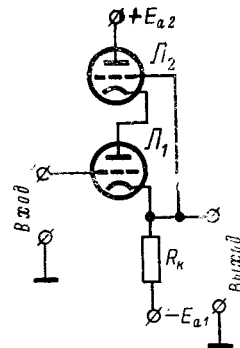


Рис. 73. Принцип анодной компенсации катодного повторителя.

тодного повторителя (лампа ЭМ-4, $S=2,2 \text{ ма/в}$, $R_i=25,5 \text{ ком}$) при $R_n=200 \text{ ком}$ составляет 0,66. При включении компенсирующего катодного повторителя с $K=0,9$ в анодную цепь лампы L_1 коэффициент передачи основного катодного повторителя увеличивается до 0,904, а если $K=0,99$, то результирующий коэффициент передачи $K_1=0,94$.

Уменьшение емкости $C_{с.з}$ и одновременная компенсация емкости экранирующего кабеля достигаются подачей на его экран напряжения сигнала с катода лампы L_1 . При этом емкость между сеткой и экраном $C_{с.э}$ оказывается включенной параллельно емкости $C_{с.к}$ и компенсируется, как и последняя, за счет того, что коэффициент передачи повторителя близок к единице. Вследствие этого разность напряжения сигнала между сеткой и катодом лампы L_1 в $\left(\frac{1}{1-K_1}\right)$ раз меньше напряжения сигнала. Во столько же раз уменьшается и емкостный ток между сеткой и катодом. В такой же степени уменьшается и соответствующая динамическая емкость.

Теперь выражение для $C_{вх}$ приобретает такой вид:

$$C_{вх} = (1 - K_1 K_3) C_{а.с} + (1 - K_1) (C_{с.к} + C_{с.э}) + C'_{с.з}. \quad (9)$$

Оставшаяся некомпенсированной емкость $C'_{с.з}$ состоит в основном из емкости между вводами сетки и нитью накала и не превышает обычно сотых долей пикофарды.

Таким образом, описанная схема дает принципиальную возможность компенсации входной емкости катодного повторителя до значений, не превышающих сотых долей пикофарды.

Анализ каскадного катодного повторителя анодной компенсацией может быть произведен методом суперпозиции, при котором каждая лампа рассматривается как независимый эквивалентный генератор, нагруженный на всю остальную часть схемы. (Метод суперпозиции применим здесь вследствие использования ламп в линейном режиме и отсутствия их взаимного влияния). Лампа вместе с соответствующими ей сопротивлениями R_a и R_k рассматривается как активный трехполюсник, характеристики которого достаточно полно могут быть определены значениями полных сопротивлений со стороны точек a , c и k (рис. 74), т. е. между рассматриваемой точкой и двумя другими, замкнутыми накоротко по переменному току.

При изменении потенциала в точке a на величину ΔU приращение тока в цепи

$$\Delta I = -SR_k \Delta I + \frac{\Delta U - \Delta I (R_a + R_k)}{R_i}.$$

Разделив обе части уравнения на ΔI , можно выделить отношение $\Delta U / \Delta I$, определяющее полное сопротивление в точке a :

$$\frac{\Delta U}{\Delta I} = R_k (1 + \mu) + R_i + R_a = Z_a.$$

Точно так же при изменении потенциала точки c (т. е. потенциала сетки лампы) получим выражение для приращения тока и уравнение соответствующего полного сопротивления:

$$\Delta I = S (\Delta U - \Delta I R_k) - \frac{\Delta I (R_a + R_k)}{R_i};$$

$$Z_c = \frac{1}{\mu} [R_a + R_i + (1 + \mu) R_k].$$

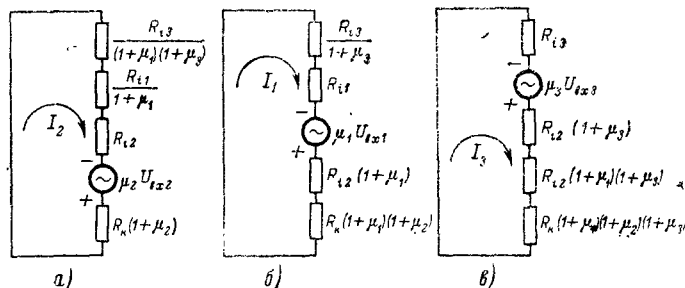


Рис. 75. Эквивалентные схемы для анализа компенсированного каскадного катодного повторителя.

a — относительно лампы L_2 ; b — относительно лампы L_1 ; c — относительно лампы L_3 .

Изменение потенциала в цепи катода лампы приводит к следующим соотношениям:

$$\Delta I = S (\Delta U - \Delta I R_a) + \frac{\Delta U - \Delta I (R_a + R_k)}{R_i};$$

$$Z_k = R_k + \frac{R_a + R_i}{1 + \mu}.$$

Применительно к последовательному включению трех ламп, как в схеме компенсированного каскадного катодного повторителя, можно сделать вывод, что все полные сопротивления, приводимые к катоду рассматриваемой лампы и лежащие выше этой точки, должны быть уменьшены в $(1 + \mu)$ раз, а сопротивления, приводимые к аноду лампы и лежащие ниже этой точки, должны быть увеличены в $(1 + \mu)$ раз.

В соответствии с этим можно составить эквивалентные схемы для каждой из ламп L_1 , L_2 и L_3 (рис. 75) и на их основании определить полный ток в схеме как сумму самостоятельно существующих токов от каждой лампы:

$$I = I_1 + I_2 + I_3 = \frac{\mu_2 (1 + \mu_1) (1 + \mu_3) U_2 + \dots}{R_{i3} + R_{i1} (1 + \mu_3) + R_{i2} \times \dots} \dots \times (1 + \mu_3) (1 + \mu_1) + R_k (1 + \mu_2) (1 + \mu_1) (1 + \mu_3) \quad (93)$$

В схеме компенсированного каскодного катодного повторителя $U_1 = U_{вх}$ и $U_3 = U_{вых}$. Если лампа Π_2 используется как нерегулируемое катодное сопротивление для стабилизации катодного тока лампы Π_1 , то выполняется условие $U_2 = 0$. Напомним, что везде U и I — переменные составляющие напряжения и тока. Условие $U_2 = 0$ означает, что на сетку лампы Π_2 напряжение сигнала не подается.

При этом уравнение (93) приводится к следующему виду:

$$I = \frac{\mu_1 (1 + \mu_3) U_{вх} + \mu_2 U_{вых}}{R_{i3} + R_{i1} (1 + \mu_3) + [R_{i1} + R_k (1 + \mu_2)] (1 + \mu_1) (1 + \mu_3)} \quad (94)$$

Из эквивалентной схемы (рис. 75, а) видно, что выходное напряжение на аноде лампы Π_2 при условии $U_2 = 0$ определяется выражением

$$U_{вых} = I [R_{i2} + R_k (1 + \mu_2)] \quad (95)$$

Подставив это значение $U_{вых}$ в уравнение (94), получим выражение для коэффициента передачи лампы Π_1 :

$$K_1 = \frac{U_{вых}}{U_{вх}} = \frac{\mu_1 (1 + \mu_3)}{1 + \mu_1 (1 + \mu_3) + \frac{R_{i3} + R_{i1} (1 + \mu_3)}{R_{i2} + R_k (1 + \mu_2)}} \quad (96)$$

Коэффициент передачи компенсирующего катодного повторителя на лампе Π_3

$$K_3 = \frac{U_{a1}}{U_{вых}},$$

где U_{a1} — напряжение сигнала на аноде лампы Π_1 ,

$$U_{a1} = -\mu U_{вх} + I \{R_{i1} + (1 + \mu_1) [R_{i2} + R_k (1 + \mu_2)]\} \quad (97)$$

Решая совместно уравнения (95) и (97), получим:

$$U_{a1} = -\mu_1 U_{вх} + \frac{U_{вых} (R_{i1} + (1 + \mu_1) [R_{i2} + R_k (1 + \mu_2)])}{R_{i2} + R_k (1 + \mu_1)}$$

Теперь может быть получено полное выражение для коэффициента передачи напряжения лампы Π_3

$$K_3 = K_1 - \mu_1 (1 - K_1) + \frac{R_{i1}}{R_{i2} + R_k (1 + \mu_2)} K_1 \quad (98)$$

На рис. 76 приведена практическая схема каскодного катодного повторителя с компенсацией входной емкости. Измеренные входная емкость и входное сопротивление для этой схемы без компенсации, т. е. без ламп Π_2 и Π_3 , равны: $C_{вх} = 43,2$ пф, $R_{вх} = 35,5$ Мом, причем

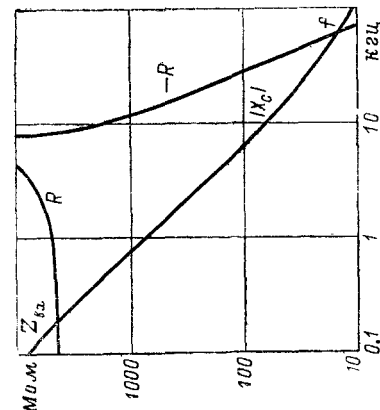


Рис. 77. Зависимость составляющих полного входного сопротивления $Z_{кв}$ компенсированного катодного повторителя от частоты f .

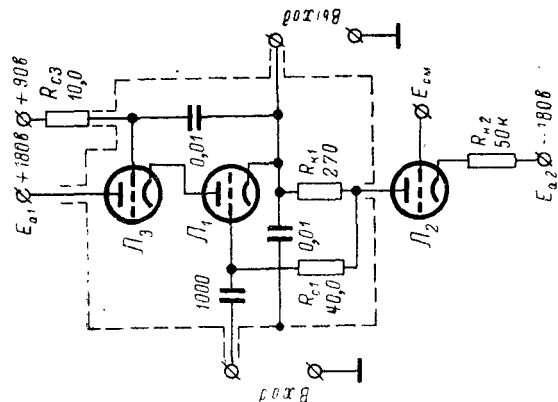


Рис. 76. Практическая схема каскодного катодного повторителя с компенсацией входной емкости.

входное сопротивление здесь определялось практически величиной сопротивления утечки R_{c1} . На входе схемы включен коаксиальный кабель длиной около 40 см.

При введении компенсации входная емкость уменьшилась до значения 0,2 пф на частоте 100 гц. При увеличении частоты сигнала значение входной емкости увеличивается и достигает 0,35 пф на частоте 50 кГц. Зависимость емкостного сопротивления X_C от частоты приведена на рис. 77. Здесь же показана зависимость активной части входного сопротивления R от частоты. На частоте около 3,2 кГц оно стремится к бесконечности, а при дальнейшем повышении частоты становится отрицательным и монотонно убывает с частотой. Причиной этого могут быть небольшие фазовые сдвиги индуктивного характера в цепи обратной связи.

В табл. 5 приведены K_1 , K_2 и соответствующие им коэффициенты компенсации $(1-K_1)$ и $(1-K_2)$, полученные путем расчета по приведенным выше формулам.

Таблица 5

K_1	K_2	$(1-K_1)$	$(1-K_2)$
0,99919	0,973	0,00081	0,027

Заметим, что обычный катодный повторитель без компенсации в этом случае имеет коэффициент передачи $K=0,974$, соответствующий ему коэффициент передачи каскодного катодного повторителя $K_1=0,99919$.

Если подставить в выражение (92) значения коэффициентов компенсации и измеренные значения $C_{вх}$ и $C_{а.с.}$, то можно рассчитать емкость $C_{с.з.}$. При $C_{а.с.}=2$ пф получаем $C_{с.з.}=0,075$ пф. Этот результат показывает, что экранирование входной цепи с компенсацией емкости $C_{с.з.}$ является весьма эффективным средством снижения паразитной емкости $C_{с.з.}$.

Подключение сопротивления утечки R_{c1} к аноду лампы L_2 приводит к компенсации входного тока через это сопротивление. Разность напряжений на этом сопротивлении равна $(1-K_1) U_{вх}$, т.е. величина входного тока, протекающего через сопротивление утечки, уменьшается в $\left(\frac{1}{1-K_1}\right)$ раз за счет действия отрицательной обратной связи. Вследствие этого входное сопротивление схемы возрастает до значения $2 \cdot 10^{10}$ ом.

Путем дальнейшего увеличения коэффициентов передачи K_1 и K_2 можно входную емкость сделать еще меньше. Принципиально входная емкость может быть сведена до нуля при значении K_2 , равном 1,2, и будет иметь отрицательные значения при большем коэффициенте передачи.

На рис. 78 приведена практическая схема, в которой дальнейшее приближение K_2 к единице достигается тем, что применяется дополнительный усилитель сигнала компенсации. Входное сопротивление схемы достигает $R_{вх}=10^{11}$ ом в диапазоне изменений сигнала $\Delta U_{вх}=\pm 100$ в. Входная емкость повторителя близка к нулю, так что полоса пропускания схемы простирается от 0 до 10 МГц.

Для того чтобы выходное напряжение повторителя (при передаче сигнала постоянного тока) было точно равно входному, в схеме производится компенсация напряжения смещения $U_{см}$ лампы L_1 введением дополнительного сопротивления R_3 . Если величина этого сопротивления выбрана такой, что падение напряжения на нем за счет анодного тока лампы L_1 равно $-U_{см}$, то потенциал анода лампы L_2 (выходной потенциал) равен потенциалу сетки лампы L_1 .

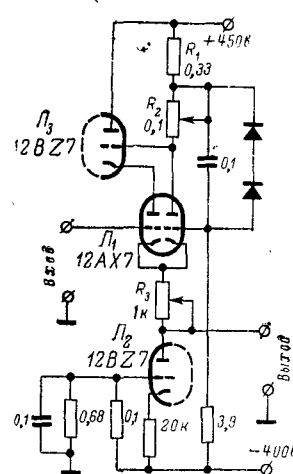


Рис. 78. Схема повторителя с дополнительной компенсацией.

Падение напряжения на лампе L_3 практически не зависит от величины входного сигнала, так как ток через лампу L_2 и сопротивление R_3 изменяется в динамическом диапазоне сигнала чрезвычайно

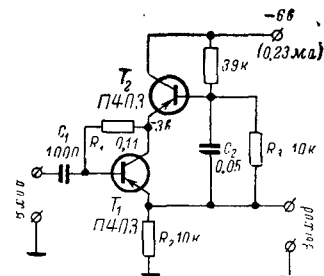


Рис. 79. Схема эмиттерного повторителя с коллекторной компенсацией потерь на входе.

мало (из-за высокого динамического сопротивления лампы L_2). Вследствие того, что коэффициент передачи напряжения от сетки к катоду лампы L_1 весьма близок к единице, практически не изменяется также в пределах динамического диапазона и положение рабочей точки этой лампы. Таким образом, описанная компенсация действует в полном динамическом диапазоне сигнала.

Введение лампы L_1 несколько снижает коэффициент передачи от сетки лампы L_1 к выходному зажиму, однако этот эффект незначителен, так как величина R_3 во много раз меньше динамического сопротивления лампы L_2 . Если катодный повторитель применяется для передачи сигналов переменного тока или начальный потенциал выходного зажима не имеет значения, то сопротивление R_3 из схемы можно исключить.

Анодная компенсация лампы L_1 осуществляется через лампу L_3 , сигнал на которую подается через усилитель с общей сеткой, собранный на правом (по схеме) триоде лампы L_1 . Компенсирующий сигнал с выхода катодного повторителя подается на катод этого триода.

На рис. 79 приведена схема компенсированного эмиттерного повторителя напряжения, выполненного на транзисторах. Положен

где

$$(\mu'_1)_n = \mu_1 \left[\prod_{j=3}^{n+2} (1 + \mu_j) \right]; \quad (99)$$

$$(R'_{i1})_n = \sum_{k=3}^{n+2} \left\{ R_{i(k-1)} \left[\prod_{j=k}^{n+2} (1 + \mu_j) \right] \right\} + R_{i(n+2)}; \quad (100)$$

$$(R'_a)_n = R_a \left[\prod_{j=n+3}^{2n+2} (1 + \mu_j) \right] + \sum_{l=n+4}^{2n+2} \left\{ R_{l(k-1)} \left[\prod_{j=k}^{2n+2} (1 + \mu_j) \right] \right\} R_{l(2n+2)}. \quad (101)$$

При этих условиях рассматриваемый сложный катодный повторитель может быть изображен схемой обычного каскодного повторителя, сопротивление обратной связи которого имеет величину $(R'_a)_n$, а внутреннее сопротивление и коэффициент усиления основной лампы определяются значениями $(R'_{i1})_n$ и $(\mu'_1)_n$. Так как последние перечисленные параметры значительно превышают по величине аналогичные параметры исходного каскодного катодного повторителя, то очевидно, что результирующий коэффициент передачи и выходное сопротивление значительно лучше, чем в исходной схеме.

Коэффициент передачи от сетки к аноду лампы L_1 может быть определен следующим выражением:

$$(K_3)_n = \frac{1}{1 + \frac{(1 + \mu_1) S' - R'_{i1} (\mu'_1)_n}{(\mu'_1)_n [\mu_2 (R'_a)_n + R_{i2} + R_{i1}] - \mu_1 S'}}},$$

$$S' = (\mu_2 + 1) (R'_a)_n + (R'_{i1})_n + R_{i2}.$$

Для упрощения примем, что в схеме применены идентичные лампы, т. е. все лампы имеют одинаковые величины μ и R_i . При условии, что $\mu \gg 1$, выражения (99), (100) и (101) принимают следующий вид:

$$(\mu'_1)_n \approx \mu (\mu^n);$$

$$(R'_{i1})_n \approx R_i (\mu^n);$$

$$(R'_a)_n \approx R_a (\mu^n) + R_i (\mu^{n-1}).$$

Подставив эти значения в выражения для коэффициента передачи K_1 каскодного катодного повторителя, его выходного напряжения и коэффициента передачи от сетки к аноду, получим:

$$(K_1)_n \approx \frac{1}{1 + \frac{1}{\mu^{n+1}} \left[1 + \frac{R_a + R_i}{\mu R_a + R_i} \right]}; \quad (102)$$

$$(R_{\text{вых}})_n \approx \frac{R_i (R_a + R_i)}{\mu^{n+1} (\mu R_a + R_i)}; \quad (103)$$

$$(K_3)_n \approx \frac{1}{1 + \frac{\mu^2 R_a + R_i}{\mu^{n+1} (\mu R_a + R_i)}}. \quad (104)$$

Из последних выражений вытекает, что напряжения на аноде и катоде основной лампы каскодного катодного повторителя n -го порядка следуют за напряжением на ее сетке с точностью до $1/\mu^n$, а выходное сопротивление такой схемы в μ^n раз меньше, чем у обычного каскодного катодного повторителя, и в μ^{n+1} раз меньше, чем у простого катодного повторителя.

Из уравнения (103) видно, что выходное сопротивление каскодного катодного повторителя может быть получено сколь угодно малым путем выбора соответствующего количества $2n$ компенсирующих ламп. Однако в реальных схемах всегда имеется отрицательный сеточный ток входной лампы, что приводит к наличию некоторого нижнего предела, до которого возможно уменьшение $R_{\text{вых}}$. Этот нижний предел зависит от величины внутреннего сопротивления источника сигнала.

В качестве примера рассмотрим каскодный катодный повторитель с $n=2$, т. е. схему, состоящую из шести ламп. Если применить лампы с высокой крутизной (например, типа 6Н2П), то при напряжении анод — катод каждой лампы 100 в будет иметь: $I_a = 0,3$ ма, $\mu \approx 100$ и $R_i = 10^5$ ом. Предположим, что $R_a = 10^5$ ом. Тогда из уравнений (102), (103) и (104), находим:

$$(K_1)_{n=2} = 1 - 10^{-6};$$

$$(R_{\text{вых}})_{n=2} = 2 \cdot 10^{-3} \text{ ом};$$

$$(K_3)_{n=2} = 1 - 10^{-4}.$$

При испытании такой схемы на нее подавались сигналы частотой 60 и 85 гц с амплитудой 2 в и измерялась амплитуда разностной частоты 25 гц. Последняя имела значение $4 \cdot 10^{-7}$ в, что соответствует коэффициенту перекрестной модуляции $2 \cdot 10^{-5} \%$. Для сравнения можно указать, что перекрестные искажения простого каскодного повторителя составляют $5 \cdot 10^{-2} \%$.

Измеренное значение выходного сопротивления при внутреннем сопротивлении источника сигнала 1 ком на частоте 25 гц составляло 0,5 ом. Значительное расхождение с расчетным значением объясняется, по-видимому, сеточными токами лампы L_1 .

Помимо всех перечисленных преимуществ, такая схема обладает очень низкими собственными шумами, малым погребением тока, высоким входным сопротивлением. Серьезным недостатком схемы является значительное время восстановления после больших перегрузок.

27. КАТОДНЫЙ ПОВТОРИТЕЛЬ С КОЭФФИЦИЕНТОМ ПЕРЕДАЧИ НАПРЯЖЕНИЯ, РАВНЫМ ЕДИНИЦЕ

Часто основным требованием, предъявляемым к согласующему каскаду, является очень высокая точность воспроизведения подаваемого на него сигнала. Если это не сопровождается требованием очень большого входного сопротивления каскада, то может быть использована разновидность каскодного катодного повторителя, в котором коэффициент передачи поддерживается равным единице.

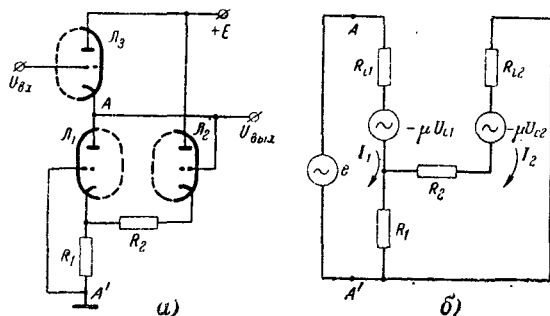


Рис. 81. Катодный повторитель с коэффициентом передачи напряжения, равным единице.

а — принципиальная схема; б — эквивалентная схема.

В изображенной на рис. 81, а схеме катодного повторителя каскодного типа компенсация потерь в катодной цепи, создаваемых конечной величиной катодного сопротивления и сопротивления входной цепи последующего каскада, достигается введением положительной обратной связи через лампу L_2 . Напряжение сигнала с выхода каскодного катодного повторителя, выполненного на лампах L_1 и L_3 , подается на буферный каскад на лампе L_2 . Коэффициент передачи напряжения в замыкаемой им петле обратной связи выбирается регулировкой величины сопротивления R_2 , составляющего с постоянным сопротивлением R_1 делитель сигнала обратной связи.

Для определения условий, при которых сопротивление в катодной цепи лампы L_3 (между точками А и А') принимает бесконечное значение, рассмотрим эквивалентную схему устройства (рис. 81, б). Лампа L_3 здесь заменена генератором напряжения e . Полное сопротивление R'_k , являющееся катодной нагрузкой лампы L_3 (между точками А—А' эквивалентной схемы), находится путем решения системы уравнений для токов I_1 и I_2 :

$$\begin{aligned} U_{c1} &= -(I_1 - I_2) R_1; \\ U_{c2} &= e - R_1 (I_1 - I_2) + I_2 R_2; \\ e + \mu_1 U_{c1} - I_1 (R_{i1} + R_1) &= -I_2 R_1; \\ -\mu_2 U_{c2} - I_2 (R_{i2} + R_2 + R_1) &= -I_1 R_1. \end{aligned}$$

Опустив промежуточные выкладки, получим выражение для полного сопротивления:

$$R'_k = \frac{e}{I_1} = R_{i1} + (\mu + 1) R_1 \times \left\{ \frac{1 + R_{i1} \mu_2 / [R_{i2} + R_2 (\mu_2 + 1)]}{1 - R_1 (\mu_1 \mu_2 - 1) / [R_{i2} + R_2 (\mu_2 + 1)]} \right\}. \quad (105)$$

Применяемые в таких схемах триоды обычно имеют достаточно высокое значение μ , так что выполняется условие $\mu_1 \gg 1$ и $\mu_2 \gg 1$. Тогда уравнение (105) можно упростить:

$$R'_k \approx R_{i1} + \frac{\mu_1 R_1 [1 + S_2 (R_2 + R_1)]}{1 + S_2 (R_2 - \mu_1 R_1)}. \quad (106)$$

Из последнего выражения вытекает, что R'_k стремится к бесконечности при условии

$$1 + S_2 (R_2 - \mu_1 R_1) \rightarrow 0, \quad (107)$$

из которого можно найти значение критической величины сопротивления R_2 :

$$R_2 = \mu_1 R_1 - \frac{1}{S_2} = R_{2кр}.$$

При выборе $R_2 > R_{2кр}$ полное катодное сопротивление R'_k принимает положительные, а при $R_2 < R_{2кр}$ отрицательные значения. Последнее объясняется тем, что при уменьшении R_2 положительная обратная связь, вводимая в катодную цепь лампы L_3 через лампу L_2 и сопротивление R_1 , полностью компенсирует потери в этой цепи.

Коэффициент передачи рассматриваемого катодного повторителя

$$K = \frac{\mu_3 R'_k}{R_{i3} + (\mu_3 + 1) R'_k}$$

может быть сделан равным единице при условии

$$-R'_k = R_{i3}. \quad (108)$$

Последнее условие можно выполнить соответствующим выбором величины сопротивления R_2 . Из уравнения (105) можно получить приближенное выражение для этого сопротивления, если принять $\mu_1 \gg 1$ и $\mu_2 \gg 1$:

$$R_2 \approx \frac{R_{i1} (\mu_1 R'_k + R_{i1})}{R'_k - R_{i1} - \mu_1 R_1} - \frac{1}{S_2}. \quad (109)$$

Подставив в последнее выражение значение R'_k из условия (108), можно определить необходимую величину сопротивления R_2 .

В практических случаях сопротивление R_1 в катодной цепи лампы L_1 выбирается по возможности большим. Для поддержания рабочей точки лампы L_1 дополнительное положительное напряжение, создаваемое на сопротивлении R_1 током лампы L_2 компенсируется

подключением сетки лампы \mathcal{L}_1 к источнику положительного смещения. Сопротивление R_2 берется таким, чтобы его величина удовлетворяла условию получения необходимого полного сопротивления R_K по уравнению (109). Для компенсации емкости в катодной цепи лампы \mathcal{L}_1 параллельно сопротивлению R_2 обычно включается конденсатор небольшой емкости.

На рис. 82,а приведена схема каскодного эмиттерного повторителя, работающего по такому же принципу. Основным преимуществом этой схемы применительно к транзисторам является ее повы-

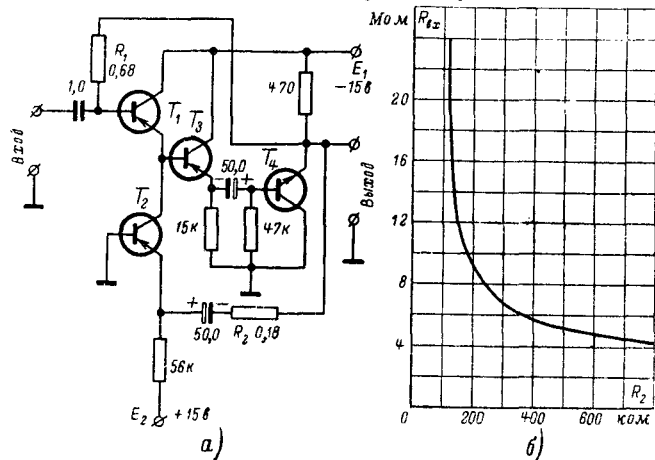


Рис. 82. Каскодный эмиттерный повторитель с большим входным сопротивлением.

а — принципиальная схема; б — зависимость входного сопротивления $R_{вх}$ от сопротивления R_2 .

шенное входное сопротивление, величину которого можно вычислить по формуле

$$R_{вх} = r_6 + \frac{r_d r_k \left(1 - \frac{\alpha K r_9}{R_2}\right)}{\frac{r_k}{1 + \beta} \left(1 - \frac{\alpha K r_d}{R_2}\right) + r_d}.$$

где K — коэффициент передачи напряжения от эмиттера транзистора T_1 к выходному зажиму (K всегда меньше 1); α — коэффициент усиления транзистора T_2 по току в схеме с общей базой; β — коэффициент усиления транзистора T_1 по току в схеме с общим эмиттером; $r_э, r_k, r_6$ — сопротивления эмиттера, коллектора и базы транзистора T_1 ; r_d — динамическое сопротивление коллектора транзистора T_2 .

В большинстве практических случаев можно принять $K \approx 1$ и $\alpha \approx 1$, так что член $\frac{\alpha K r_9}{R_2} \ll 1$. Если при этом $\beta \gg 1$ и r_6 мало, то можно использовать упрощенное выражение

$$R_{вх} \approx \frac{r_k}{1 + \frac{r_k}{\beta} \left(\frac{1}{r_d} - \frac{\alpha K}{R_2}\right)}. \quad (110)$$

Необходимая величина входного сопротивления схемы достигается регулировкой сопротивления R_2 , т. е. изменением величины положительной обратной связи, компенсирующей потери в схеме. Кривая зависимости входного сопротивления эмиттерного повторителя от сопротивления R_2 приведена на рис. 82,б.

Из уравнения (110) видно, что входное сопротивление стремится к бесконечности при условии

$$\frac{r_k}{\beta} \left(\frac{1}{r_d} - \frac{\alpha K}{R_2}\right) = -1.$$

Отсюда можно получить значение критической величины сопротивления R_2 :

$$R_2 = \frac{r_d r_k K \alpha}{\beta r_d + r_k} = R_{2кр}. \quad (111)$$

В качестве примера приведем порядок величин, составляющих в формуле (110) для рассматриваемой схемы: $r_k = 9 \text{ Мом}$, $\beta = 40$, $K = 0,97$, $r_d = 300 \text{ ком}$, $R_1 = 680 \text{ ком}$, $\alpha = 0,975$. Выбрав $R_2 = 180 \text{ ком}$, получим из выражения (110) величину $R_{вх} = 16 \text{ Мом}$.

Сопротивление R_1 , через которое осуществляется смещение транзистора T_1 , шунтирует входное сопротивление эмиттерного повторителя. Уменьшение шунтирующего действия R_1 достигается подключением его к эмиттеру выходного транзистора T_4 , напряжение сигнала на котором близко к напряжению входного сигнала (коэффициент передачи напряжения в схеме $K = 0,97$). В результате действующая величина сопротивления смещения, шунтирующая входное сопротивление, $R'_1 = \frac{R_1}{1 - K} = 22,6 \text{ Мом}$.

Таким образом, полное входное сопротивление схемы равно $9,4 \text{ Мом}$. Из выражения (111) определяется критическая величина $R_2 = 120 \text{ ком}$.

Схема при полосе пропускания от 10 гц до 100 кгц и выходном сопротивлении около 30 ом развивает напряжение сигнала до 1 в на нагрузке 1 ком .

ЛИТЕРАТУРА

Ризкин А. А. Основы теории усилительных схем, изд-во «Советское радио», Москва, 1958.

Герасимов С. М., Мигулин И. Н., Яковлев В. Н., Расчет полупроводниковых усилителей и генераторов. Гостехиздат СССР, 1961.

Будинский Я., Усилители низкой частоты на транзисторах, Связьиздат, Москва, 1963.

Теория и расчет основных радиотехнических схем на транзисторах, Связьиздат, 1963.

Перкинс Д., Транзисторные каскодные схемы в усилителях с АРУ, «Электроника», 1961, № 22.

Крюков Ю. Г., Симонов Ю. Л., Анализ каскодного резонансного усилителя типа общий эмиттер — общая база на транзисторах, «Электросвязь», 1962, № 1.

Гумеля Е., Каскодные схемы на ПП, «Радио», 1959, № 10.

Волин М. Л., Задний срез импульса в катодном повторителе с емкостной нагрузкой, «Радиотехника», 1956, № 3.

Свечников С. В., Петренко А. И., Сложные катодные повторители, Известия вузов, Радиотехника, 1959, № 1.

Грибанов Ю. И., Измерение напряжения в высокоомных цепях, Госэнергоиздат, 1961.